

### XXV Congreso de la SEAP y División Española de la Academia Internacional de Patología Zaragoza, mayo 2011

### Lesiones de Partes Blandas Superficiales

# Tumores fibroblásticos y miofibroblásticos

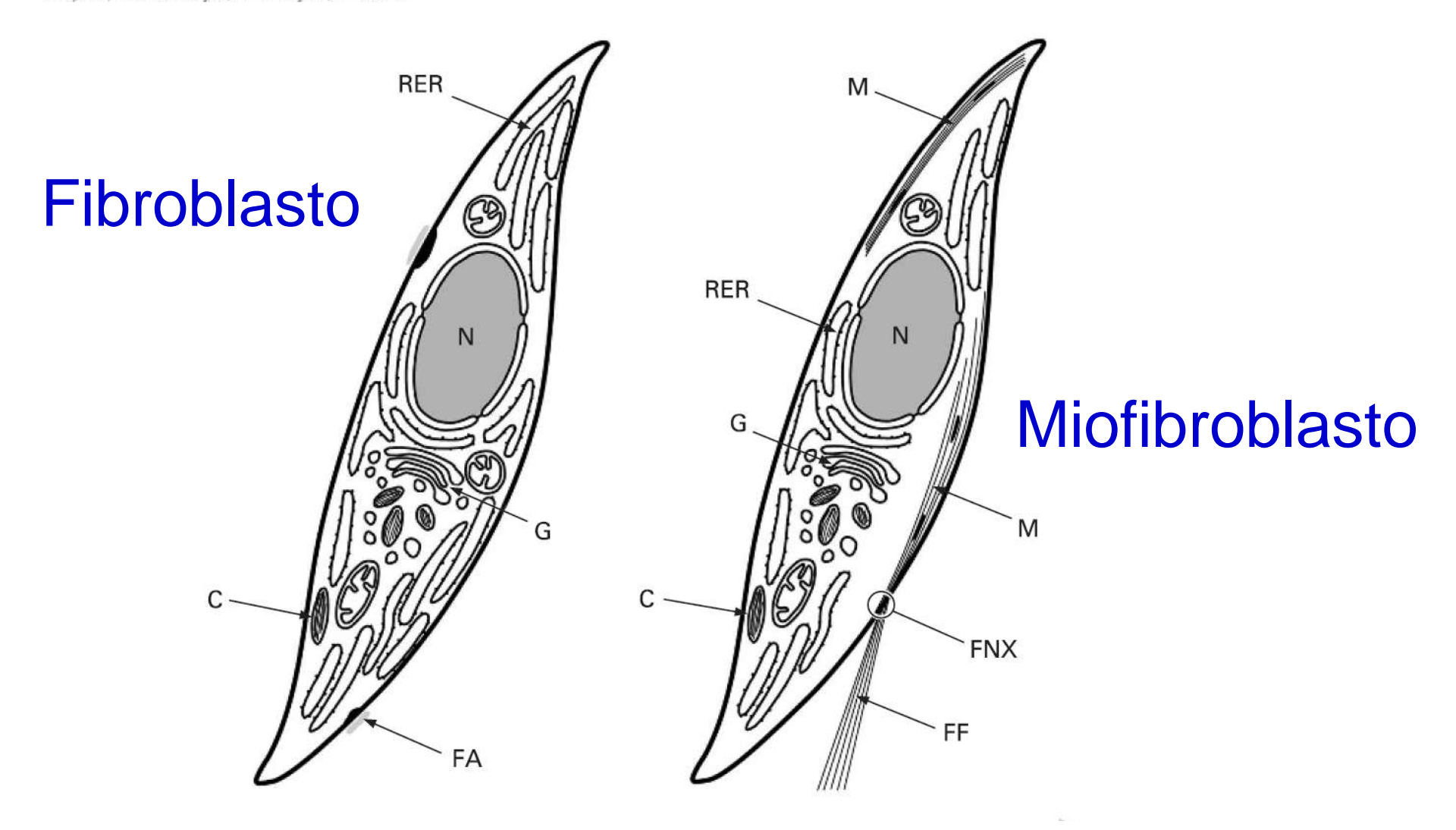
**Carlos Monteagudo** 

Hospital Clínico Universitario, Universidad de Valencia

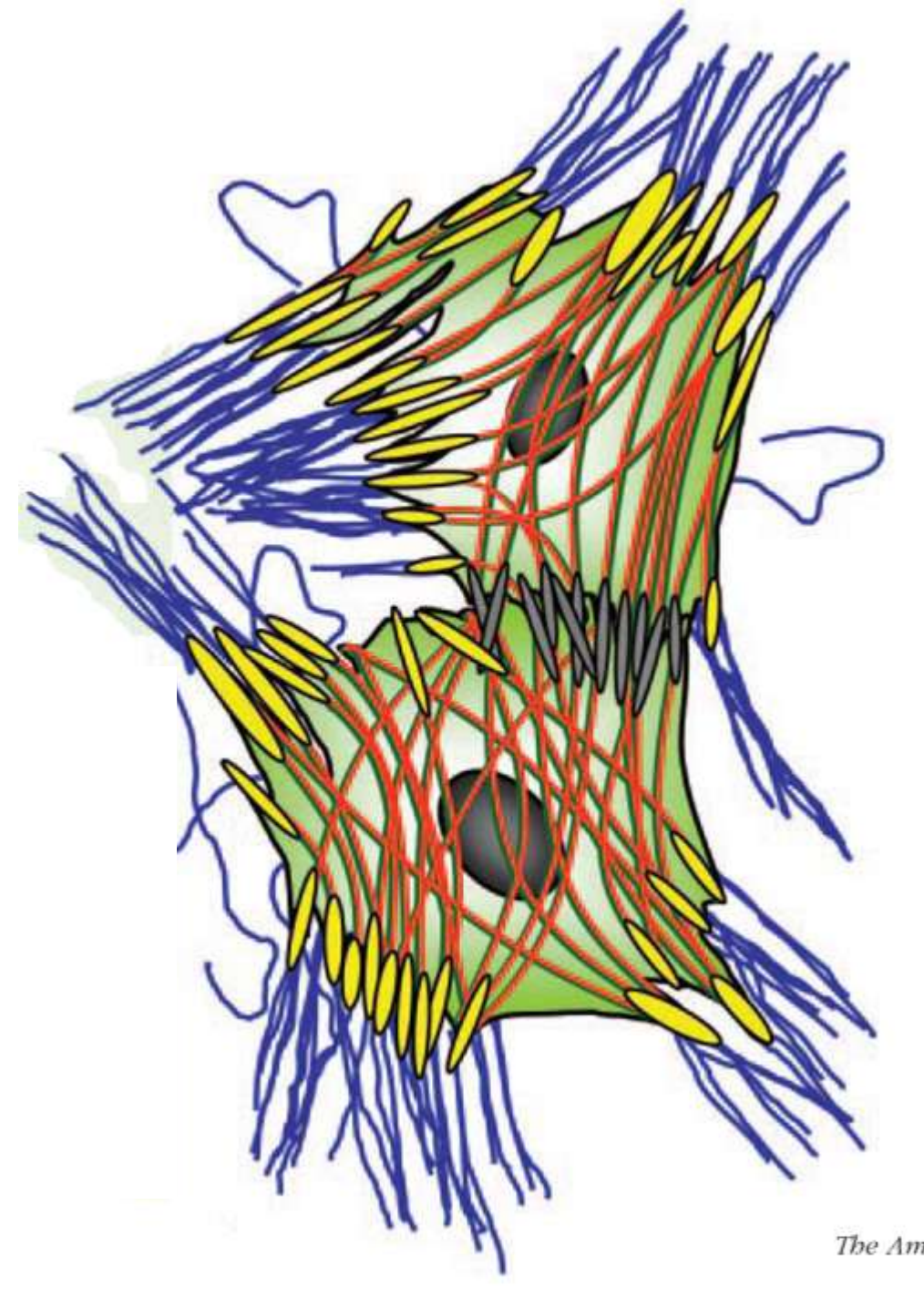
- Los miofibroblastos se reconocieron originalmente mediante microscopía electrónica
- Comparten con los fibroblastos
  - RER prominente
  - Golgi con gránulos de secreción de colágeno
  - Ausencia de membrana basal\*
- Pero se distinguen de ellos por:
  - Miofilamentos periféricos
  - Fibronexus (con fibronectina; no con m. basal)
  - Uniones intercelulares tipo gap

#### The myofibroblast and its tumours

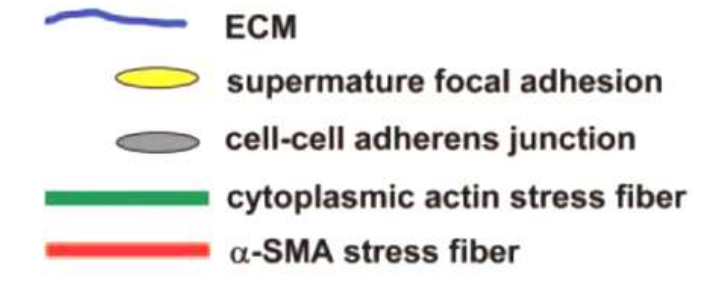
B Eyden,1 S S Banerjee,1 P Shenjere,1 C Fisher2



- Además, los miofibroblastos se distinguen de los fibroblastos por:
  - -la expresión de fibras de estrés de AML-α
  - la expresión del extradominio-A (ED-A) de la fibronectina (que requiere la presencia de TGF-β y de tensión mecánica)
  - la síntesis aumentada de varias proteínas de matriz extracelular y factores de crecimiento



### Miofibroblastos



The American Journal of Pathology, Vol. 170, No. 6, June 2007

- Los miofibroblastos producen la contracción a consecuencia de:
  - contactos intercelulares
  - conexiones entre los microfilamentos contráctiles y la matriz extracelular (fibronexus)
  - las fuerzas de tracción

<u>La característica esencial de los</u>
 <u>miofibroblastos es el establecimiento de</u>
 <u>una red de fibras de estrés rica en AML-α</u>

Pero los miofibroblastos no solo se generan a partir de fibroblastos...

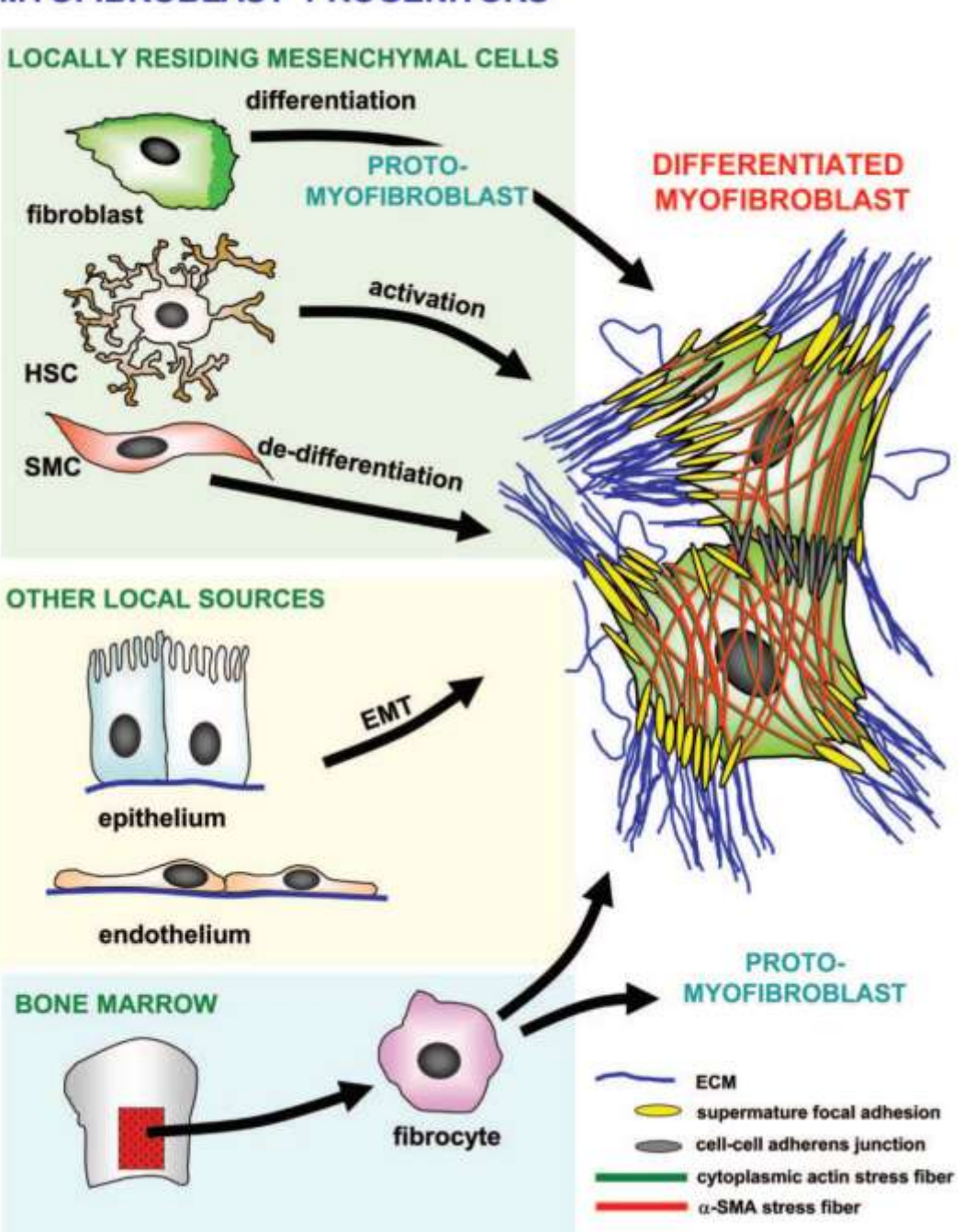
### The Myofibroblast

One Function, Multiple Origins

Boris Hinz,\* Sem H. Phan,<sup>†</sup> Victor J. Thannickal,<sup>‡</sup> Andrea Galli,<sup>§</sup> Marie-Luce Bochaton-Piallat,<sup>¶</sup> and Giulio Gabbiani<sup>¶</sup>



#### MYOFIBROBLAST PROGENITORS



La diferenciación miofibroblástica en los tumores NO siempre cumple los requisitos aceptados para los miofibroblastos ¿normales?, como la presencia de fibronexus

Además, con frecuencia, la población tumoral no es únicamente miofibroblástica

# **Table 3** Benign tumours and tumour-like lesions reported as showing myofibroblastic differentiation

#### (A) Prominent myofibroblastic differentiation

- Nodular fasciitis and related lesions (intravascular and cranial fasciitis)
- Proliferative fasciitis and myositis
- Myofibroma/myofibromatosis
- Fibromatosis
- Proliferative funiculitis
- Inflammatory pseudotumours
- Postoperative spindle cell nodule
- Myositis ossificans
- Fibroma of tendon sheath
- Dermatomyofibroma

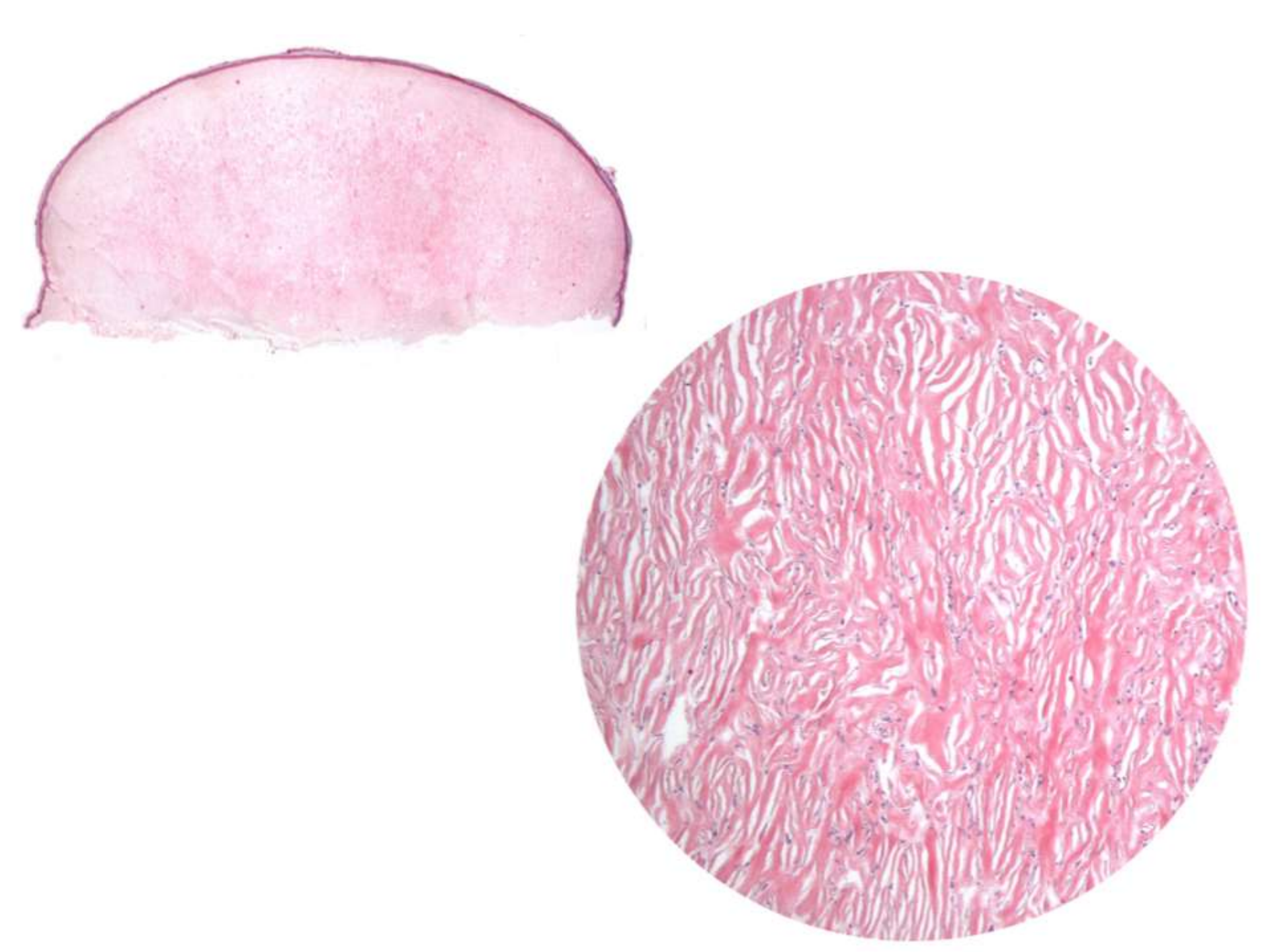
#### (B) Modest (incomplete) myofibroblastic differentiation

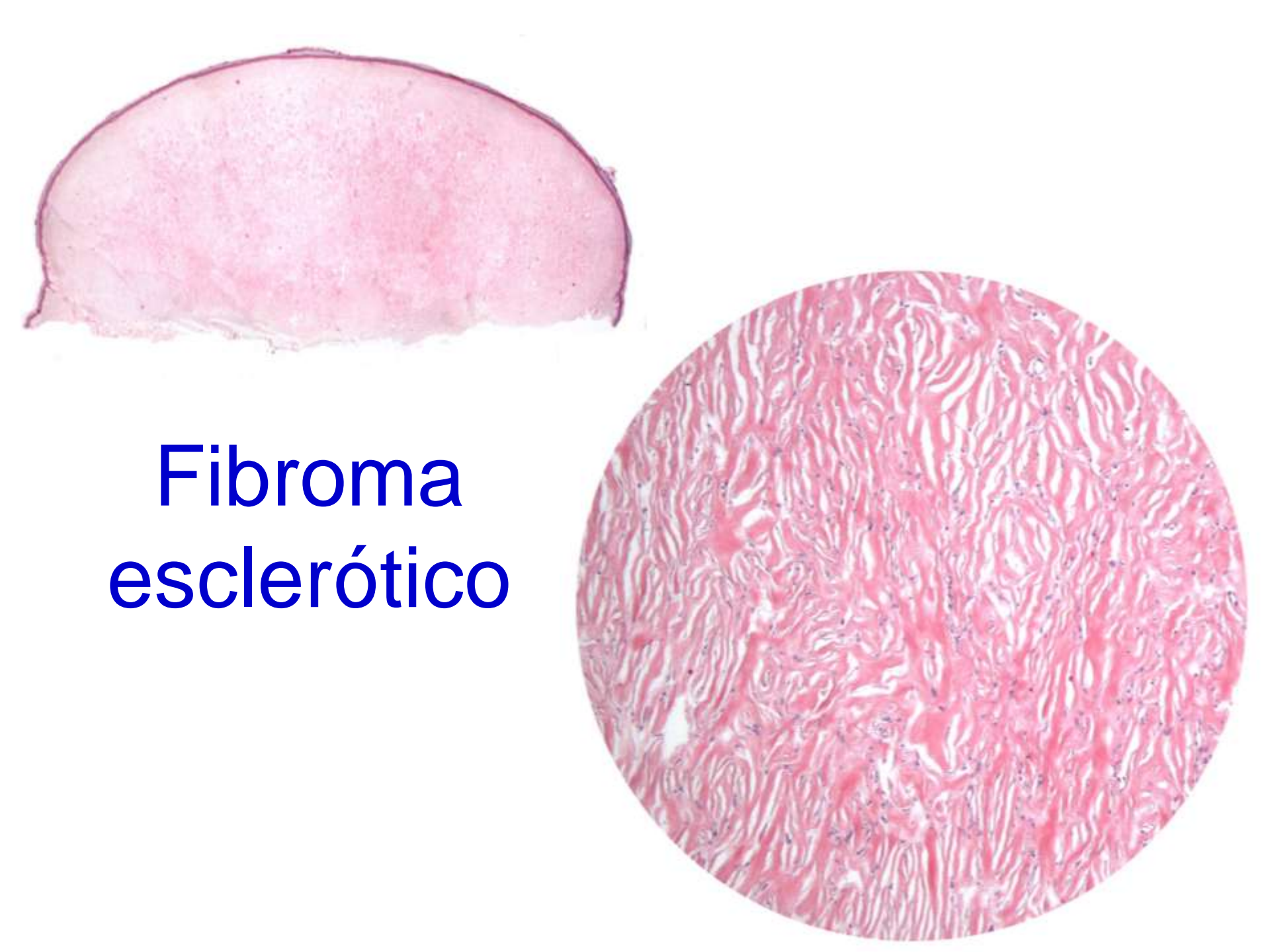
- Benign fibrous histiocytoma
- Desmoplastic fibroblastoma
- Fibrous hamartoma of infancy
- Nasopharyngeal angiofibroma
- Calcifying aponeurotic fibroma
- Calcifying fibrous tumour
- Aggressive angiomyxoma
- Ischaemic fasciitis
- Elastofibroma

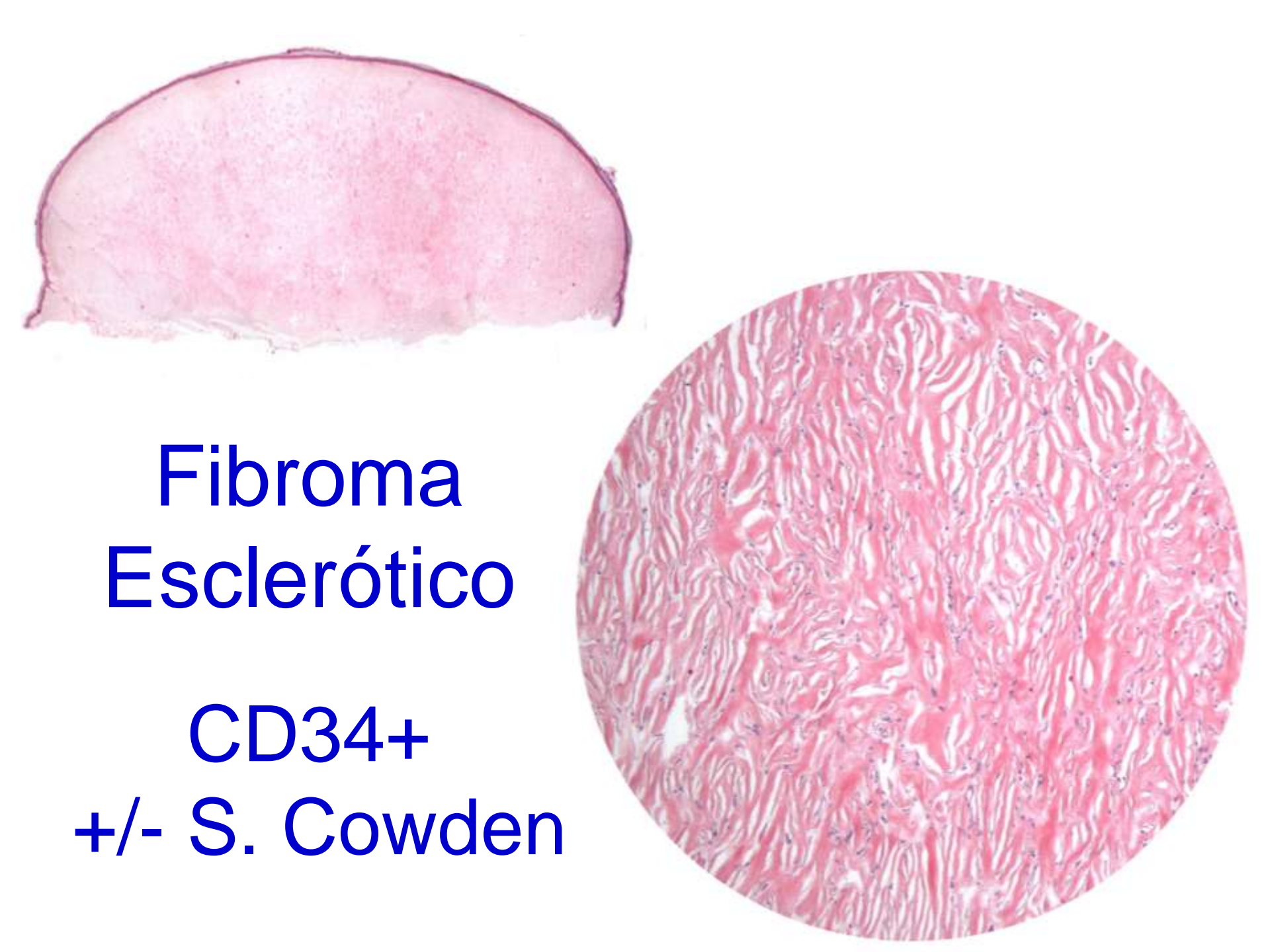
# Lesiones llamadas "fibrohistiocíticas" no son objeto de esta presentación

- Dermatofibroma
- Tumor fibrohistiocítico plexiforme
- Fibroxantoma atípico
- Dermatofibrosarcoma protuberans\*
- Sarcoma pleomórfico
- Mixofibrosarcoma\*









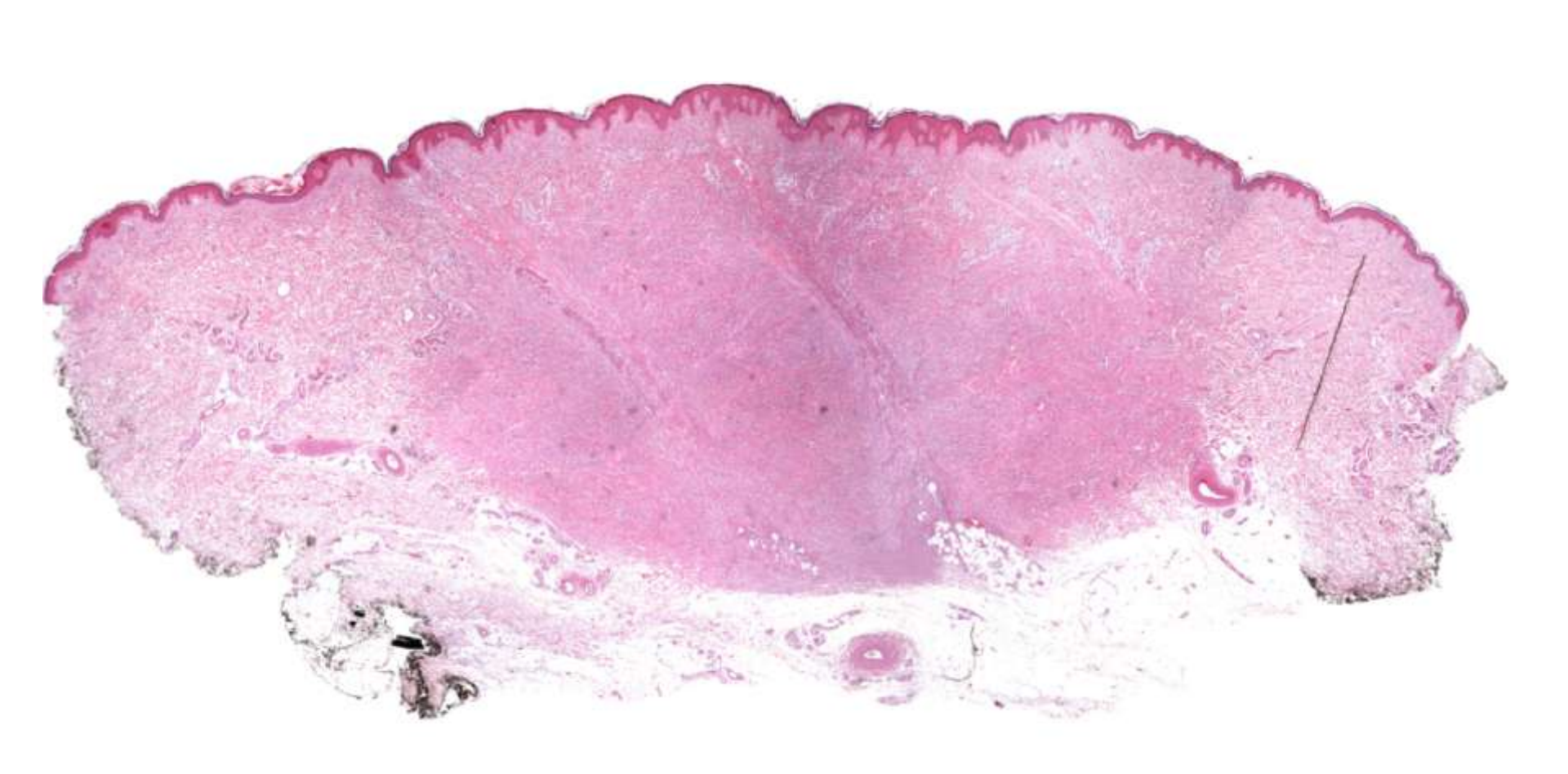
# Am J Surg Pathol 22;1998:557-563 Giant Cell Collagenoma: A Benign Dermal Tumor With Distinctive Multinucleate Cells. (CD34-)

Rudolph, P.; Schubert, C; Harms, D.; Parwaresch, R

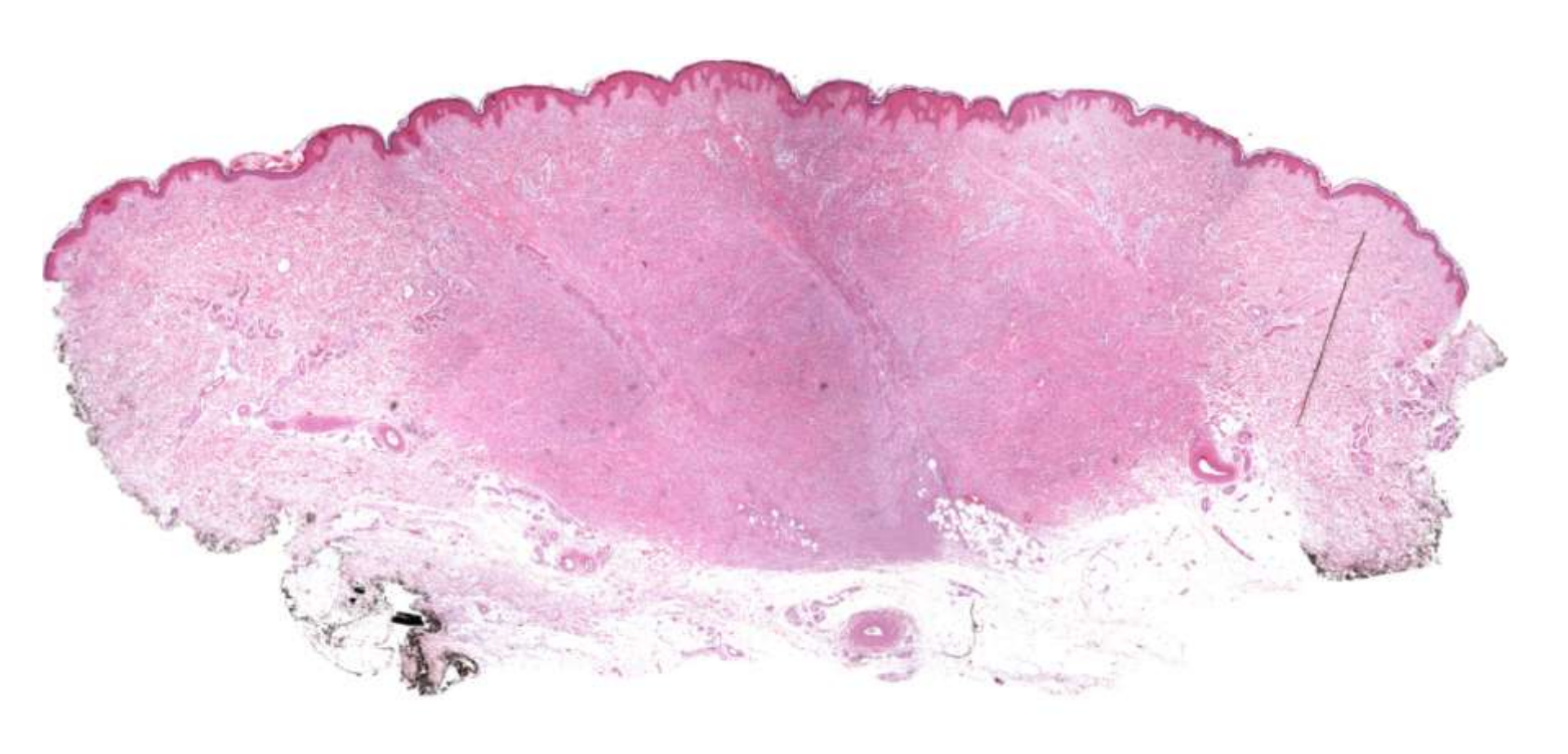
The American Journal of Dermatopathology 18(6): 620-624, 1996

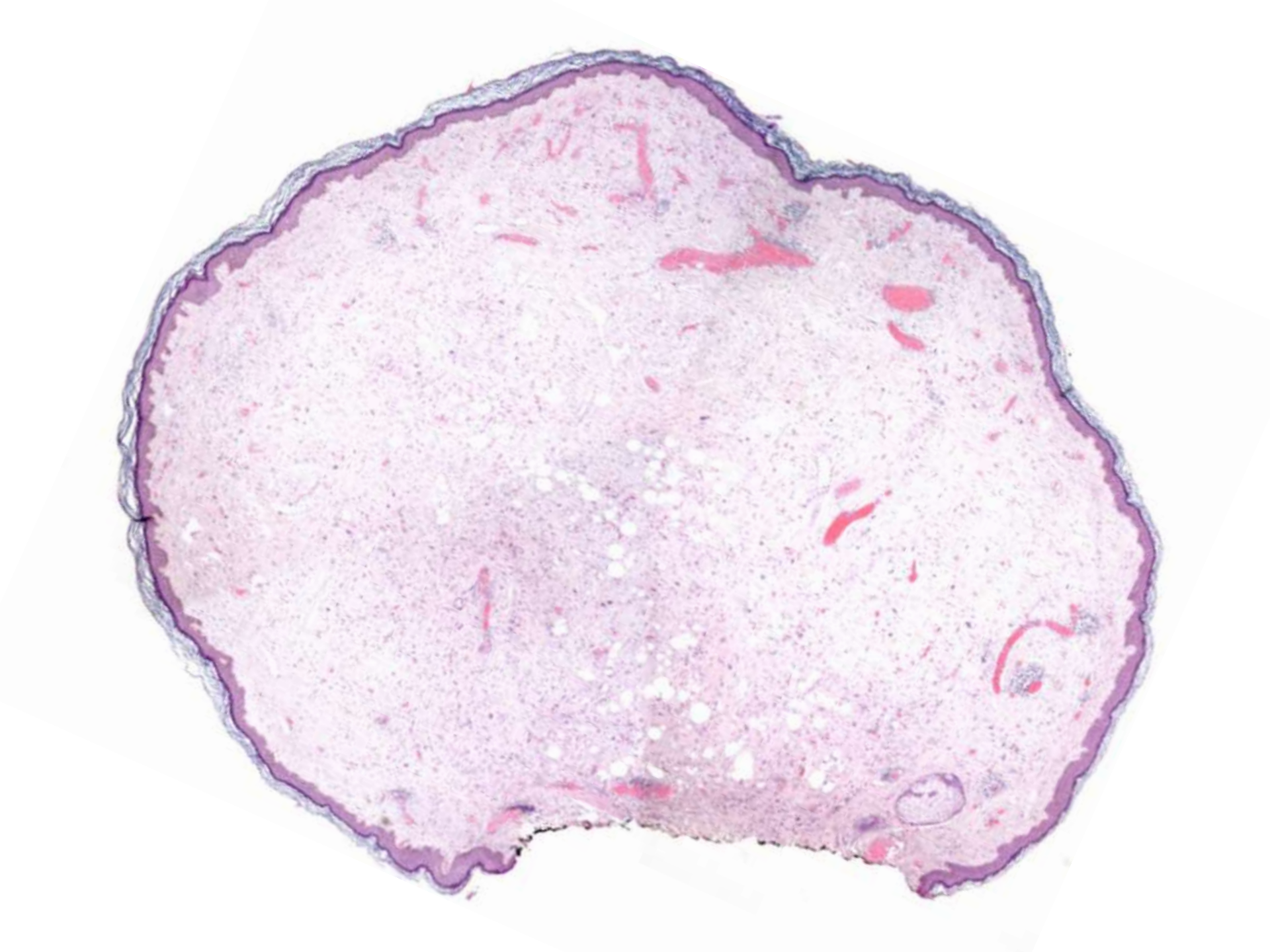
# Solitary Sclerotic Fibroma of the Skin: A Sclerotic Dermatofibroma?

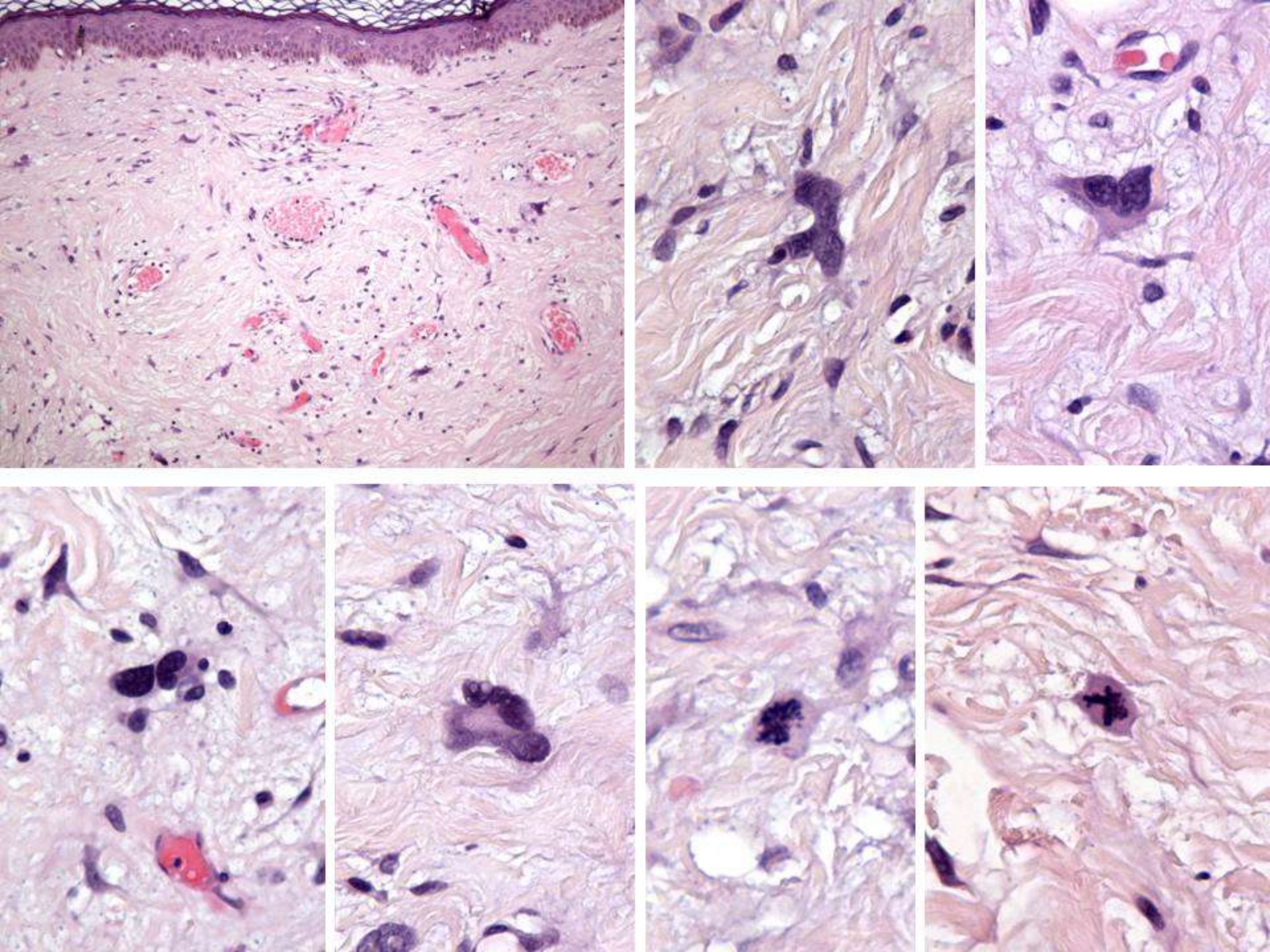
Ramon M. Pujol, M.D., Fernando de Castro, M.D., Arnold L. Schroeter, M.D., and W.P. Daniel Su, M.D.

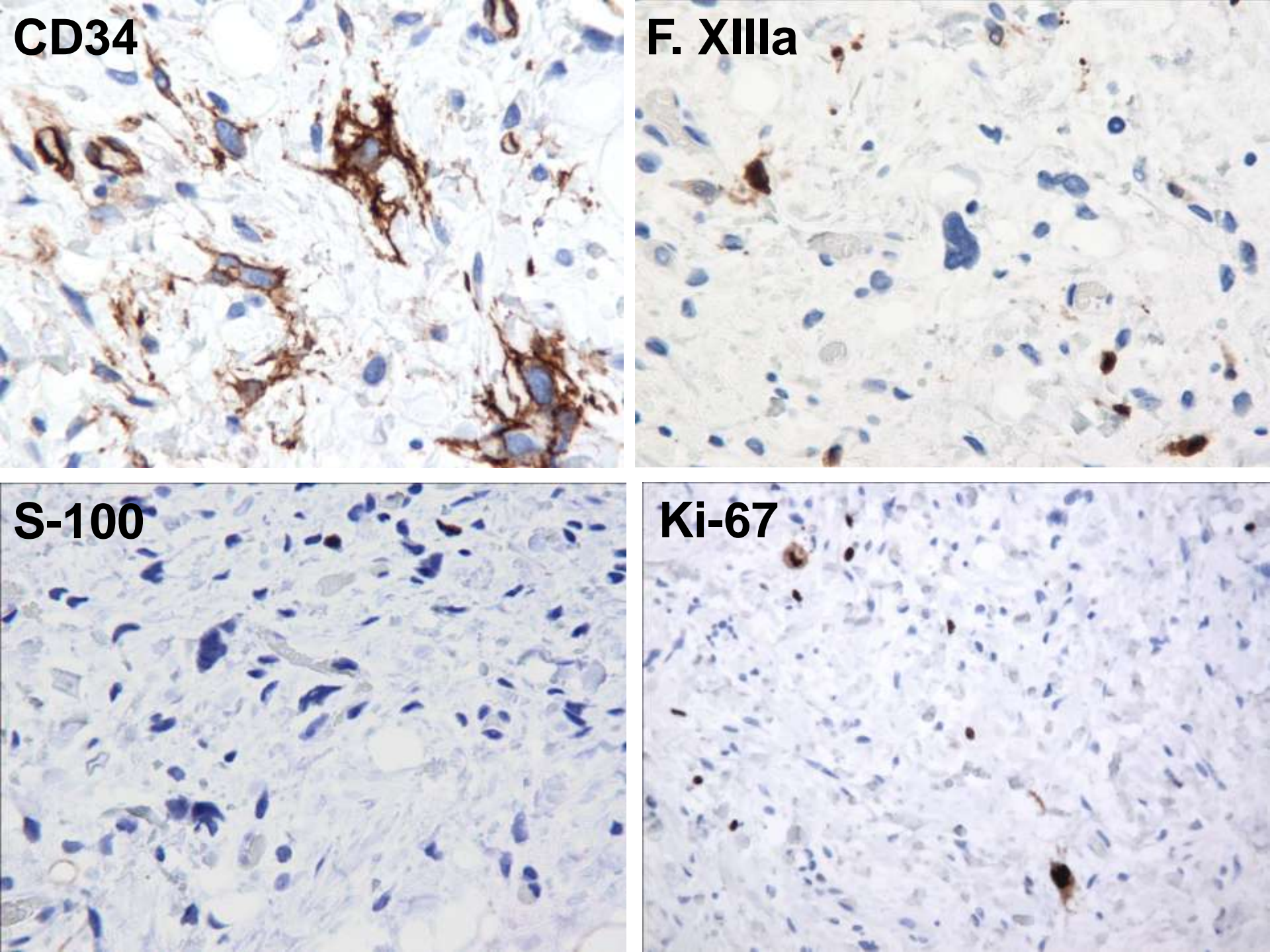


## Dermatofibroma esclerótico









## Fibroma pleomórfico

- Polipoide o hemisférico, no ulcerado, color piel, de 5 a 15 mm, en extremidades, y menos en tronco y cara
- Adultos: edad media 50 años
- Células fusiformes o irregulares dispersas entre abundantes fibras colágenas
- Núcleos pleomórficos, hipercrómicos, con nucleolo pequeño, y citoplasma escaso y de límites mal definidos. Algunos núcleos lobulados o múltiples
- Escasas mitosis típicas. En 2 casos de la serie original, una mitosis atípica

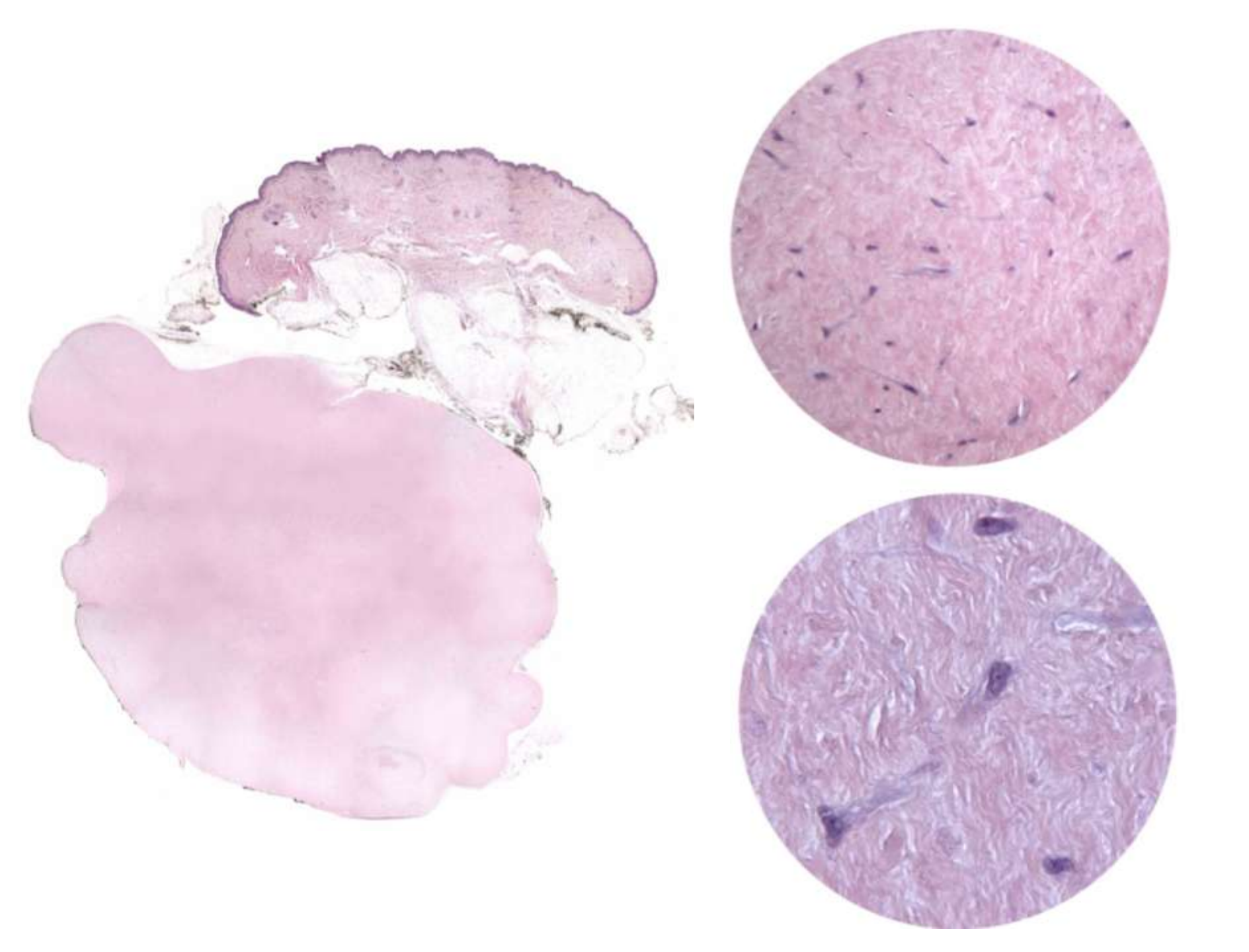
## Fibroma pleomórfico

- Ocasionalmente patrón mixoide, localización subungueal, o características de fibroma esclerótico
- 1/2 casos: escaso componente linfocitario
- Las células pleomórficas son positivas para vimentina, siempre negativas para S-100 y citoqueratinas, y muy variable positividad para actina músculo específica, CD34, y CD99
- La evolución es benigna. Las recidivas son raras

## Fibroma pleomórfico Diagnóstico diferencial

- El fibroxantoma atípico: tiene más celularidad y más numerosas mitosis, típicas y atípicas, además de localizarse generalmente en la cabeza en personas mayores
- El dermatofibroma "atípico": es más celular y fascicular, y suele tener algunas células espumosas y/o con hemosiderina, hiperplasia epidérmica, y mínima presencia de mucina
- El fibroblastoma de células gigantes: se caracteriza por la presencia de espacios pseudovasculares limitados por las células gigantes, y la fusión génica COL1A1-PDGFB

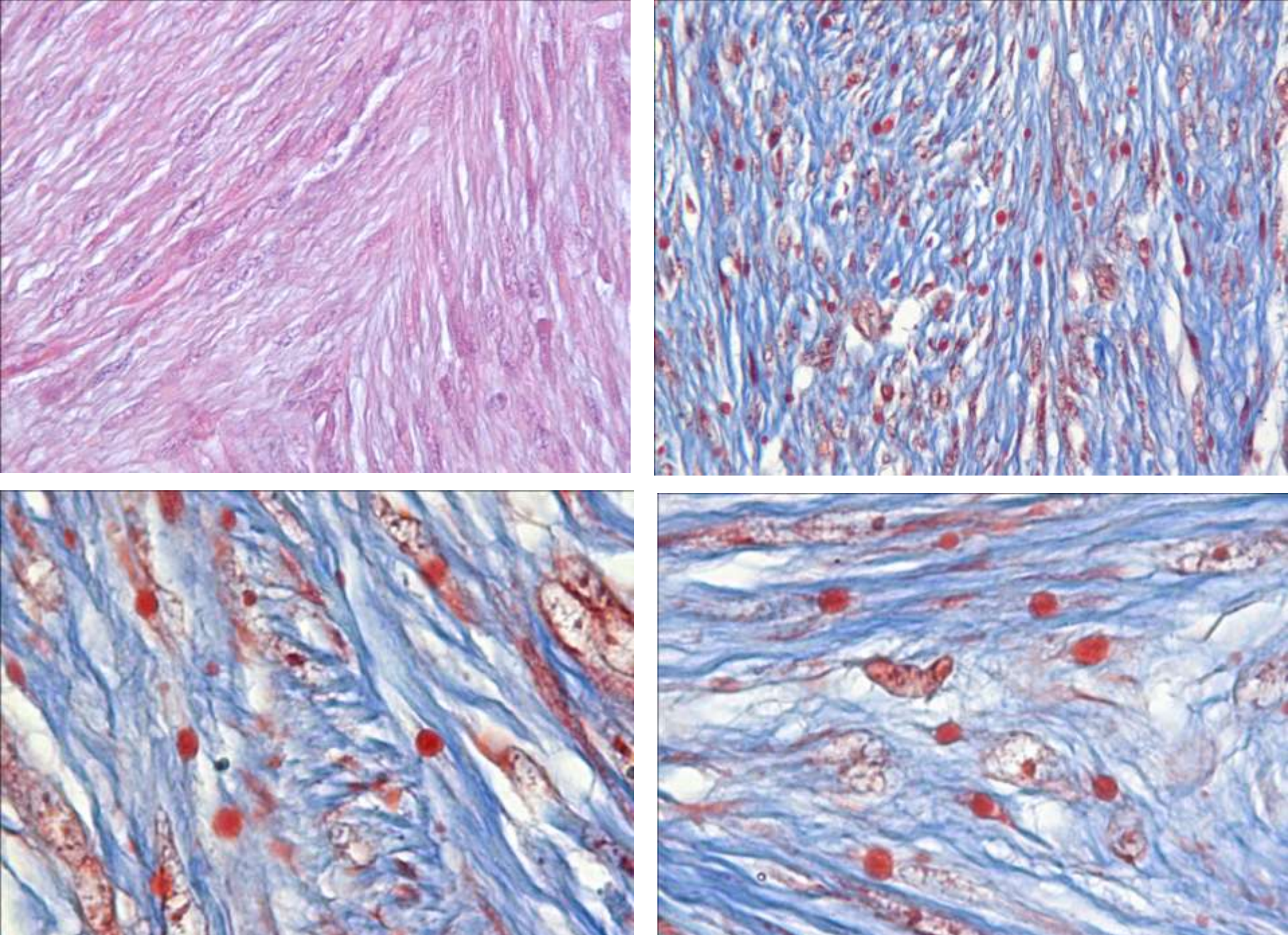




### Fibroblastoma desmoplásico

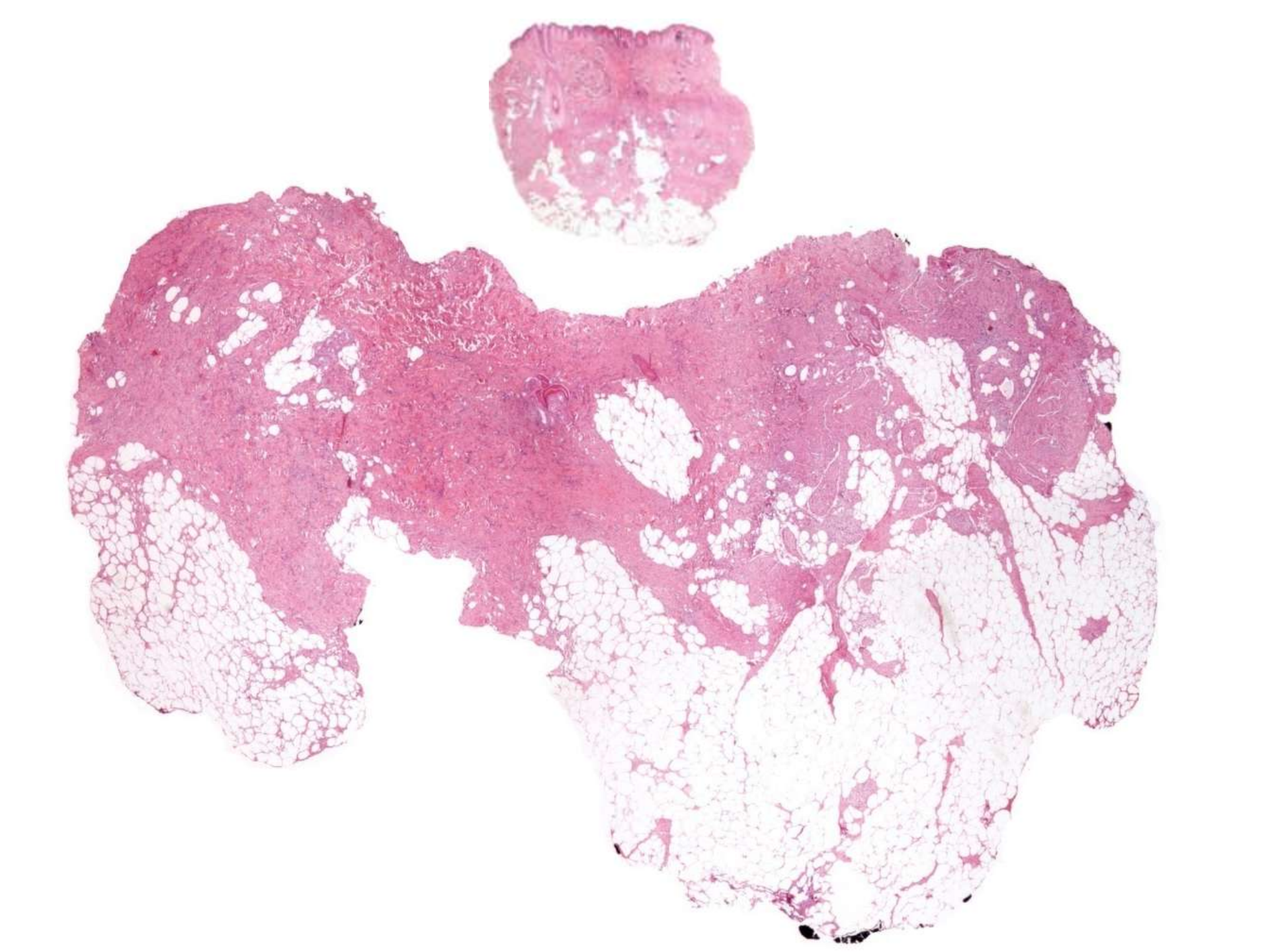
- Cuello, brazo, antebrazo, muslo, hombro, pie
- Tumor bien delimitado, subcutáneo o intramuscular
- Células fusiformes o estrelladas con nucleolo prominente y citoplasma anfófilo
- Fondo colágeno denso o fibromixoide
- Menos celularidad donde más colágeno
- NO mitosis ni necrosis
- Pocos vasos
- No recidiva
- D. Diferencial:
  - Fascitis nodular: más celular y menos fibrosa
  - Sarcoma fibromixoide de bajo grado:
    - Células más pequeñas
    - Más celular en algunas áreas
    - Doble componente fibroso y mixoide
    - Patrón arremolinado

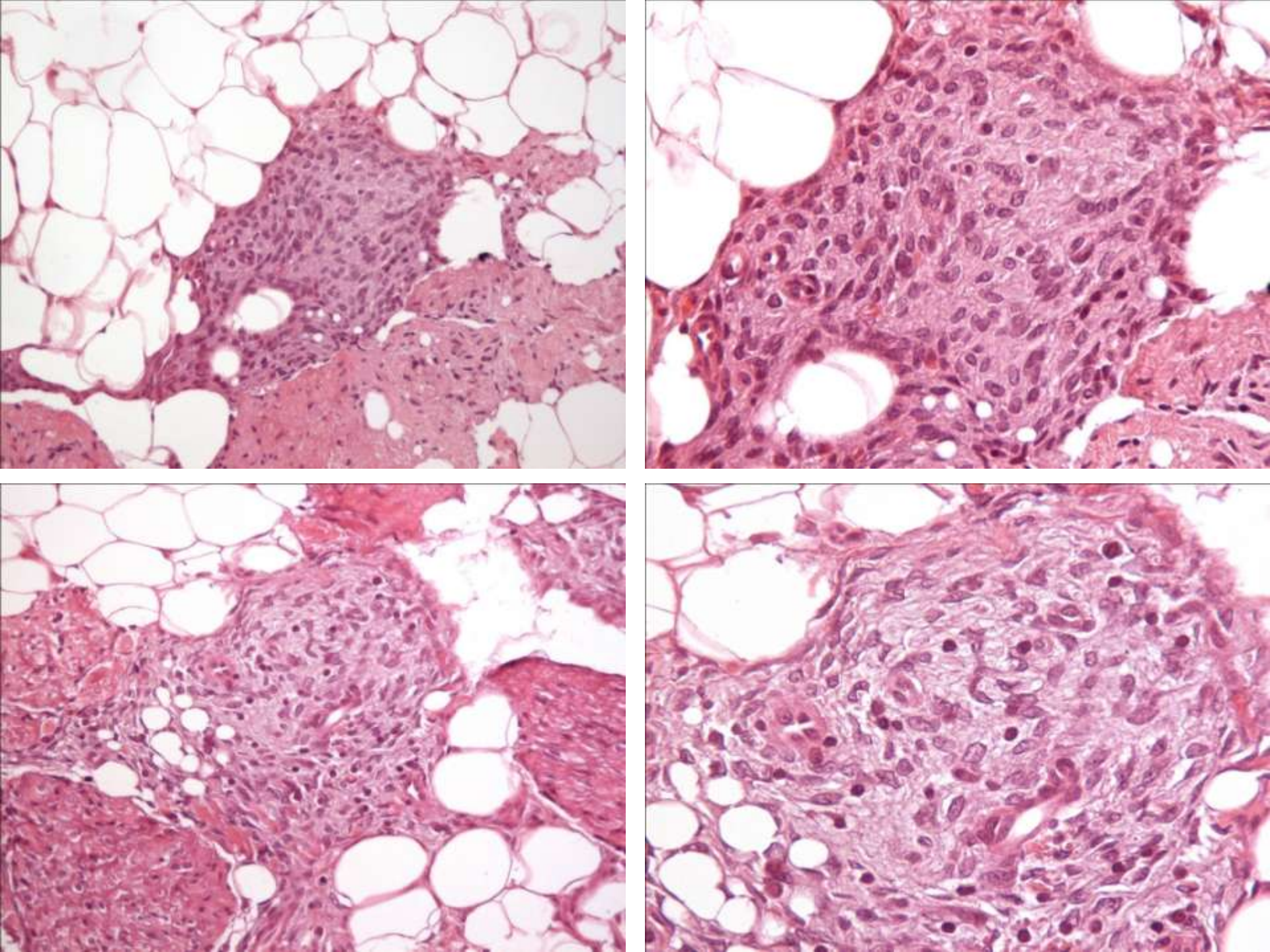




### Fibroma/fibromatosis digital infantil

- Niños pequeños
- Nódulo hemisférico, superficie lisa
- Dedos manos y pies: distal, dorsal o dorso-lateral
- Generalmente solitario\*
- Proliferación fusocelular en fascículos, arremolinados, cortos o estoriformes perianexiales
- Células miofibroblásticas con muy escasas mitosis
- Inclusiones paranucleares eosinófilas (1,5-24 µm) en la mayoría de casos (constituidas por agregados de actina\*)
- Esporádico (aunque en el síndrome de displasia digitocutánea hay lesiones similares que NO tienen las inclusiones)
- Inmunohistoquímica: AML-α+, calponina+ y desmina+. No significativa inmunotinción nuclear para catenina-β
- Recidiva frecuente (60-75%). Pero se recomienda resección limitada. Posible regresión espontánea
- D. Diferencial:
  - Fibromatosis desmoide: profunda, catenina-β nuclear
  - Fibromatosis palmar o plantar\*
  - Fibroma aponeurótico calcificante\*

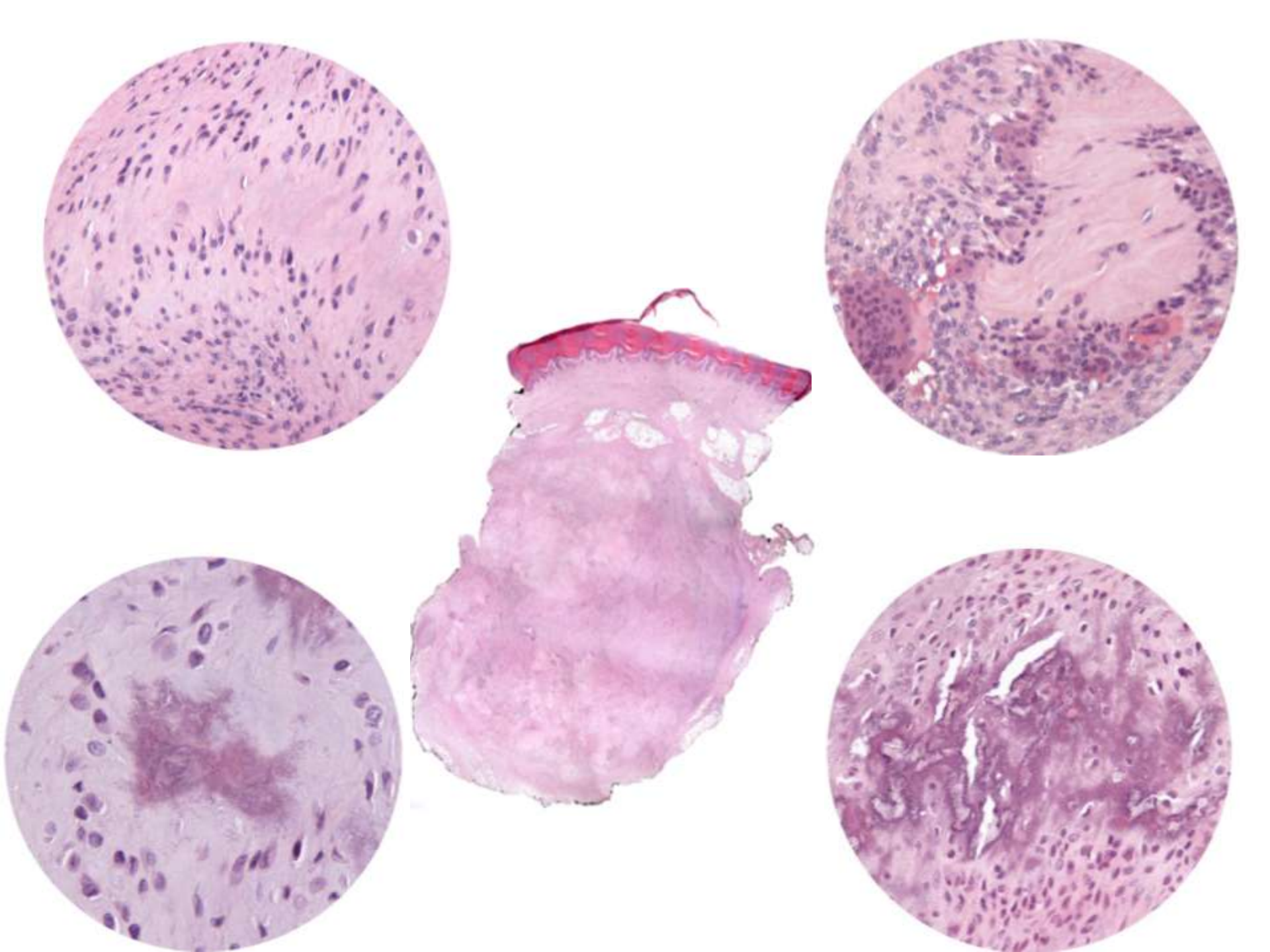




### Hamartoma fibroso infancia

- Niños < 2 años</li>
- Masa pequeña (<5 cm), superficial, crecimiento rápido</li>
- Células fusiformes o estrelladas. Rara atipia celular
- Patrón TRIFÁSICO y organoide
  - Fascículos fibroblasticos bien diferenciados
  - Tejido adiposo maduro
  - Zonas inmaduras mesenquimales mixoides de células redondas o estrelladas
- NO mitosis ni necrosis
- Inmunohistoquímica: CD34+, variable actina muscular específica y desmina
- D. Diferencial:
  - Lipofibromatosis: No áreas inmaduras
  - Miofibroma/miofibromatosis: Zonación: periférica mioide, y central hemangiopericitoide (a veces necrosis)
  - Fibroma aponeurótico calcificante: distal, calcificaciones rodeadas por empalizada cels epitelioides



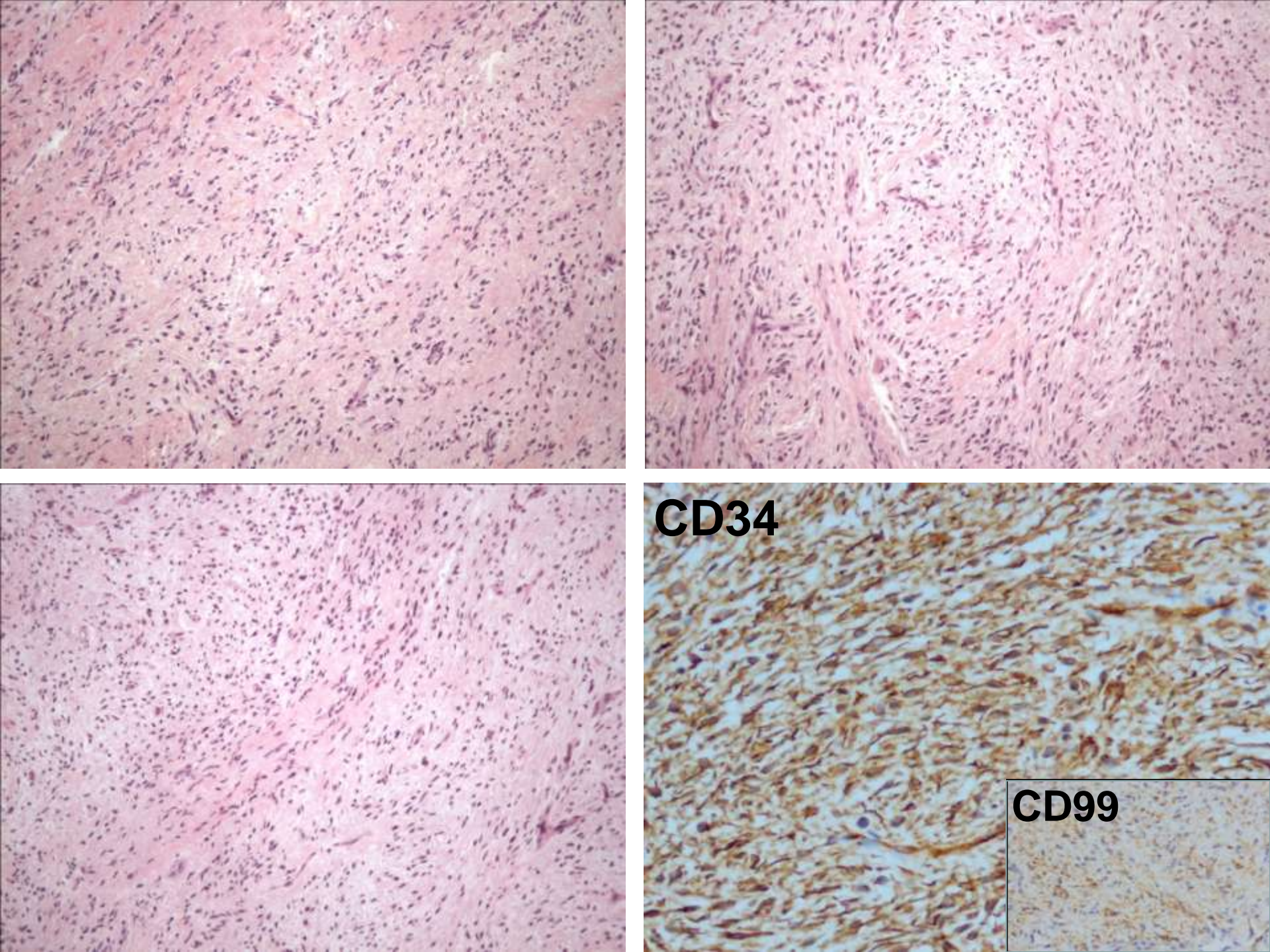


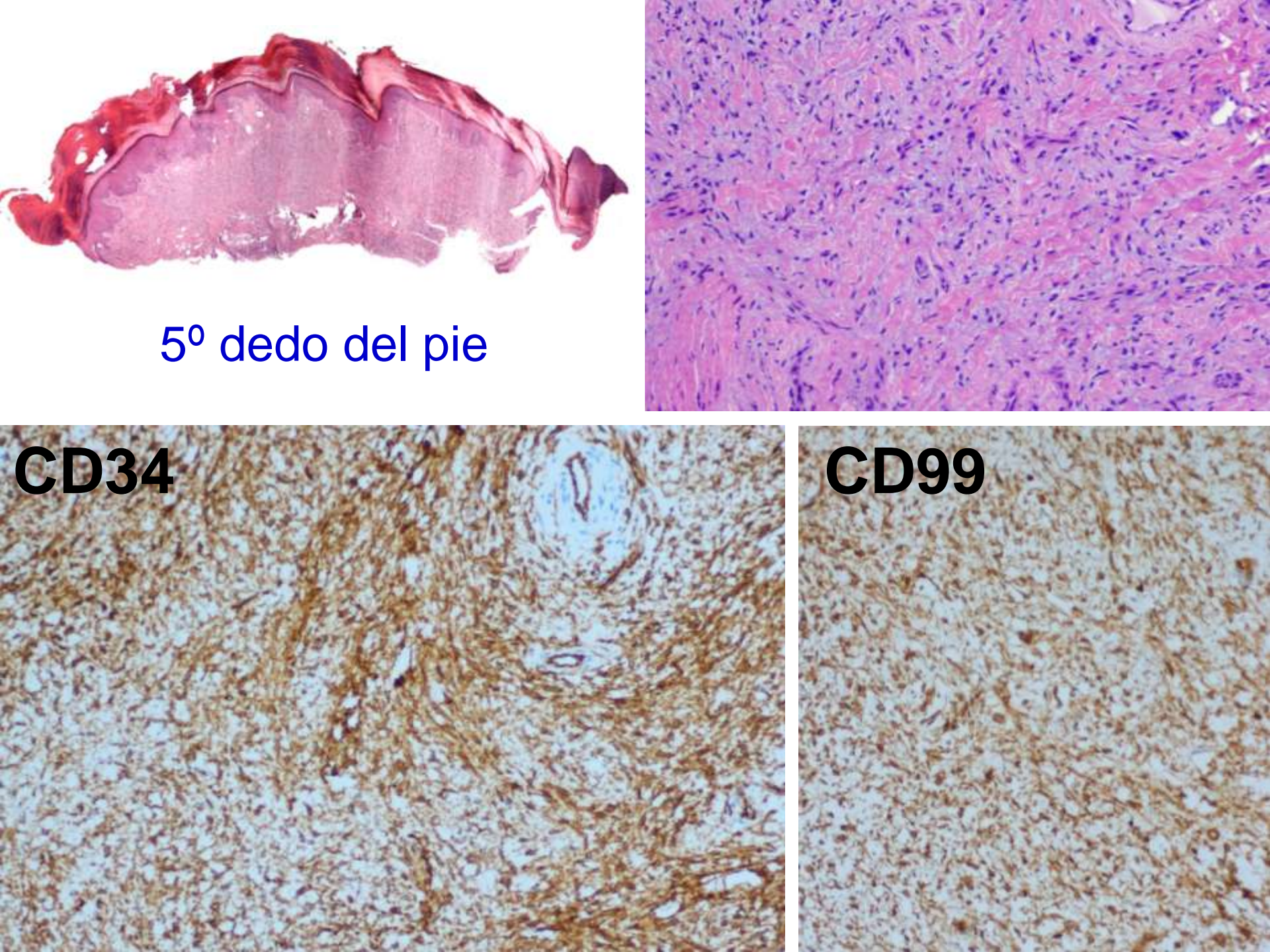
### Fibroma aponeurótico calcificante

- Palmas y plantas
- Varones. Niños y adolescentes
- Masa indolora mal delimitada (<3 cm), crecimiento lento e infiltrativo
- Células fusiformes + empalizadas de cels epitelioides alrededor de espacios fibrocondrales, que tienden a calcificarse
- Puede haber células gigantes multinucleadas tipo osteoclasto
- Recidivas frecuentes (50%), pero se recomienda resección limitada
- D. Diferencial:
  - Condroma de partes blandas: más edad, predominio condral
  - Sarcoma sinovial monofásico: más celular y atipico, y expresión de marcadores epiteliales. T(X-18): fusión génica SS18-SSX1/2/4; SS18L1-SSX1)









### Fibromixoma acral superficial

- Dedos manos o pies. Predilección lecho ungueal. Raro en talón
- Adultos (hombres > mujeres)
- Células fusiformes o estrelladas. Rara atipia celular
- Patrón arremolinado o fascicular
- Matriz mixoide y colágena
- Aumento de microvascularización. Dispersos mastocitos.
- Asociación mal definida con papilomavirus
- Positividad: CD34, CD99 y EMA
- Negativas: actina muscular, desmina, S-100
- Excepcional recidiva

### Fibromixoma acral superficial

#### D. Diferencial:

- Angiomixoma superficial: No acral,
   +/-componente epitelial, CD34-/+
- DFSP: no suele afectar dedos-subungueal; infiltración subcutánea característica; patrón estoriforme; Fusión génica COL1A1-PDGFB
- Perineuroma periungueal: CD34 no + difuso; EMA+
- Fibroqueratoma digital: colágeno perpendicular a epidermis, EMA-, CD34-/+
- Sarcoma fibromixoide bajo grado: NO acral; translocación-fusión génica típica
- Sarcoma mixoinflamatorio acral: células Reed-Sternberg-like, inflamación, atipia celular

#### Journal of Cutaneous Pathology

# Cellular digital fibromas: distinctive CD34-positive lesions that may mimic dermatofibrosarcoma protuberans

**Background:** Digital fibromas are common benign acral tumors typically reported as angiofibromas (AFs) or acquired digital fibrokeratomas (ADFs). Cellular variants are not well recognized. **Methods:** We collected 14 acral fibrocytic lesions showing a spindle cell morphology from our files, and evaluated CD34, Factor XIIIa, epithelial membrane antigen (EMA), and S100 protein staining of these lesions. We compared the histologic and immunohistochemical

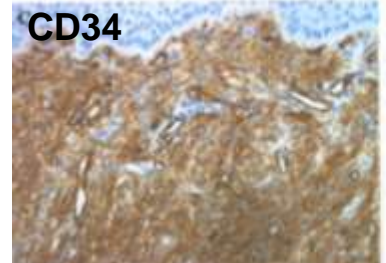
Jennifer M. McNiff, Antonio Subtil, Shawn E. Cowper, Rossitza Lazova and Earl J. Glusac

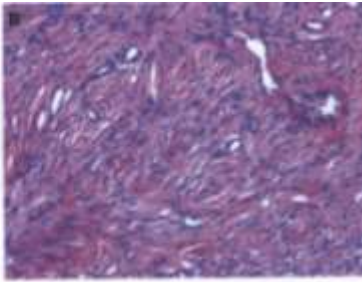
Departments of Dermatology and Pathology, Yale University School of Medicine, New Haven, CT, USA

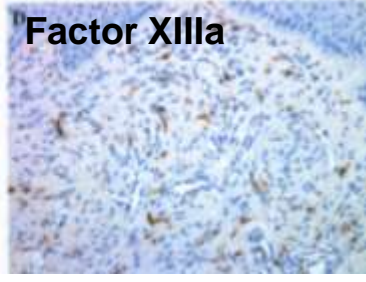


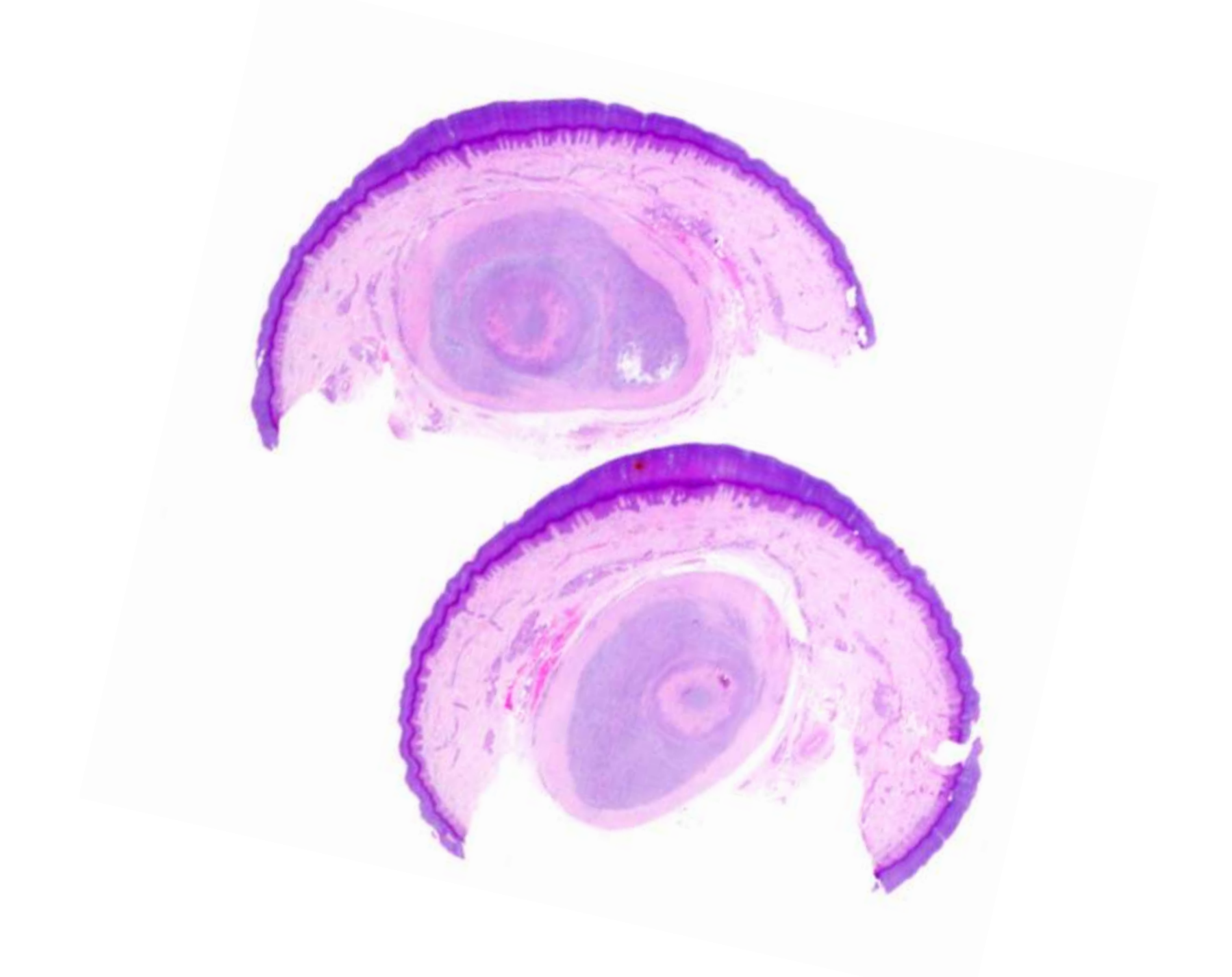
(EMA -)

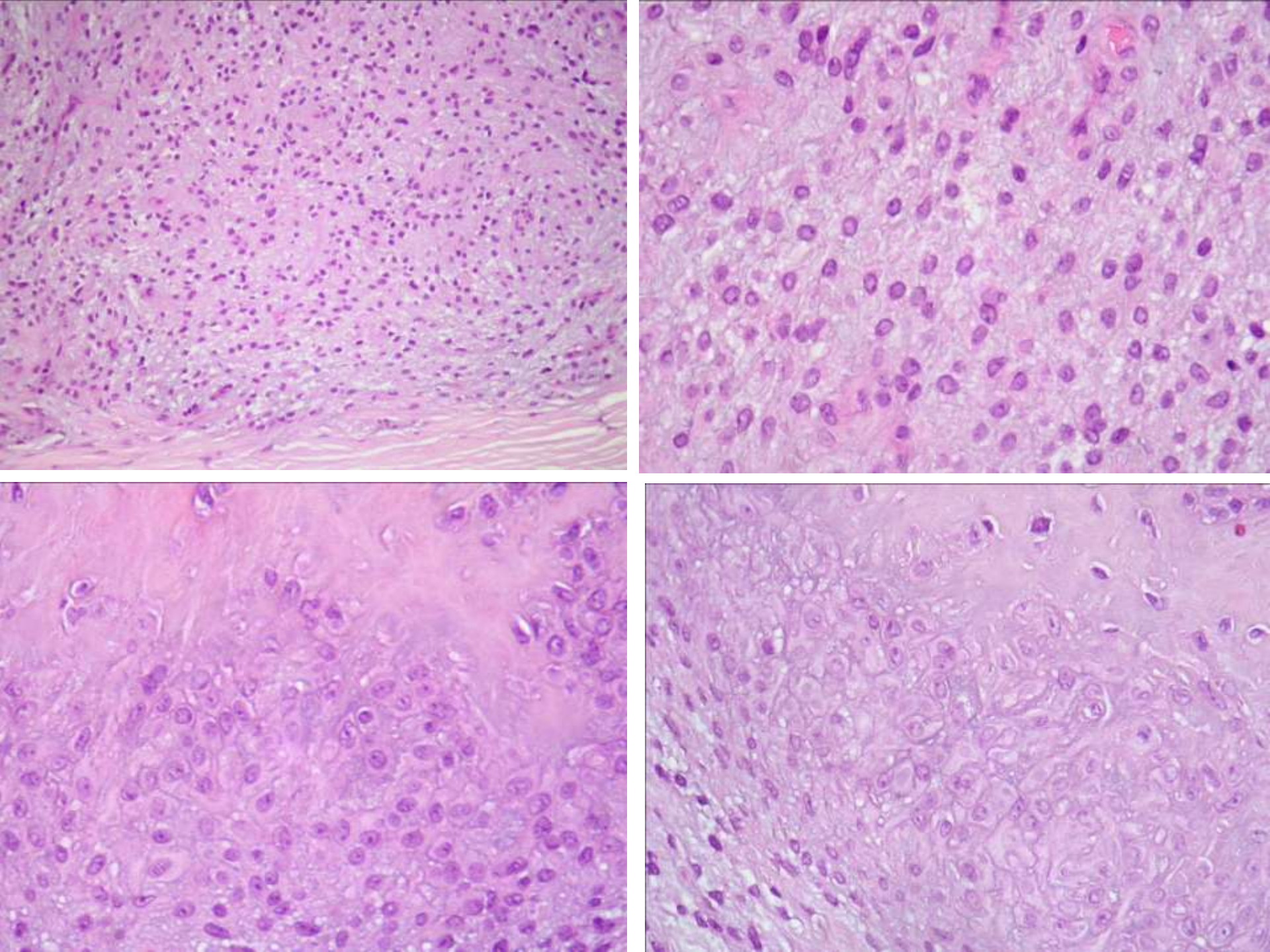


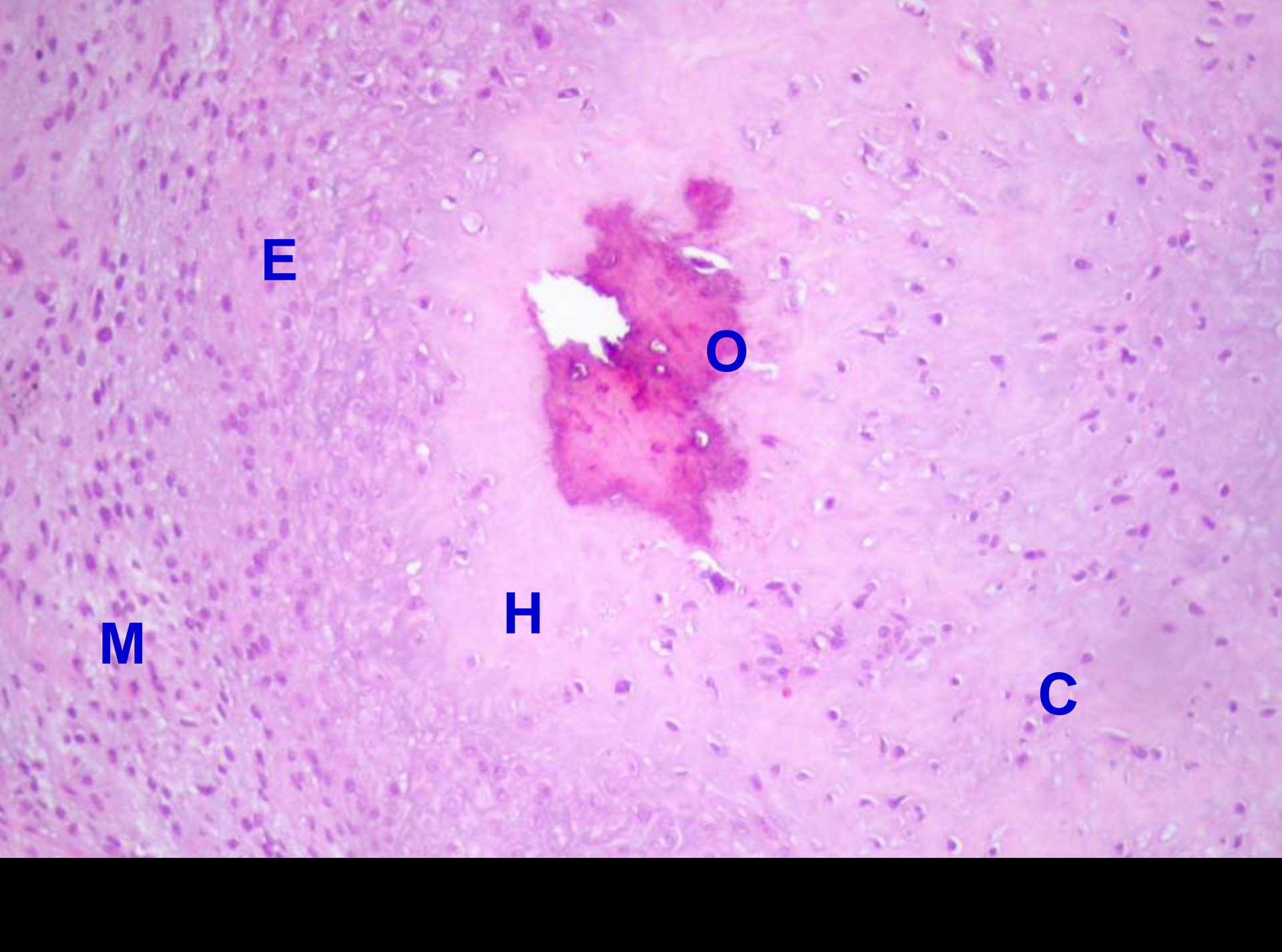


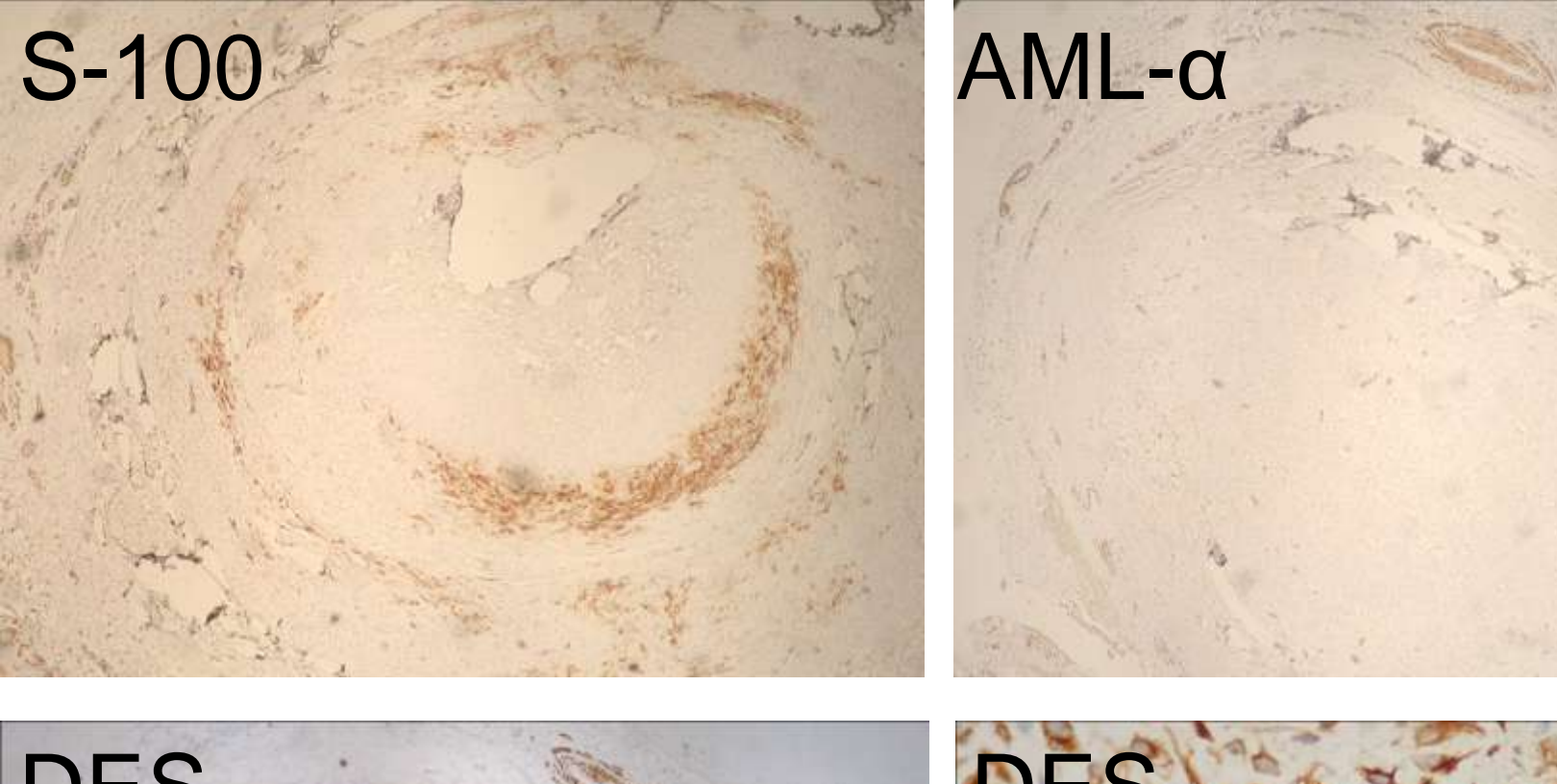




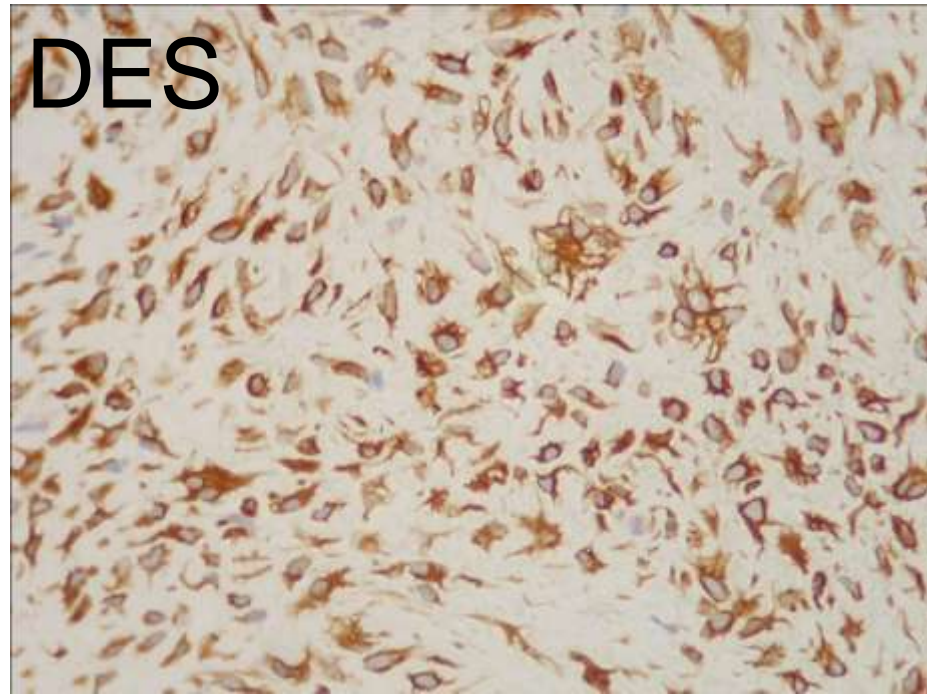












# Tumor fibromixoide osificante

## Tumor fibromixoide osificante Clínica

- Neoplasia (mesenquimal) rara
- Subcutánea
- Extremidades frecuentemente
- Indolora
- Crecimiento lento
- Adultos (hombres > mujeres)
- Recidiva (25%)
- (Metástasis: casos muy atípicos\*)

# Tumor fibromixoide osificante Histopatología

- Generalmente encapsulado (cápsula muy gruesa)
- Lobulado y mixoide
- Rica vascularización
- Células núcleos redondos u ovales de límites mal definidos, o bien poligonales
- Áreas hialinas, a veces condroides
- Focal hueso laminar (63% casos)

### Tumor fibromixoide osificante Inmunohistoquímica

- Positiva
  - Vimentina
- Variable y <u>FOCAL</u>:
  - **S-100**
  - Actina músculo liso
  - GFAP
  - Desmina
  - CD10
- Generalmente NEGATIVA
  - Citoqueratina, EMA, neurofilamentos

#### Ossifying Fibromyxoid Tumor of Soft Parts

A Clinicopathologic Study of 70 Cases With Emphasis on Atypical and Malignant Variants

Andrew L. Folpe, M.D., and Sharon W. Weiss, M.D.

#### Ossifying Fibromyxoid Tumor of Soft Parts— A Clinicopathologic and Immunohistochemical Study of 104 Cases With Long-term Follow-up and a Critical Review of the Literature

Markku Miettinen, MD, Val Finnell, MD, and John F. Fetsch, MD

Abstract: Ossifying fibromyxoid tumor (OFT) is a unique soft tissue tumor of uncertain histogenesis. The majority of reported cases (approximately 220) have pursued a benign clinical course. However, recent literature has emphasized the existence of

Key Words: ossifying fibromyxoid tumor, immunohistochemistry, differential diagnosis, low-grade fibromyxoid sarcoma, mixed tumor, S100 protein

(Am J Surg Pathol 2008;32:996-1005)

# Tumor fibromixoide osificante ¿Criterios malignidad?

Alta celularidad

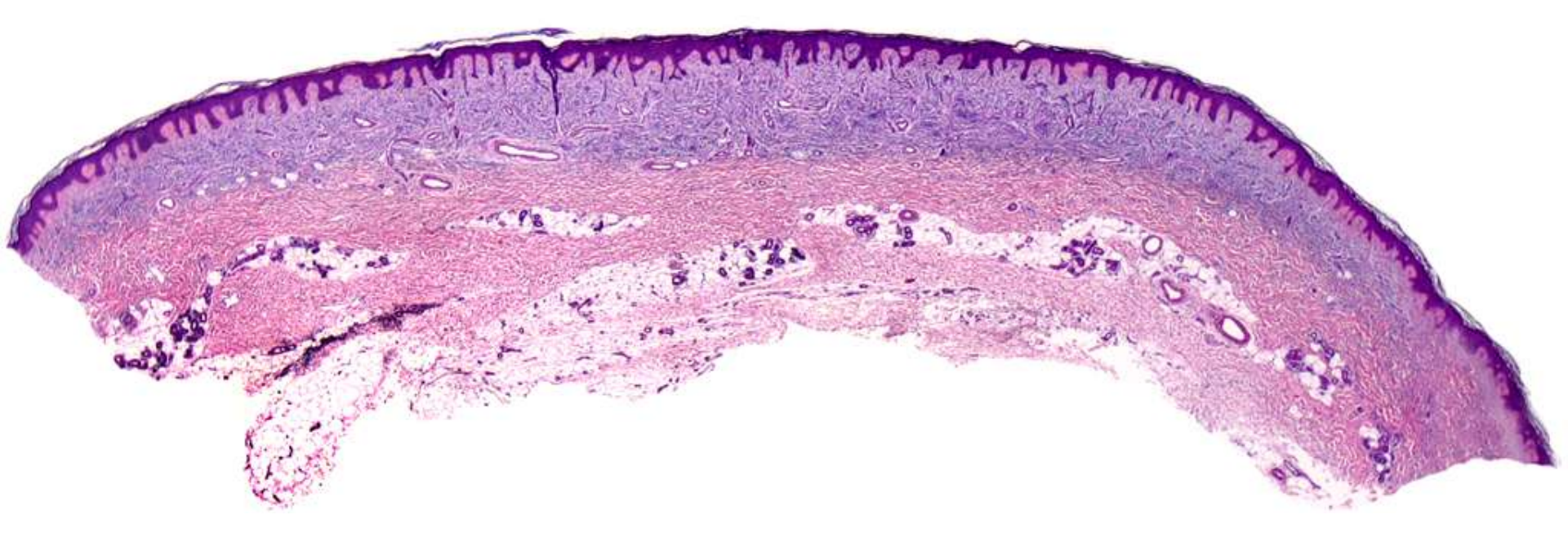
Atipia celular prominente

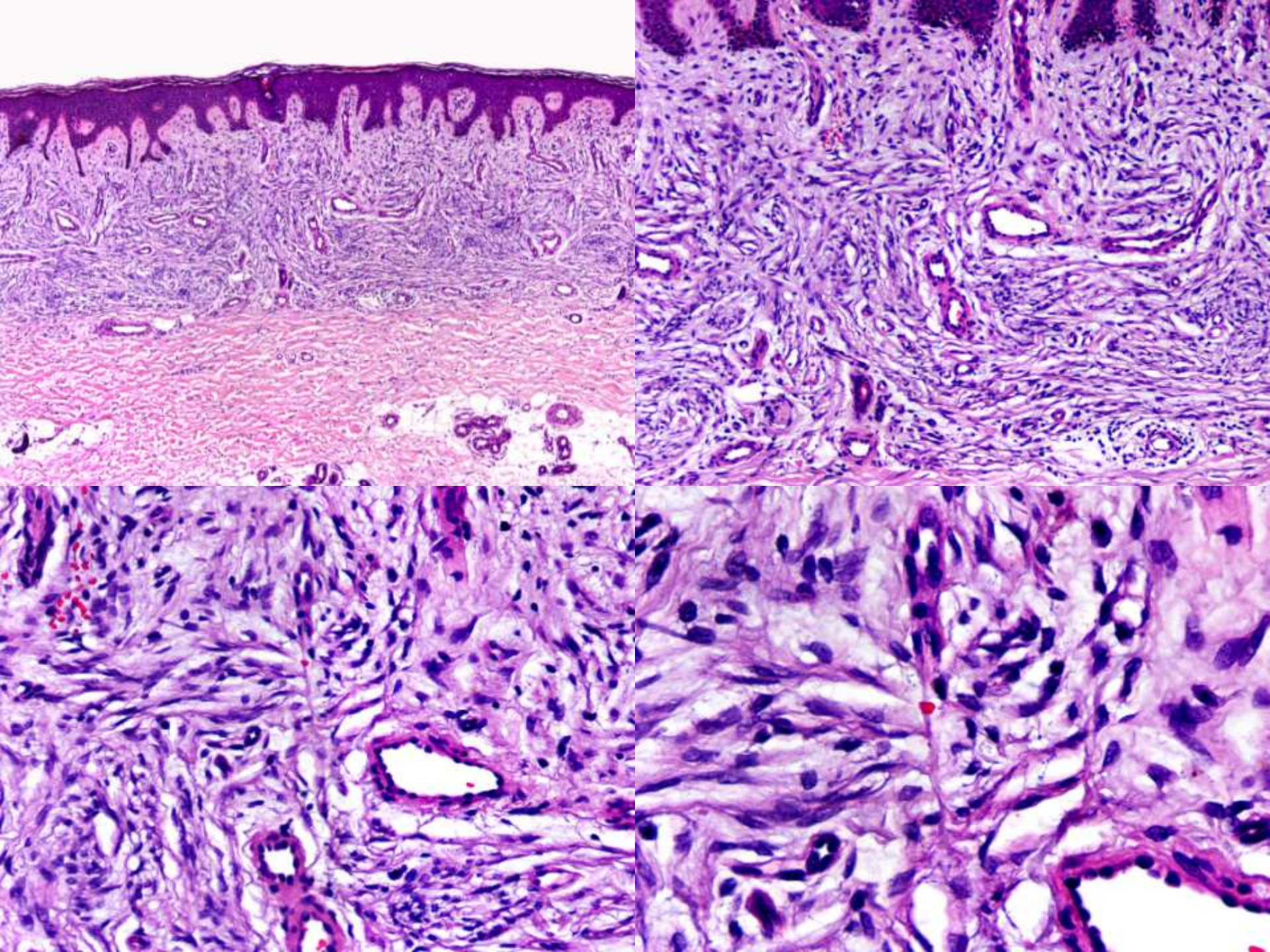
(Mitosis: >2 mitosis/50 campos)
 discutido – es frecuente, y parece
 asociarse más con la recidiva local

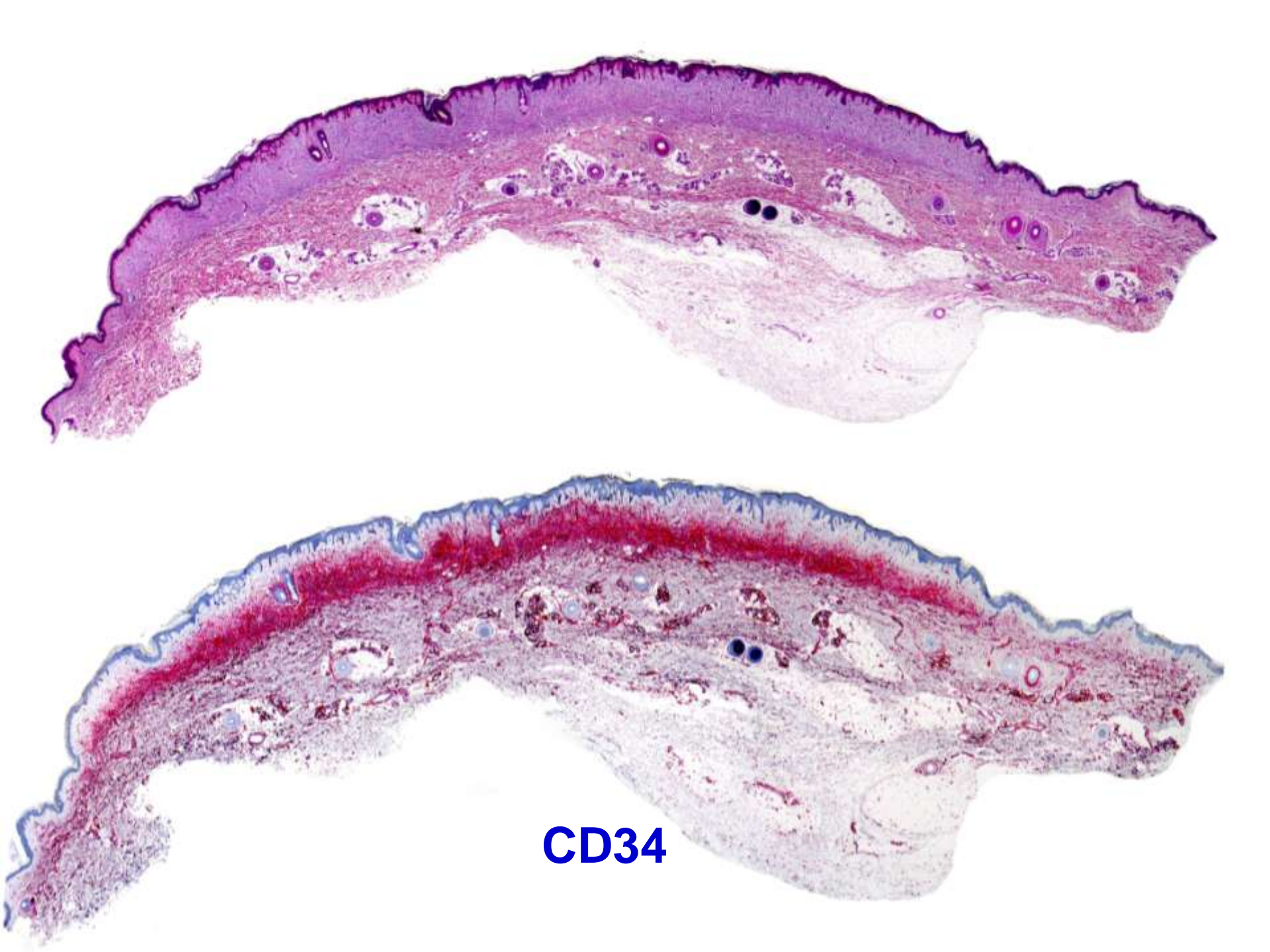
# Tumor fibromixoide osificante Diagnóstico diferencial

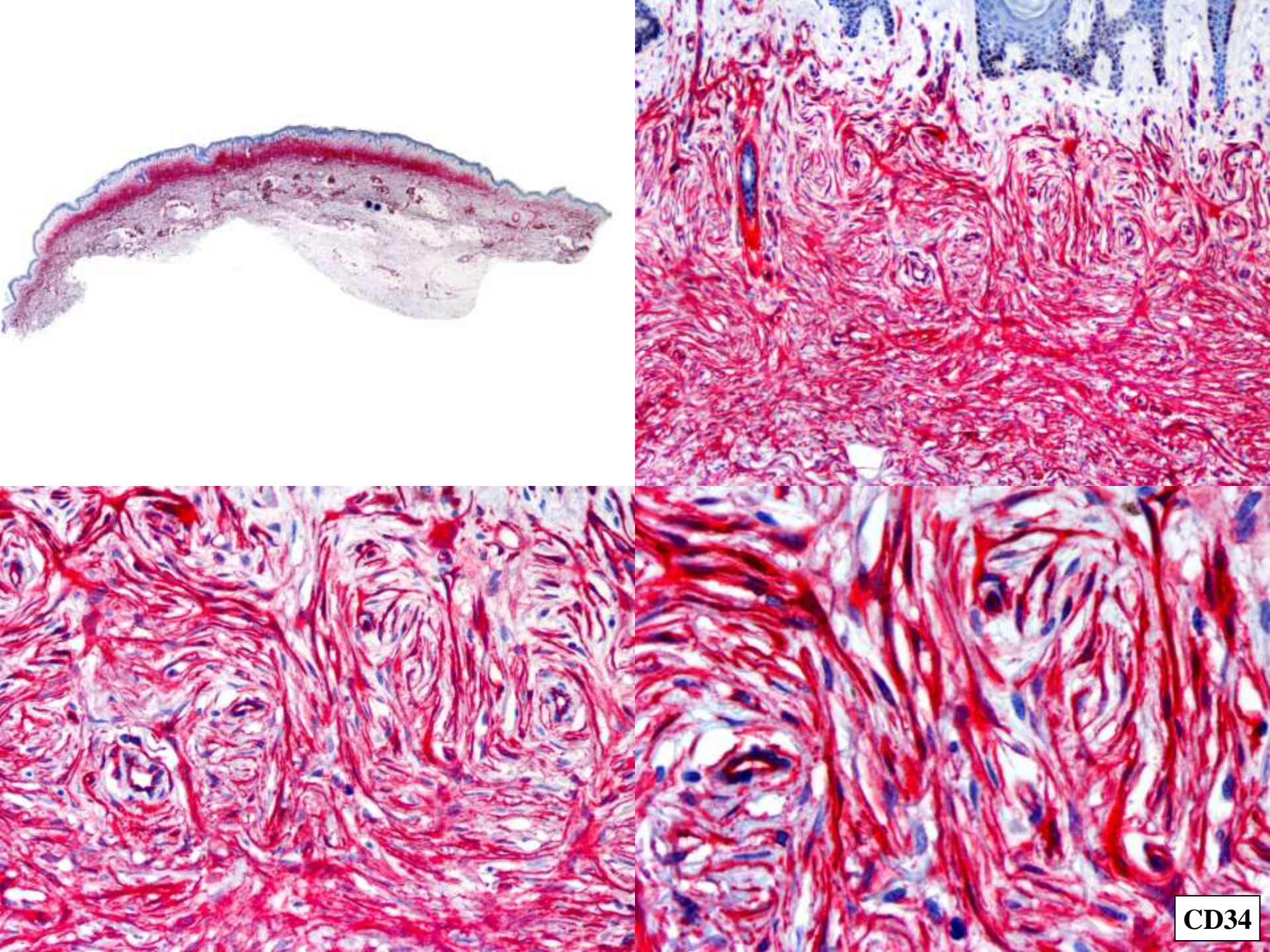
- Schwanoma
  - Cels fusiformes, S-100 generalizada, colágeno IV
- Condrosarcoma mixoide extraesquelético
  - Más grandes, profundos, t(9;22)
- Tumor mixto cutáneo
  - Cels epiteliales (citoqueratina constante)
- Mixoma vaina nerviosa
  - S-100 +, no encapsulado ni osificación
- Cordoma
  - Células multinucleadas, vacuolizadas, CK y EMA+

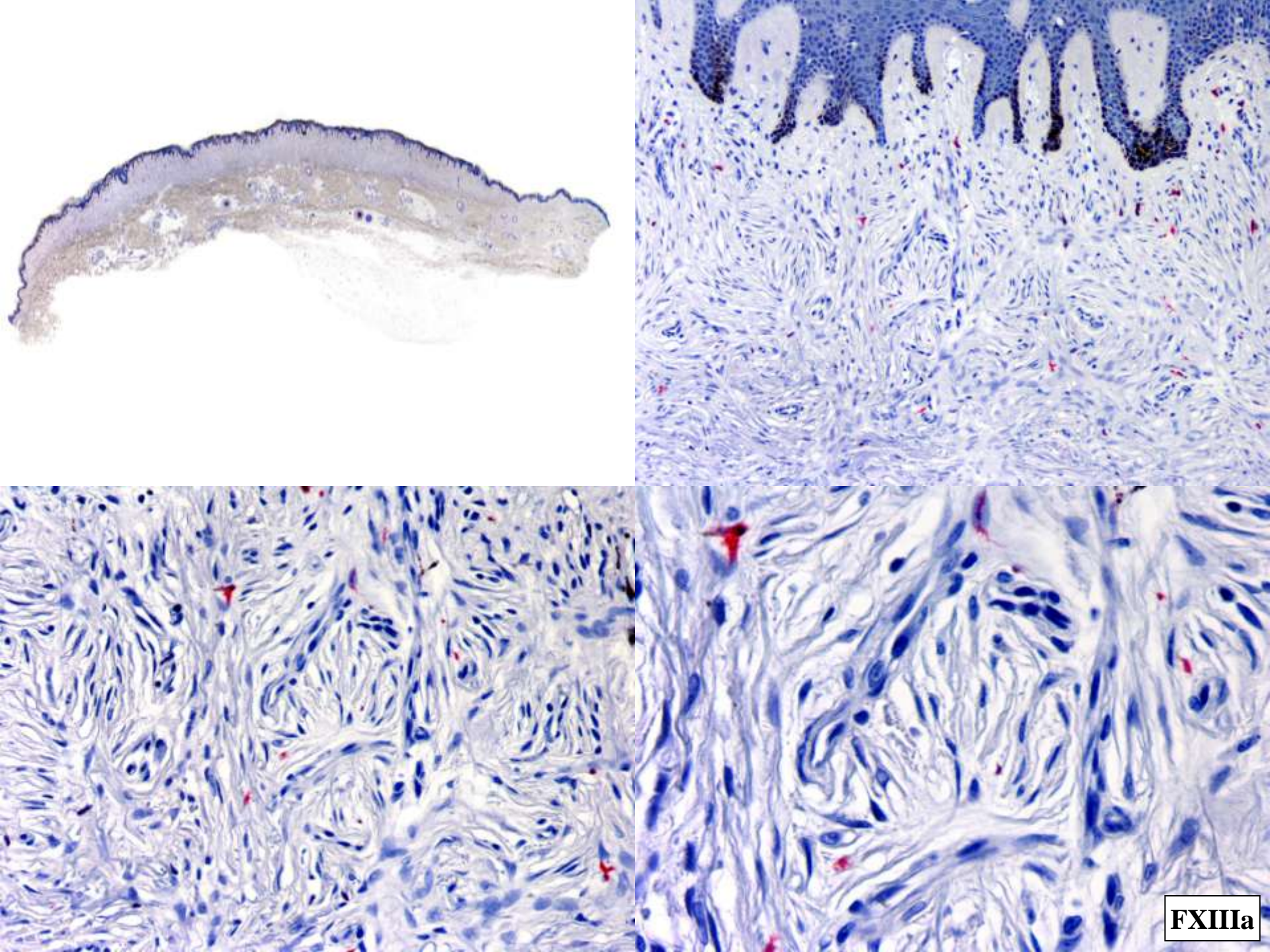


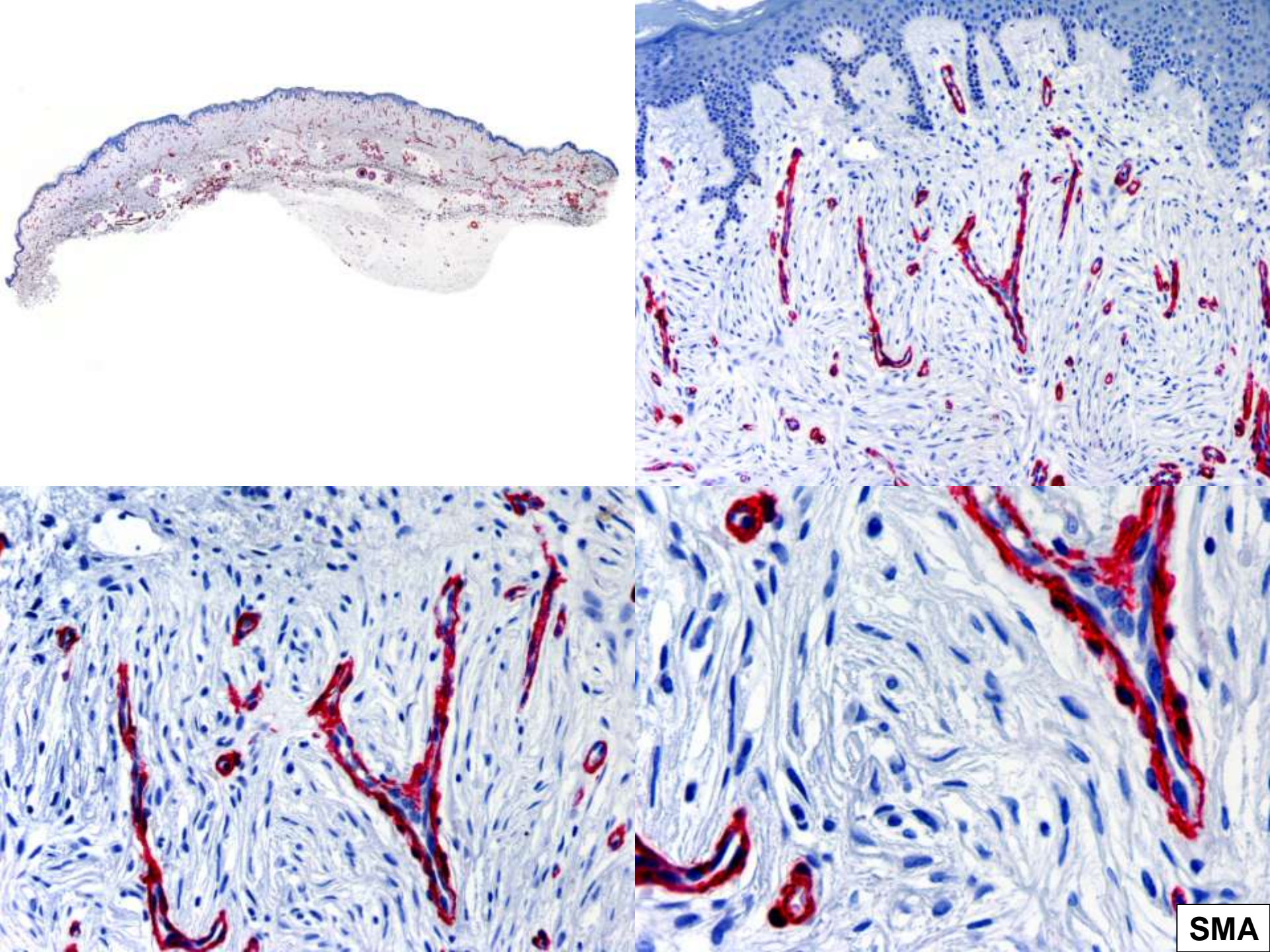












### Plaque-like CD34-positive Dermal Fibroma ("Medallion-like Dermal Dendrocyte Hamartoma")

Clinicopathologic, Immunohistochemical, and Molecular Analysis of 5 Cases Emphasizing its Distinction From Superficial, Plaque-like Dermatofibrosarcoma Protuberans

Heinz Kutzner, MD,\* Thomas Mentzel, MD,\* Gabriele Palmedo, PhD,\* Markus Hantschke, MD,\* Arno Rütten, MD,\* Bruno E. Paredes, MD,\* Leo Schärer, MD,\* Carlos Serra Guillen, MD,† and Luis Requena, MD.‡

TARIF 3	Clinical and	Molecular-genetic	Data of 5 Cases	of PDF and 7	Cases of Incinien	t Intradormal	(Plague-like) DFSP
I ADLE 3.	Cililical allu	Molecular-genetic	Data of 5 Cases (	n PDF and /	Cases of incibien	t intraueimai	(Plaque-like) DF3P

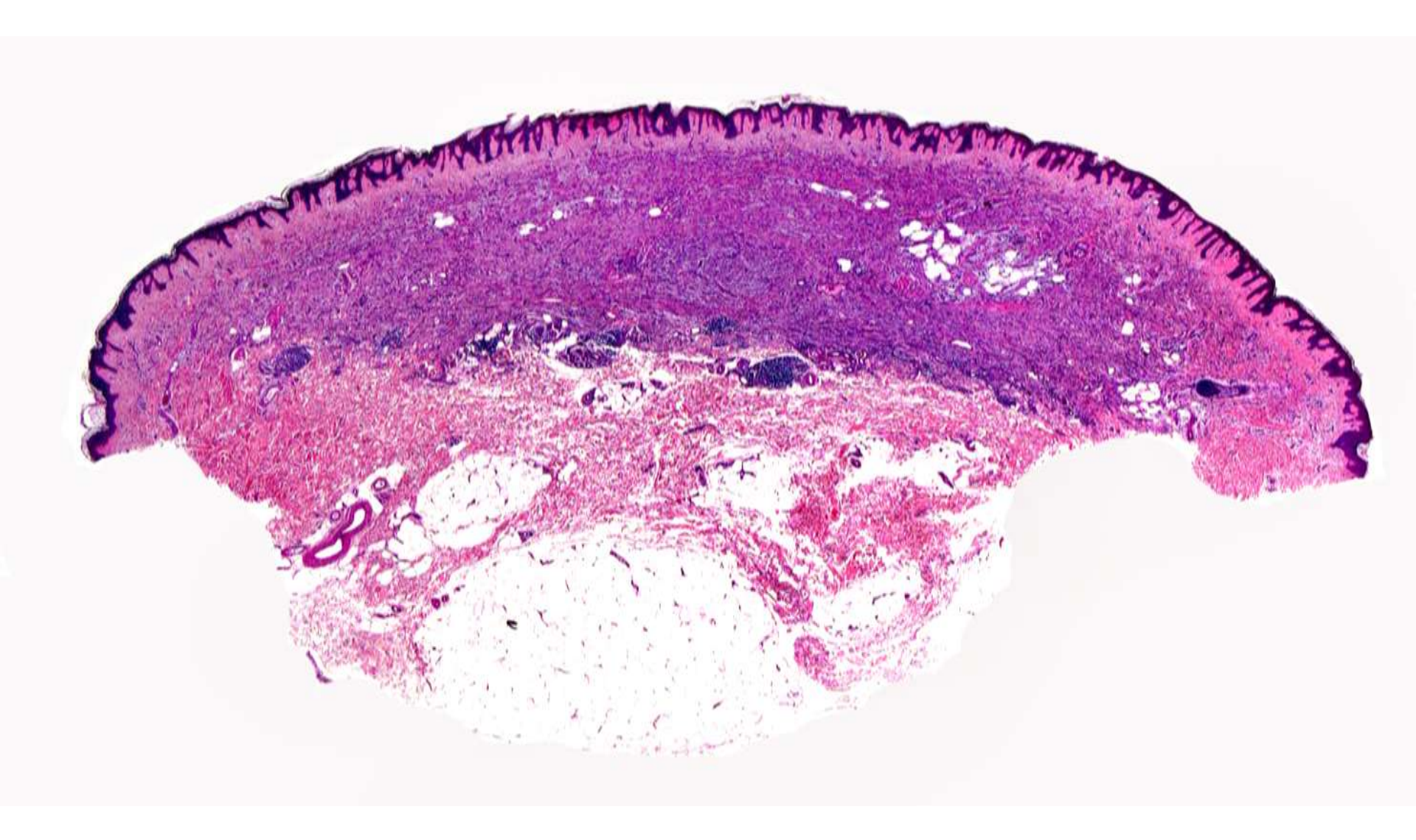
Patient	Age/ Sex	Location	Size (cm)	Initial Clinical Diagnosis	Histologic Diagnosis	Archival Tissue. Storage Time (y)	RT- PCR	COLIAI PDGFB FISH	% of Rearranged Cells (FISH)	Treatment/ Course/ Follow-up (y)
1	9/M	Neck	3.5	Congenital nevus	PDF		Negative	Negative	None	B/tumor in situ/-
2	52/M	Forearm	2.5	Nevus	PDF	5.5	NF	Negative	None	E/FOD/5.5
3	69/F	Thigh	1.5	Lichen Planus Like Keratosis	PDF	3.5	Negative	Negative	None	E/FOD/4
4	64/F	Foot	1.5	Dysplastic Nevus	PDF		Negative	Negative	None	E/FOD/1
5	65/F	Thigh	2.0	Dermatofibroma	PDF	-	Negative	Negative	None	E/FOD/0.5
6	53/M	Thigh	2.0	Dermatofibroma	DFSP	8.5	NF	+	26.9	WE/FOD/8.9
7	43/F	Axilla	1.0	Morphea, Collagenous Nevus	DFSP	12	NF	+	75	WE/FOD/12
8	66/F	Sternum	1.5	Basal Cell Carcinoma	DFSP	4.5	NF	+	52.1	WE/FOD/4.5
9	17/F	Forearm	1.5	Mastocytoma, Neurofibroma, Leiomyoma	DFSP	7	NF	+	46.7	WE/FOD/7
10	33/F	Thigh	0.5	Atypical Nevus	DFSP	3.5	Negative	+	70.6	WE/FOD/4
11	68/F	Lumbar	2.5	Pseudolymphoma	DFSP		Negative	+	76.2	WE/FOD/0.5
12	64/F	Abdomen	3.0	Granuloma annulare	DFSP		+	+	75	WE/FOD/1

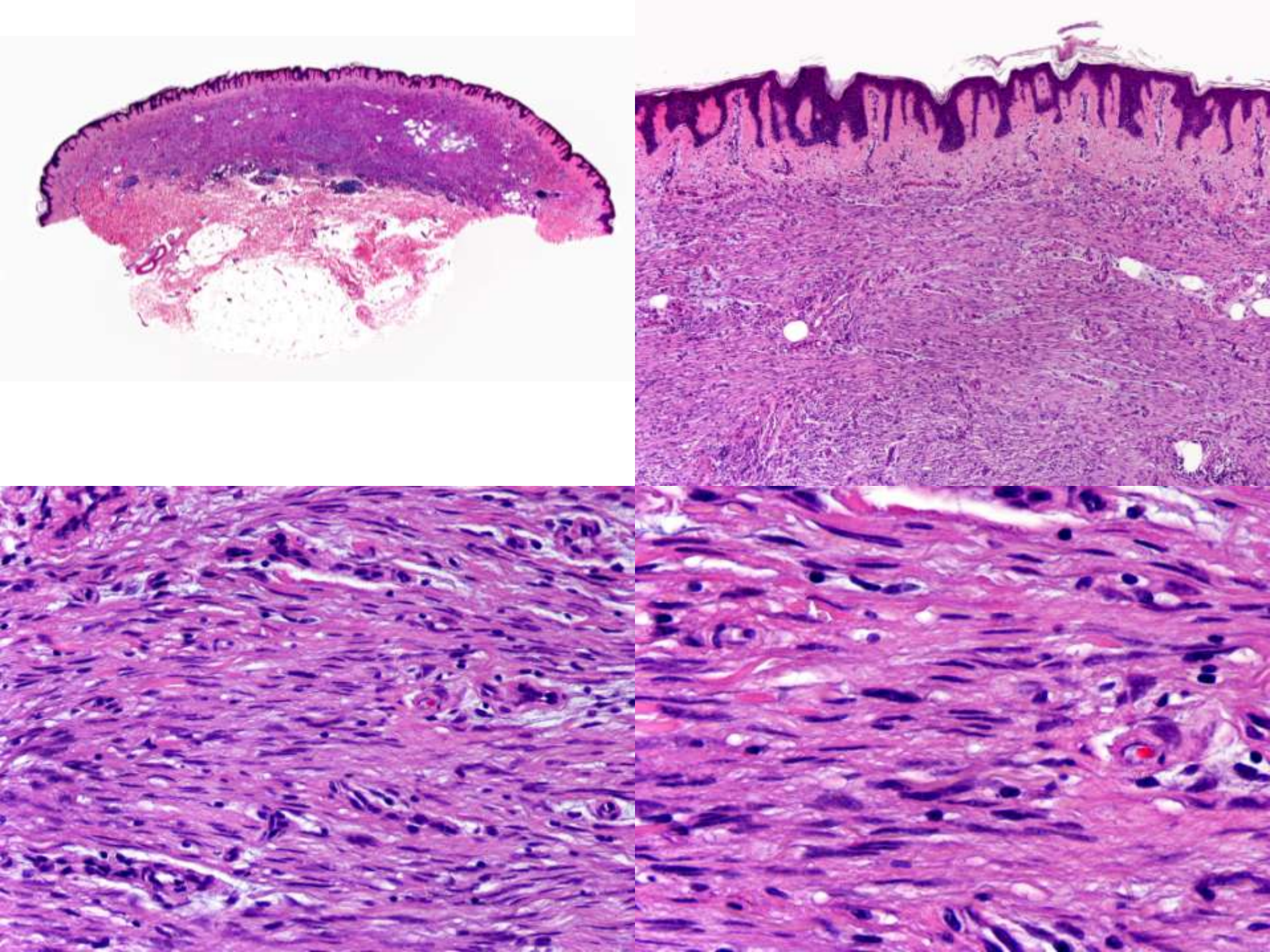
B indicates biopsy; COLIAI, collagen type 1αI; DFSP, dermatofibrosarcoma protuberans; E, excision with narrow margins; F, female; FISH, fluorescence in-situ hybridization; FOD, free of disease (no recurrences), M, male; NF: RT-PCR not feasible due to lack of amplifiable RNA (RNA degradation or insufficient RNA quantity); PDF, plaque-like dermal fibroma; PDGFB, platelet-derived growth factor β; RT-PCR, reverse transcription polymerase chain reaction; WE, wide excision with margins exceeding 1 cm.

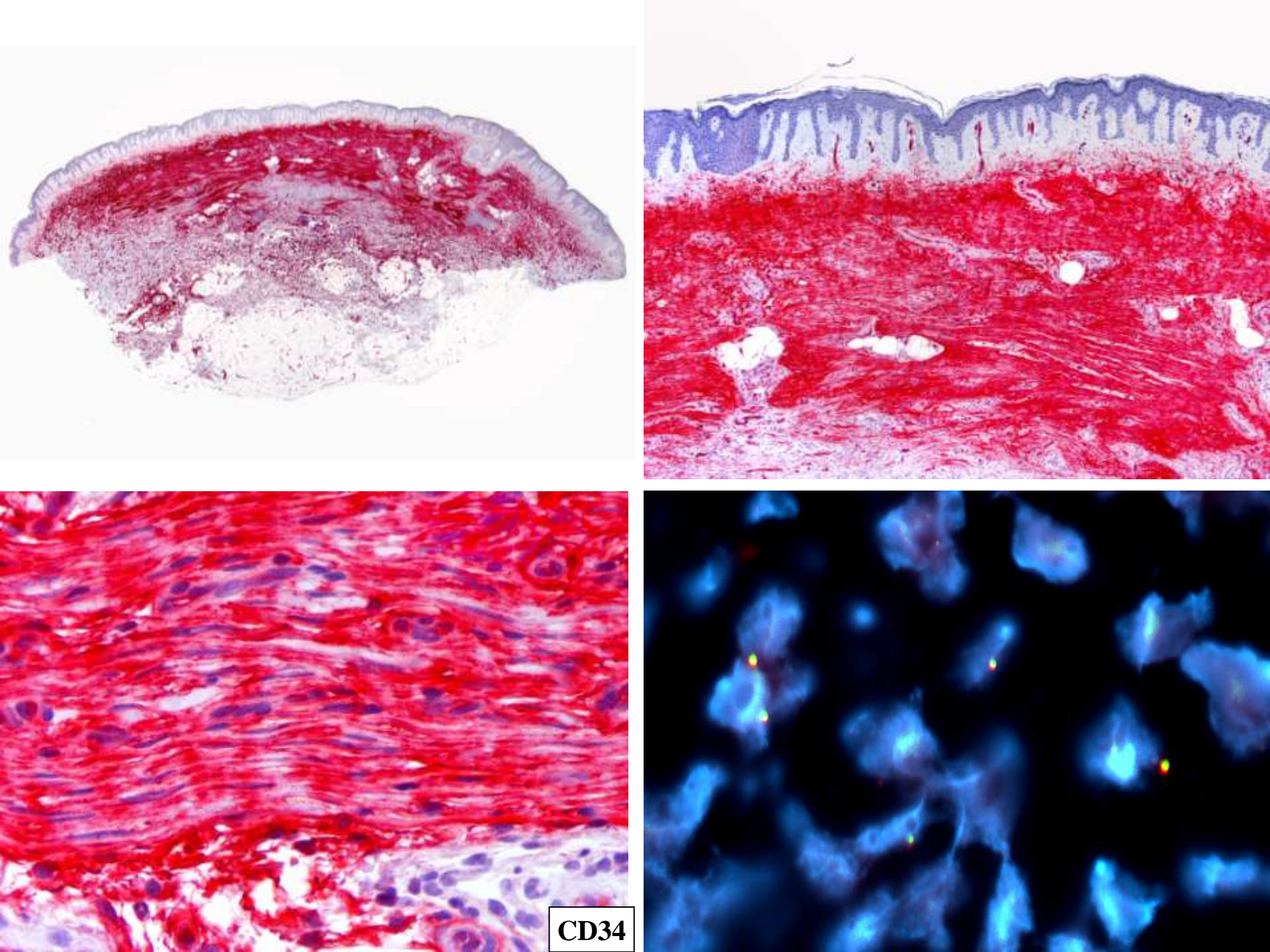
### Fibroma en placa CD34+

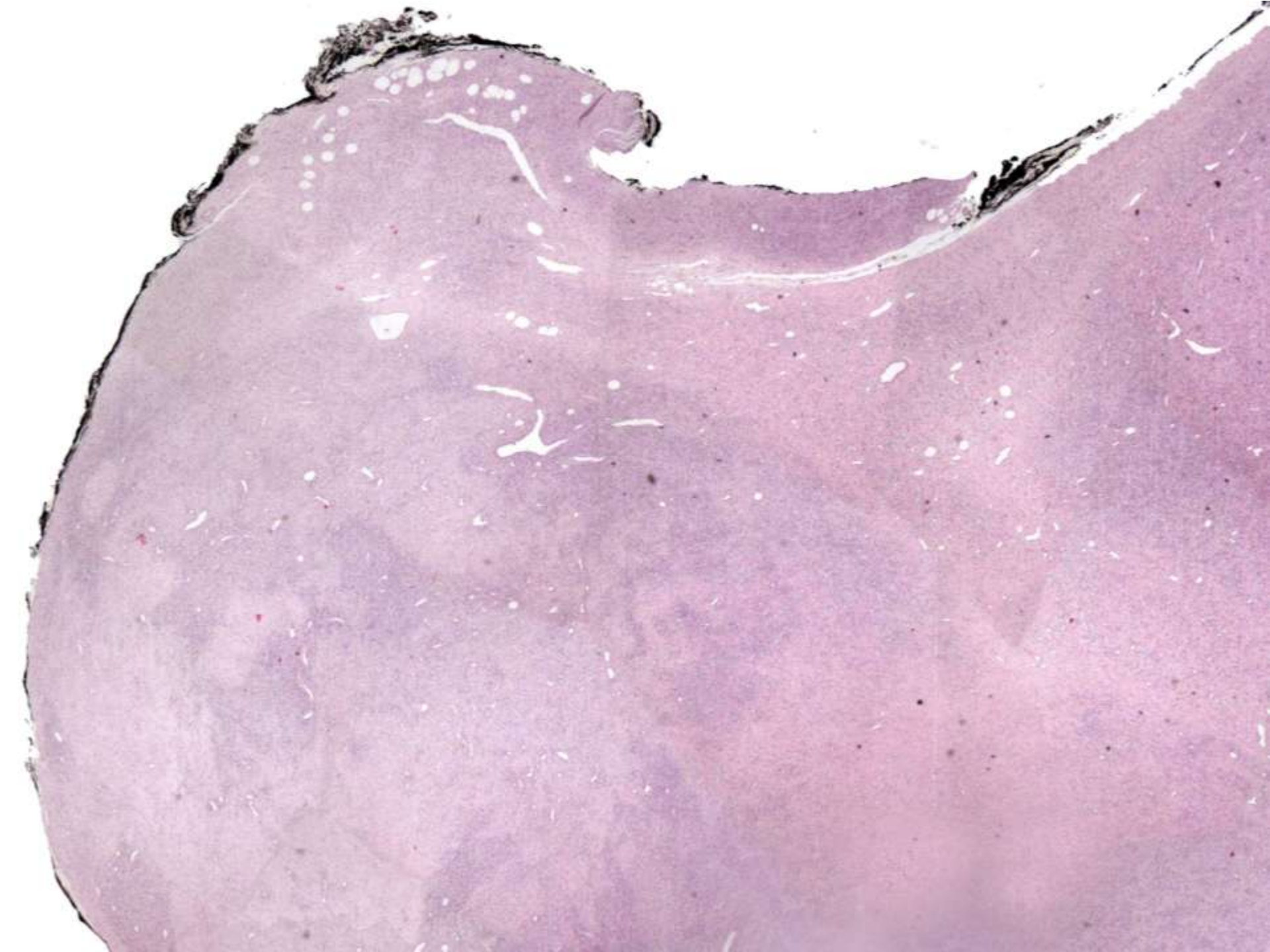
- Congénito o adquirido en la vida adulta
- Probablemente es más correcto considerar esta lesión como una neoplasia benigna que como un hamartoma Por lo tanto, la denominación de fibroma dérmico en placa CD34+ parece más acertada que la de hamartoma dendrocítico en medallón
- Inumohistoquímicamente la lesión expresa CD34. El FXIIIa sólo ha sido positivo en 4 de los 15 casos descritos
- En caso de dificultad para el diagnóstico diferencial histopatológico con un DFSP en placa incipiente, lo mejor es el estudio del gen de fusión col1A1/PDGFB, que resulta negativo en todos los casos de fibroma dérmico en placa CD34+ y positivo en el DFSP

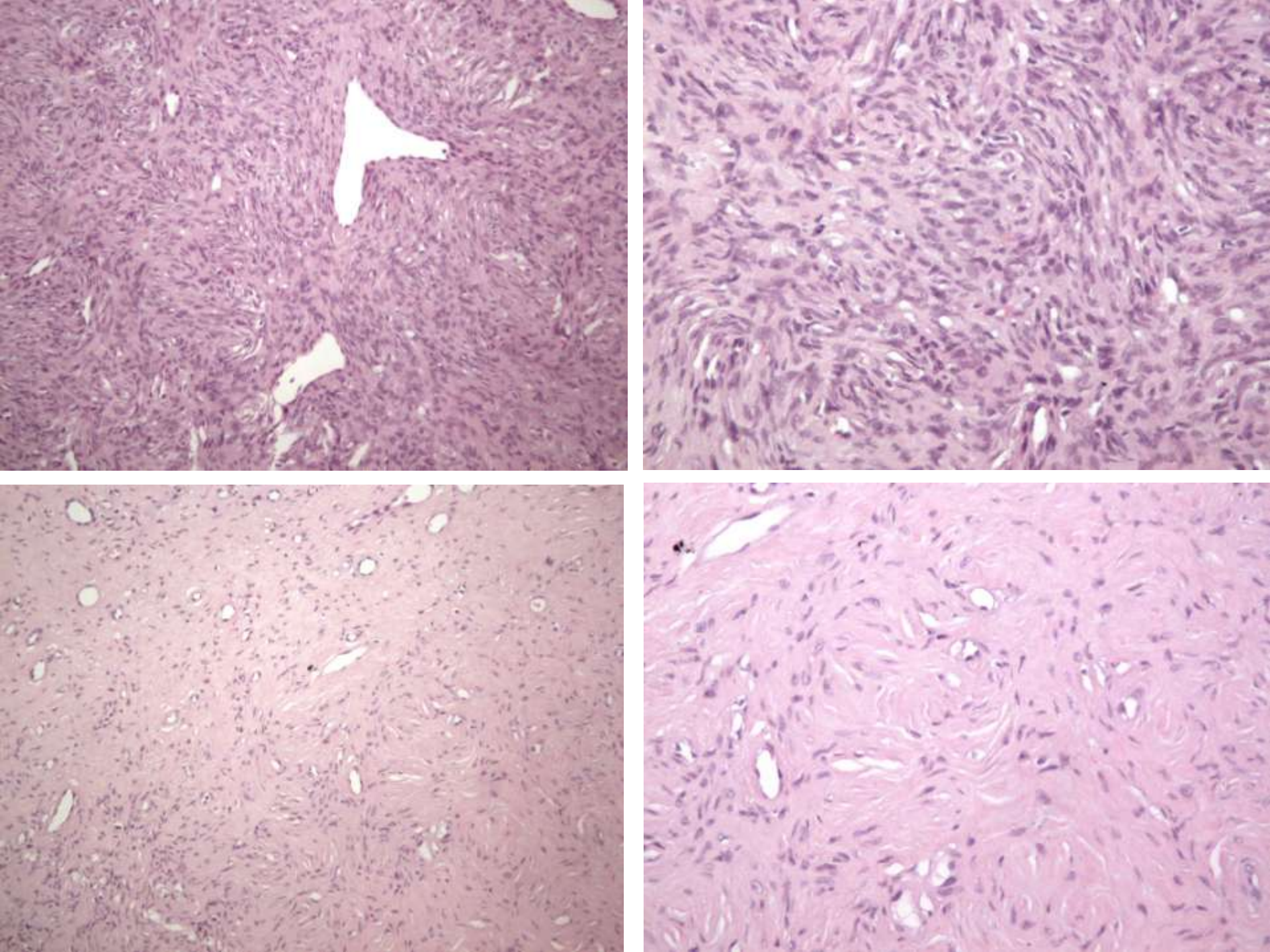
## Diagnóstico diferencial DFSP en placa

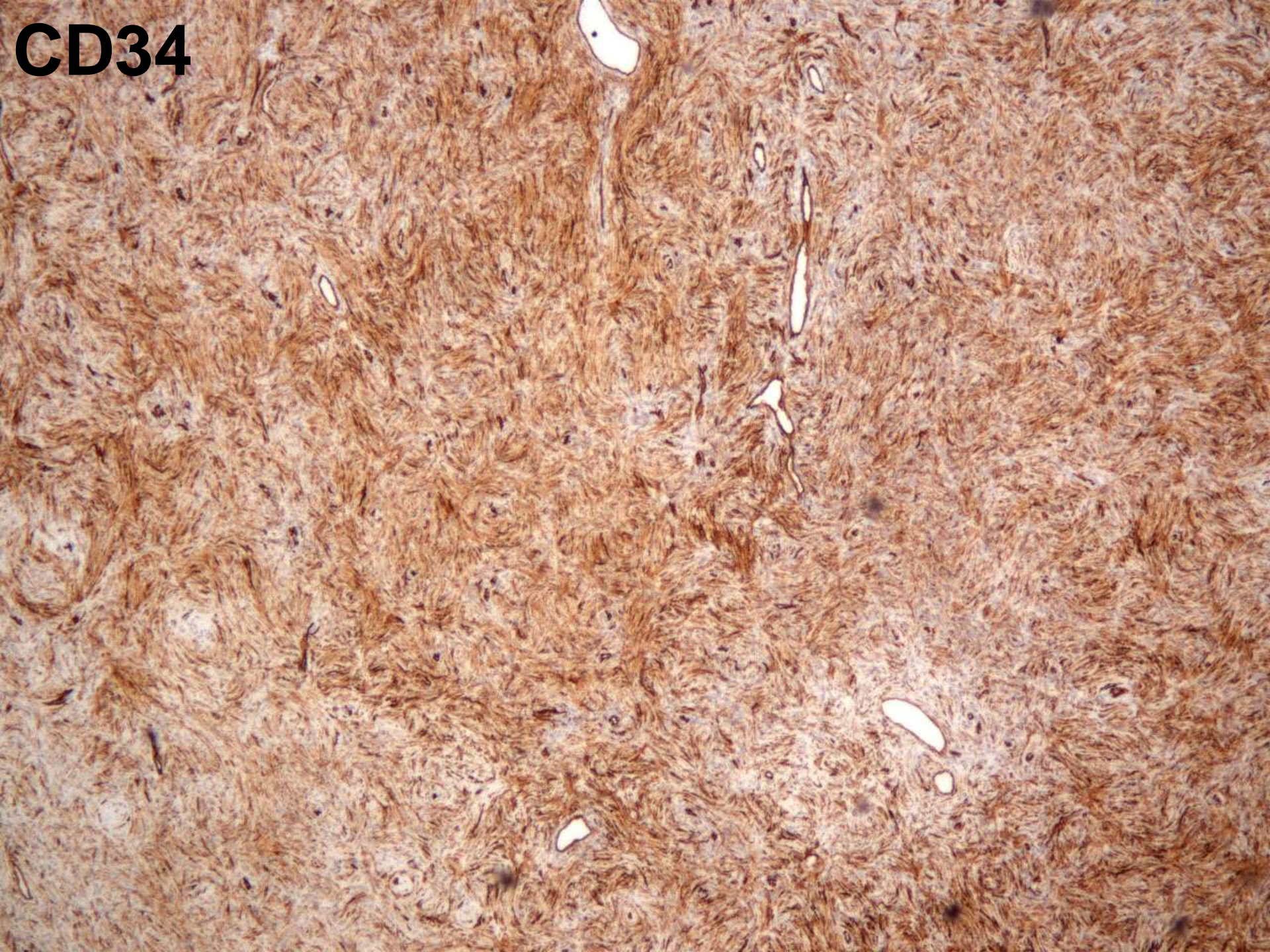












#### REVIEW

### Solitary fibrous tumour and haemangiopericytoma: evolution of a concept

C Gengler & L Guillou University Institute of Pathology, Lausanne, Switzerland

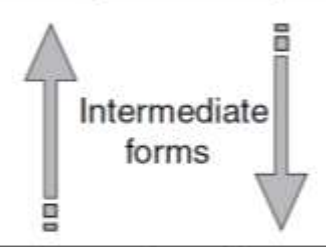
**Table 2.** Solitary fibrous tumour (SFT) spectrum: a reappraisal and a proposal

Old designation	New designation		
Conventional SFT	Fibrous variant of SFT		
Conventional (adult-type) haemangiopericytoma	Cellular variant of SFT		
Lipomatous haemangiopericytoma	Fat-forming variant of SFT		
Giant cell angiofibroma	Giant cell-rich variant of SFT		
Deep fibrous histiocytoma (deep FH)	FH-like variant of SFT?		

### CD34 > CD99 > bcl-2 (EMA, AML-α)

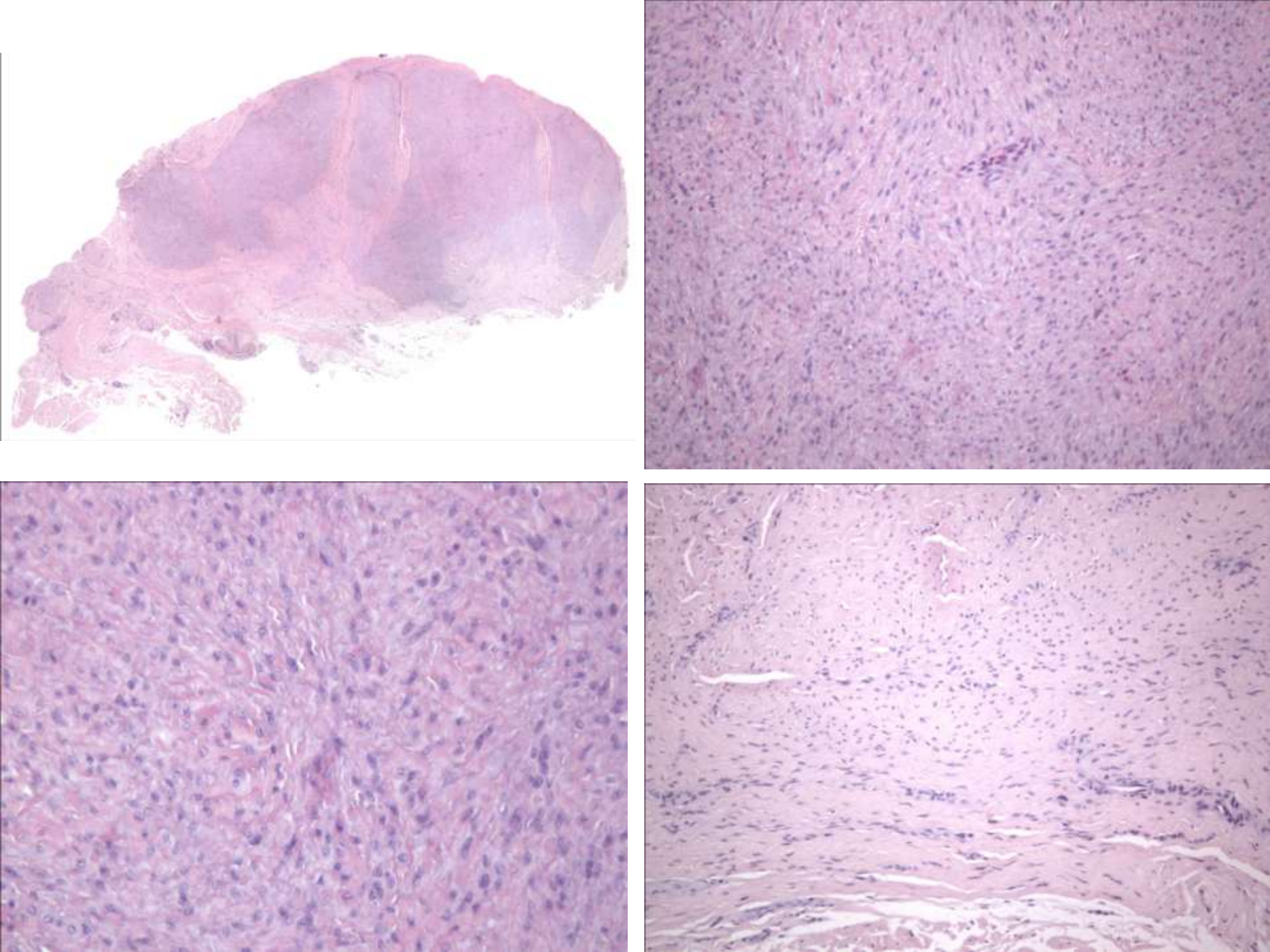
#### Solitary fibrous tumour, fibrous form

Heterogeneous microscopic appearance
Alternating presence of cellular and fibrous areas
Hyalinized, thick-walled vessels with opened lumina
Keloidal collagen
Strong CD34 reactivity



Monotonous microscopic appearance
Moderate to high cellularity
Little intervening fibrosis
Thin-walled branching vessels
CD34 reactivity focal or absent
Solitary fibrous tumour, cellular form
(previously called haemangiopericytoma)





### Fibromatosis superficiales

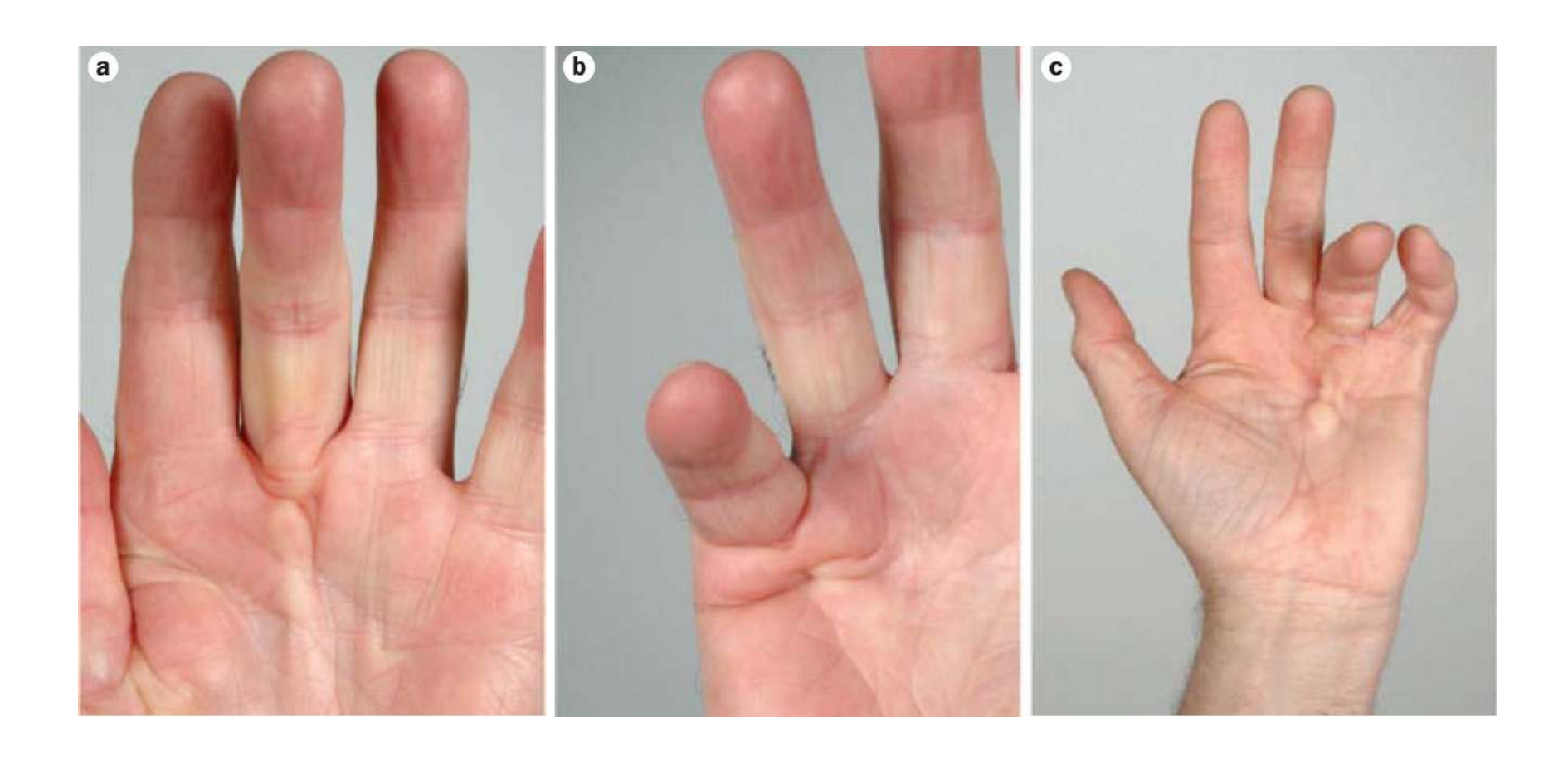
Palmar: Dupuytren

Plantar: Ledderhose

Pene: Peyronie

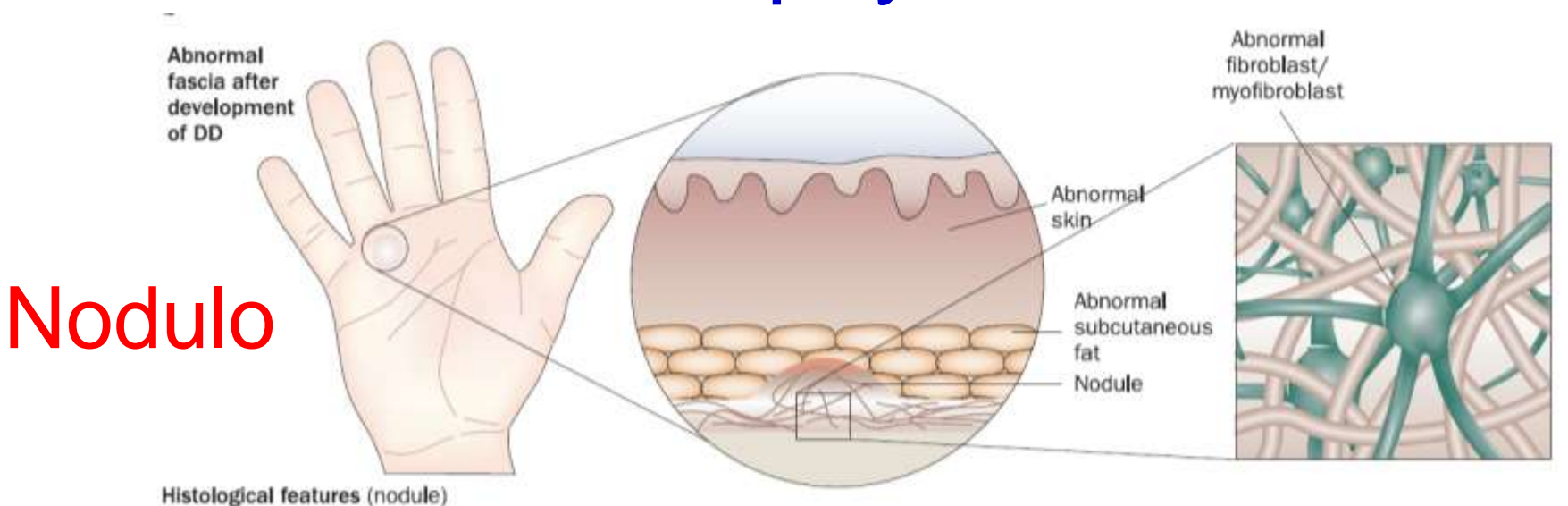
# Scientific understanding and clinical management of Dupuytren disease

Barbara Shih and Ardeshir Bayat



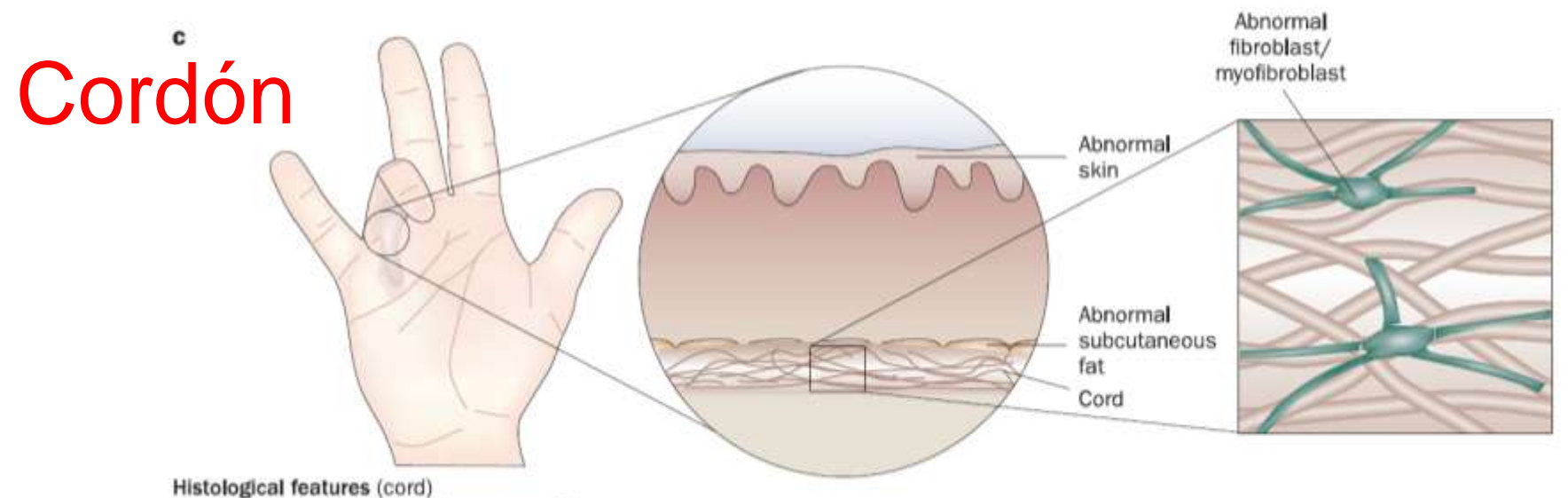
Nat. Rev. Rheumatol. 6, 715-726 (2010)

### Dupuytren



Rich in fibroblasts

· Fibroblasts are not aligned along lines of stress



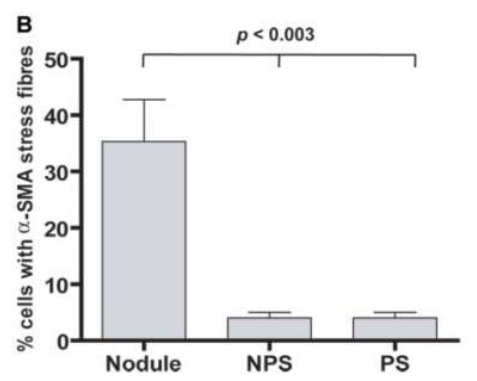
· Alignment of fibroblasts along stress fibers

· Reduced cellularity

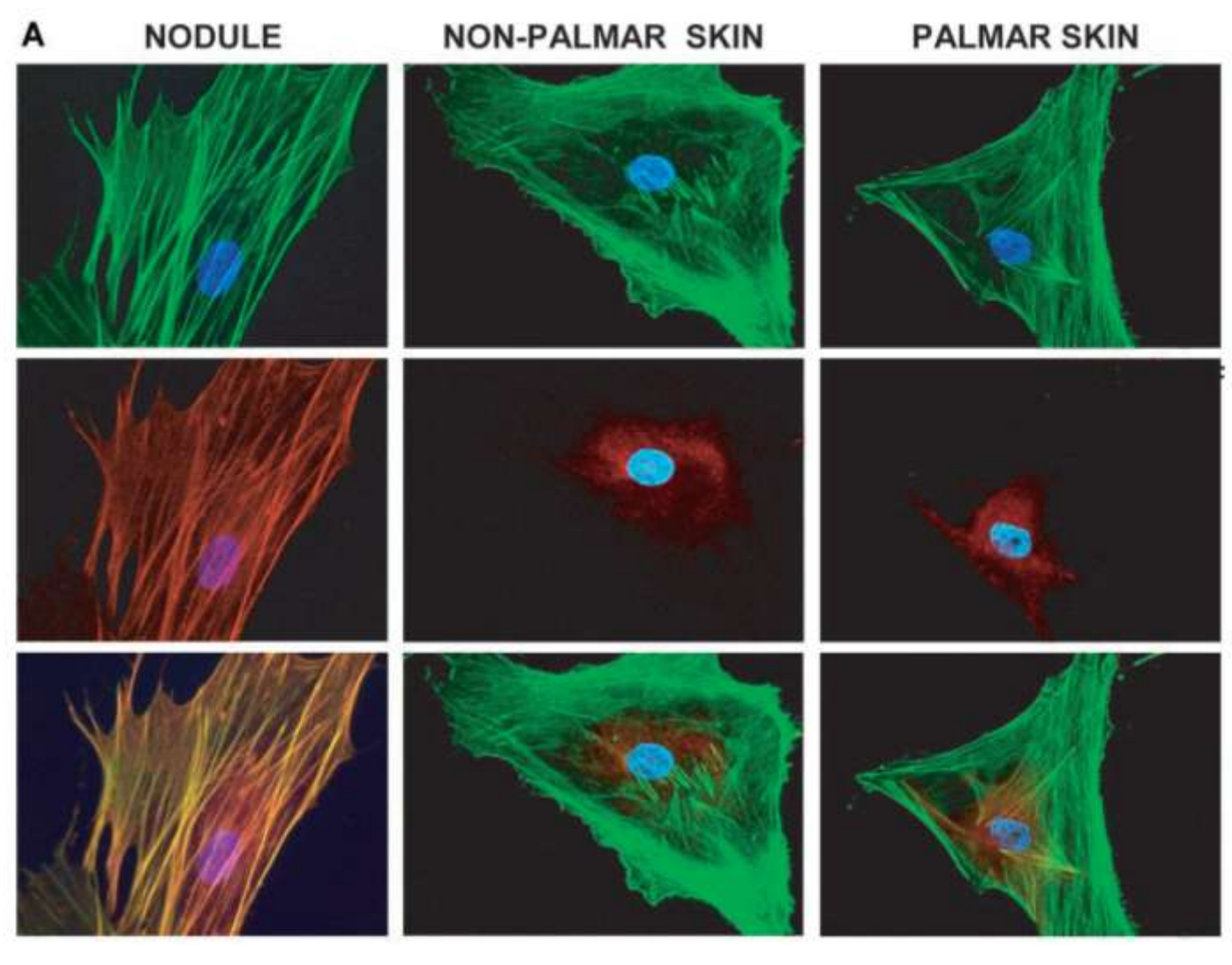
J. Cell. Physiol. 224: 681-690, 2010.

# Post-Transcriptional Regulation of α-Smooth Muscle Actin Determines the Contractile Phenotype of Dupuytren's Nodular Cells

LIAQUAT SULEMAN VERIEE.<sup>19</sup> KIM MIDWOOD.<sup>2</sup> DOMINIQUE DAVIDSON.<sup>2</sup> MARK EASTWOOD.<sup>2</sup> AND JAGDEEP NANCHAHAL<sup>2</sup>



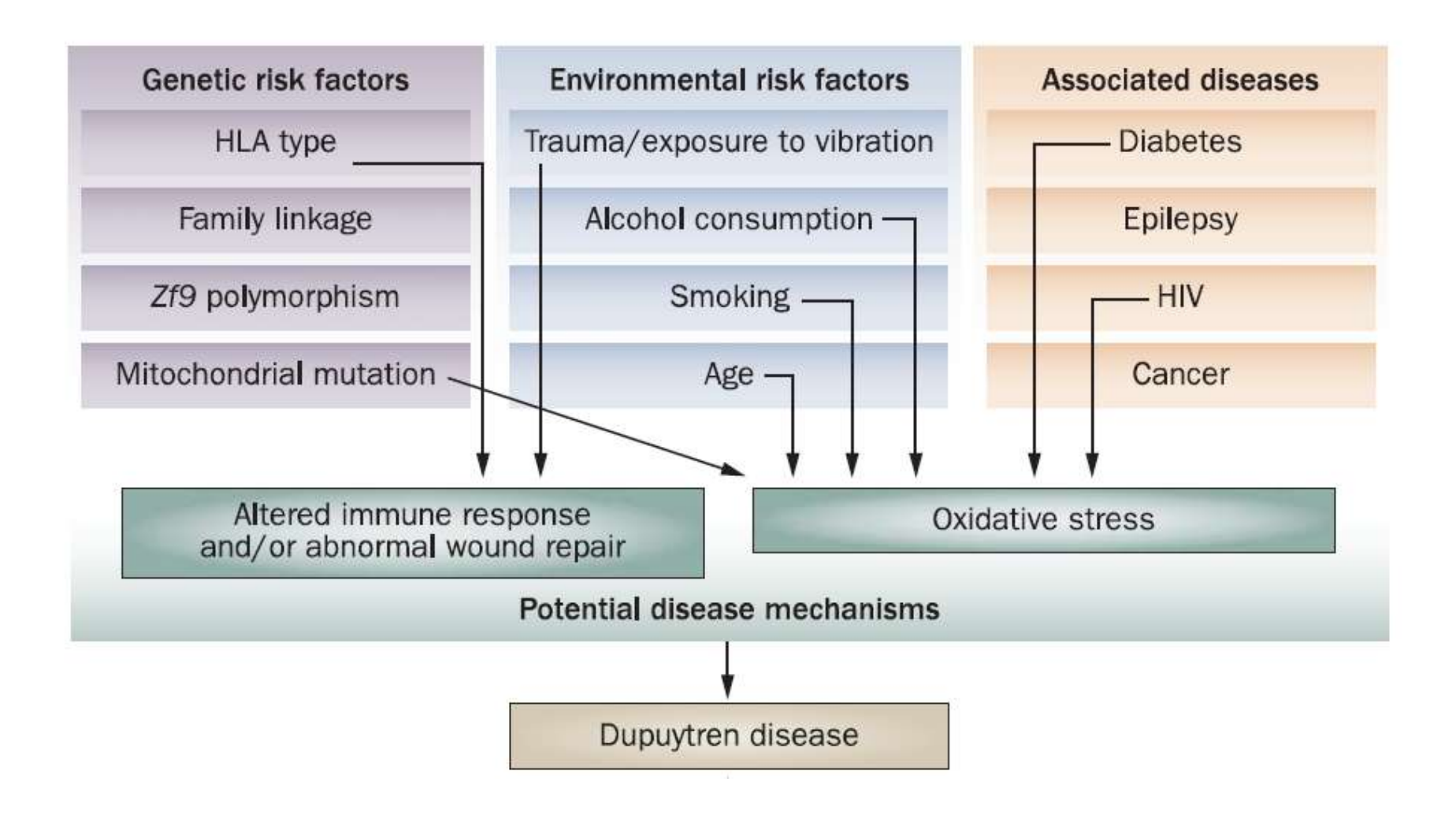
### Dupuytren

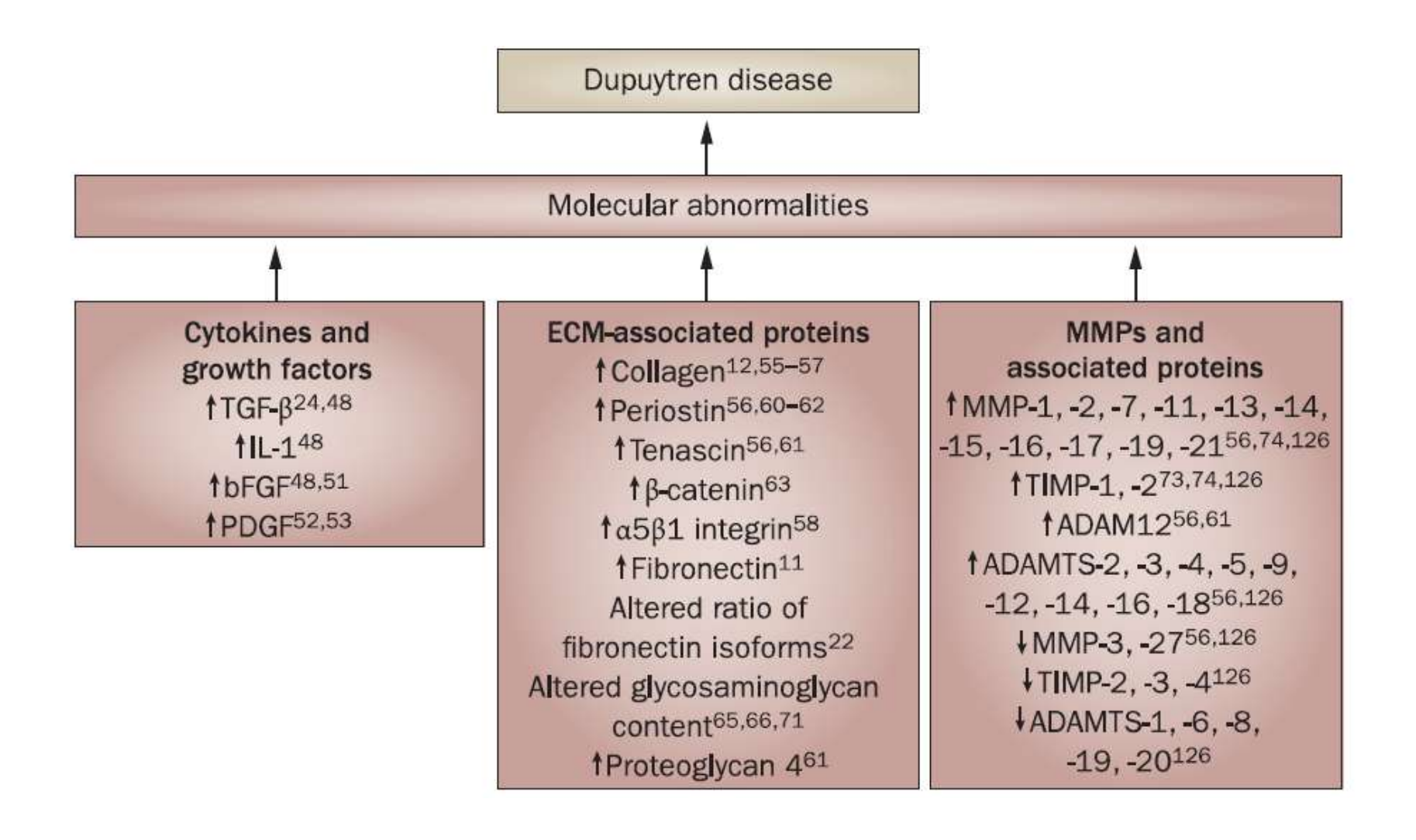


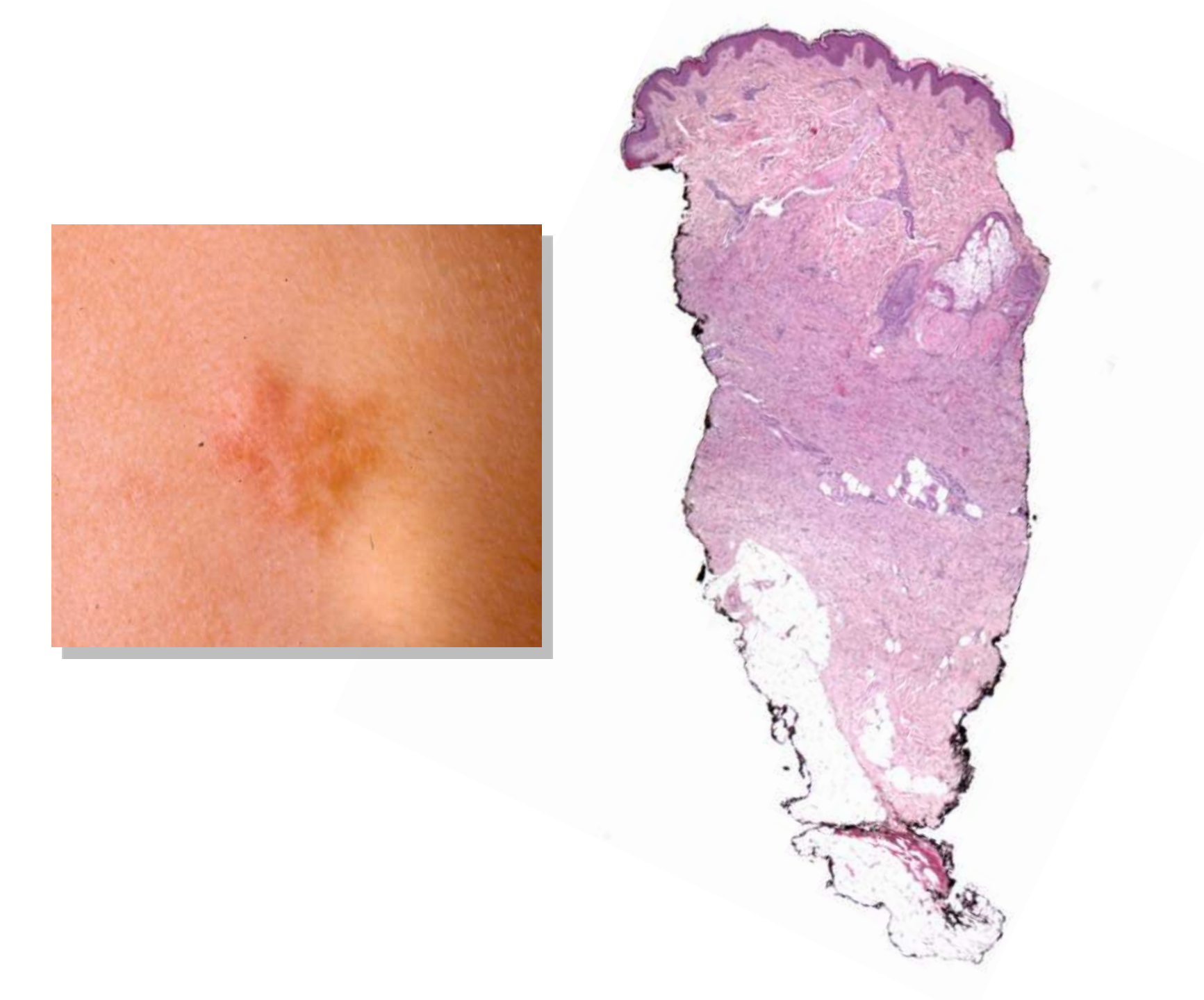
Rojo: AML- α

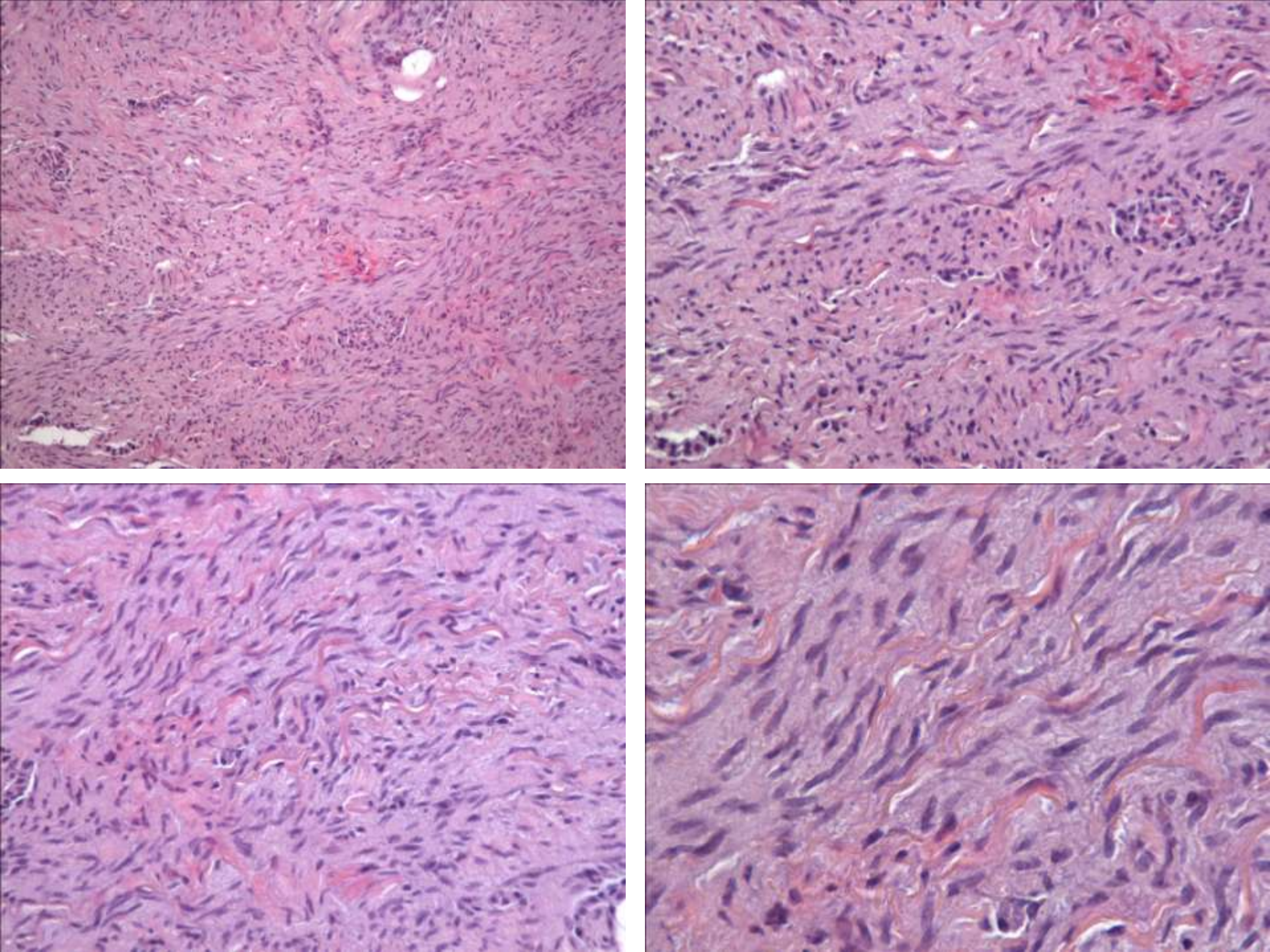
Verde: Faloidina

#### Dupuytren

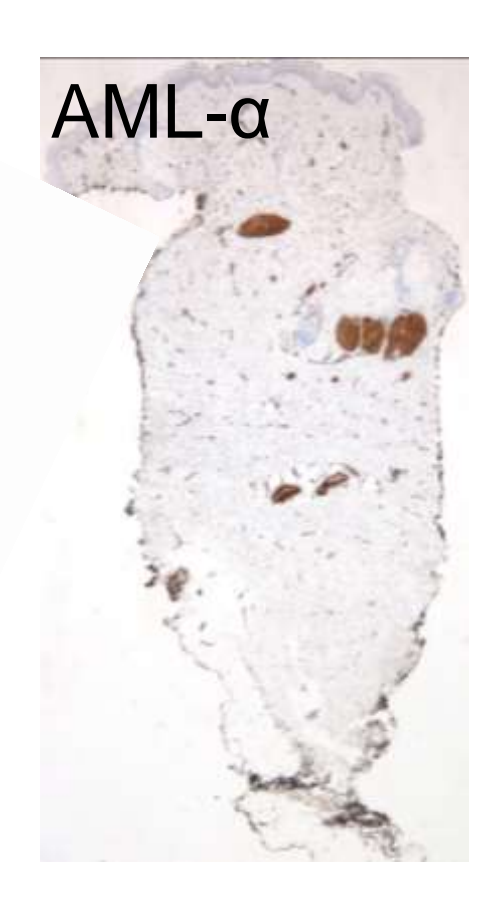


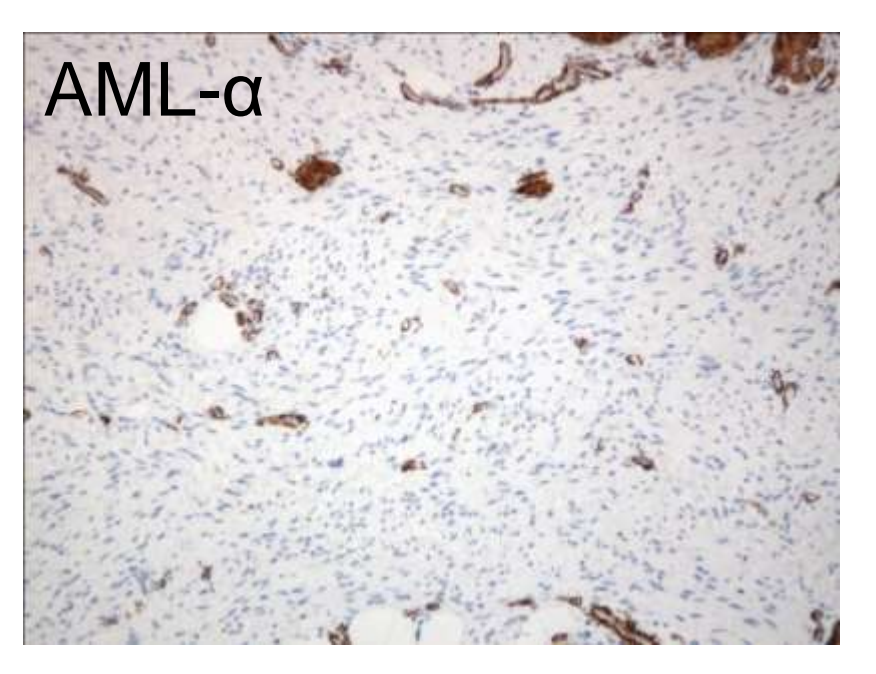


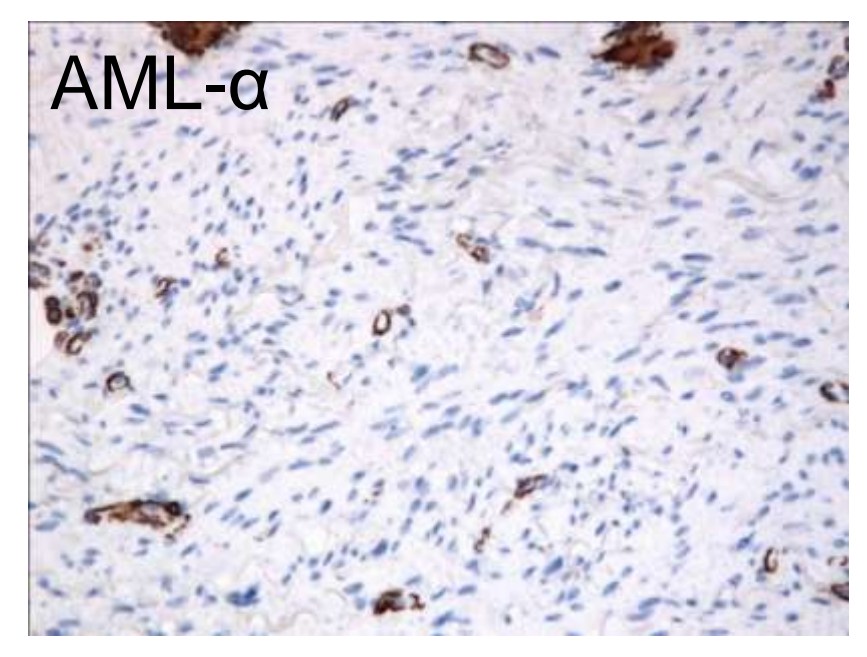


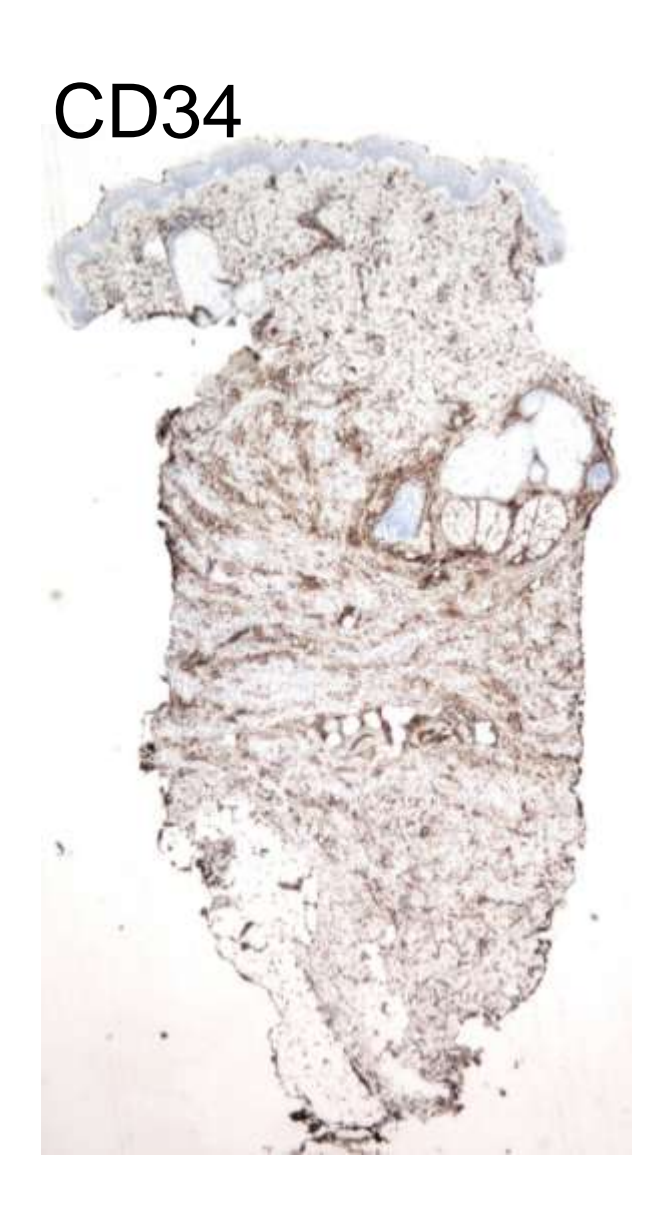


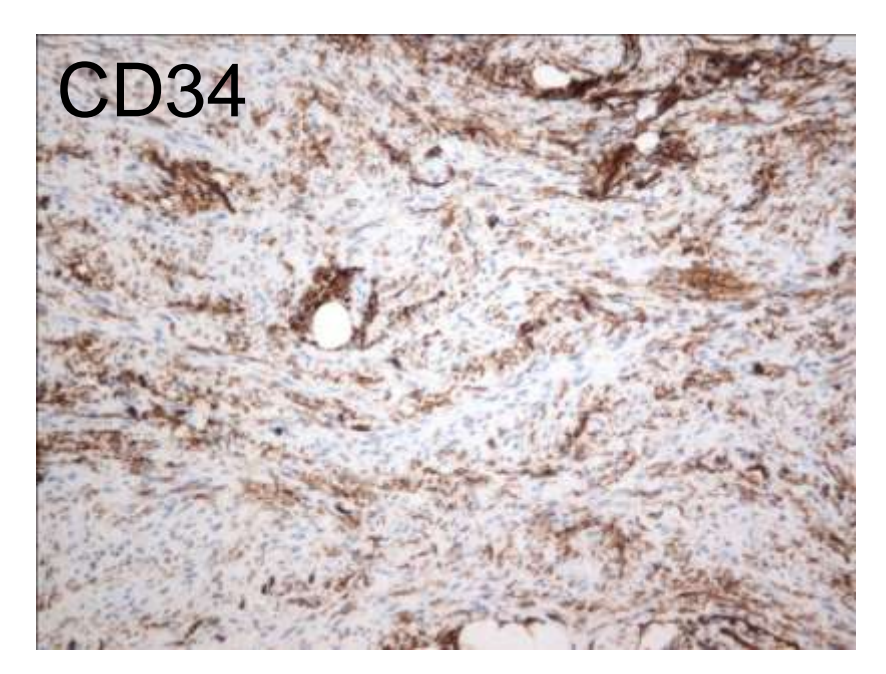


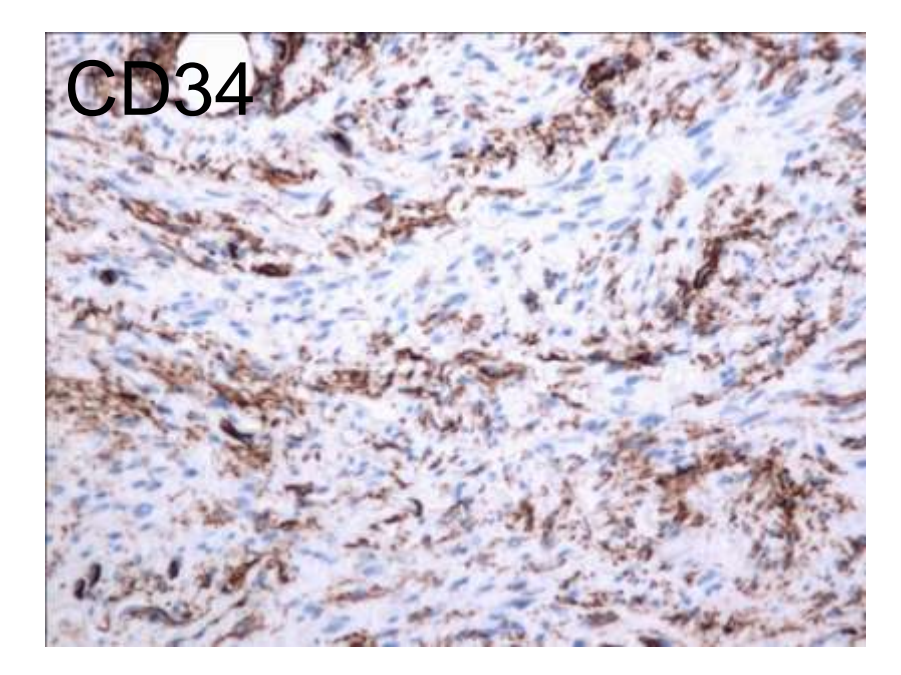








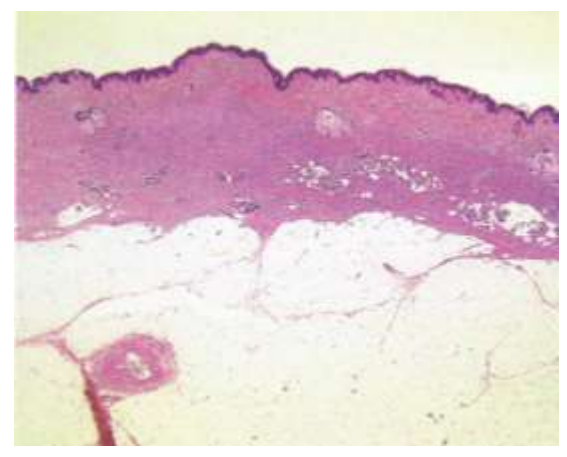


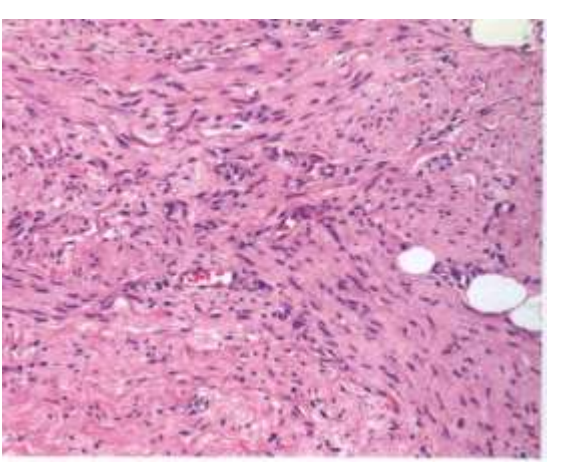


# DERMATOMIOFIBROMA (se le llamó fibromatosis en placa)

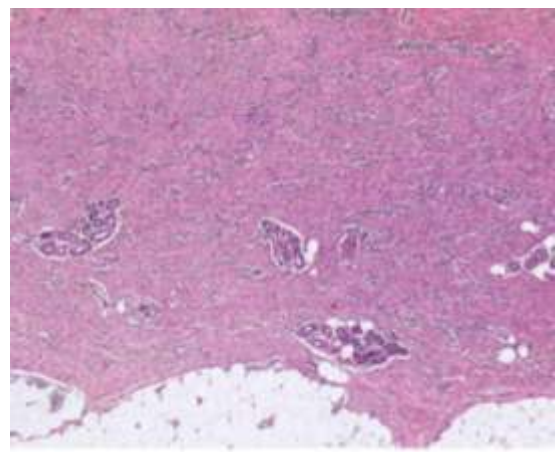
#### Dermatomyofibroma: Clinicopathologic and Immunohistochemical Analysis of 56 Cases and Reappraisal of a Rare and Distinct Cutaneous Neoplasm

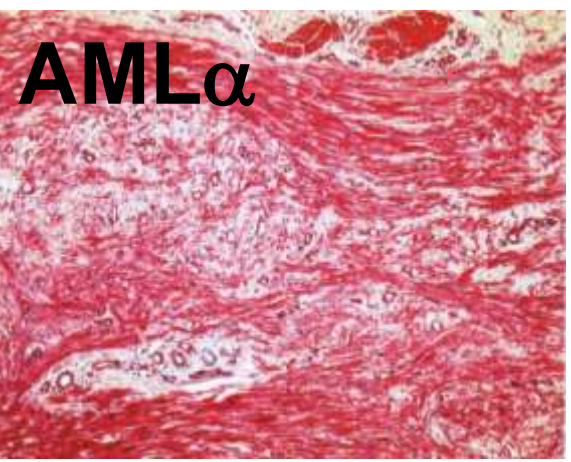
Thomas Mentzel, MD and Heinz Kutzner, MD





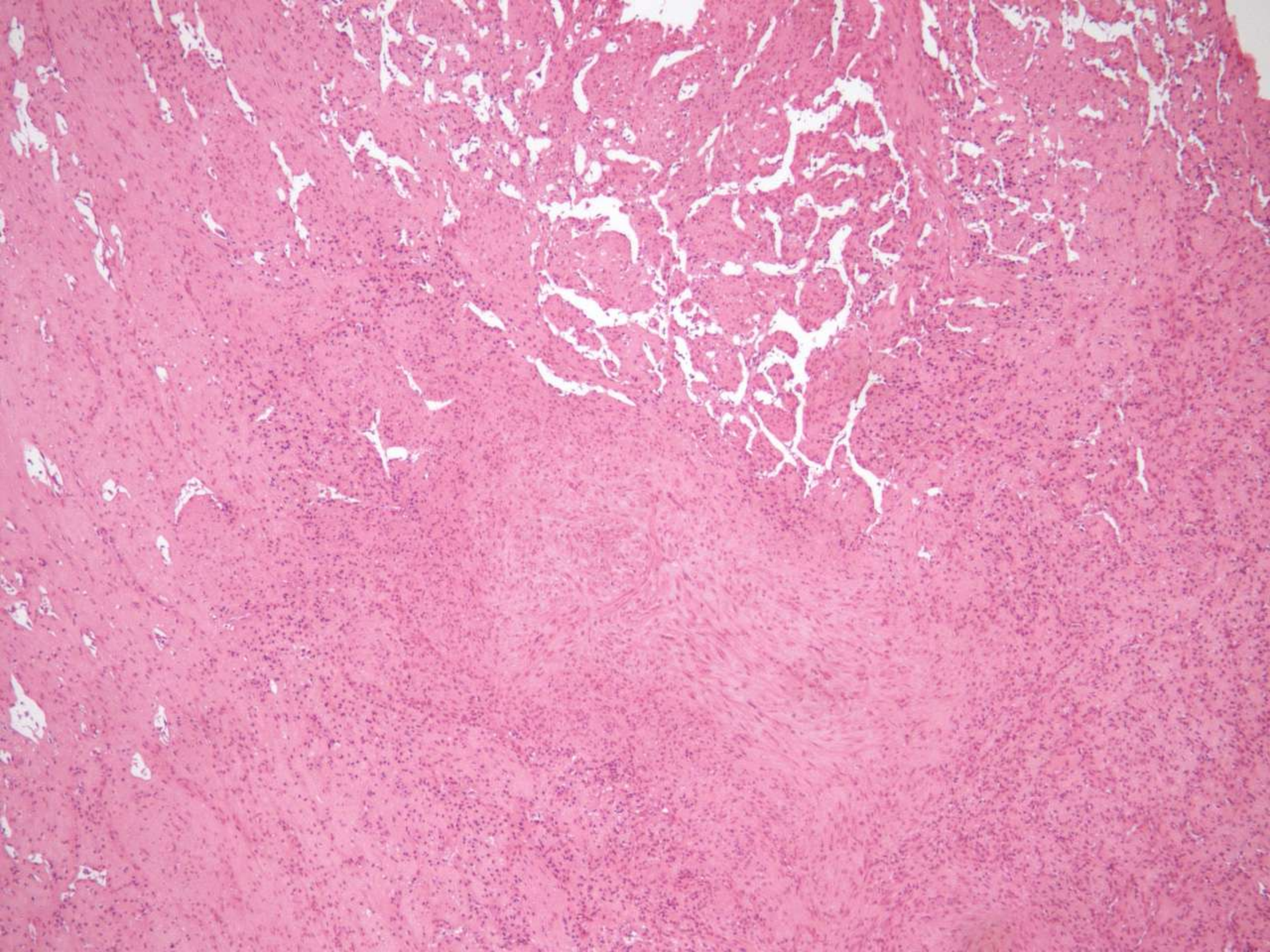
Niños y adultos Hombros, brazo, cuello, espalda, muslo... No recidiva

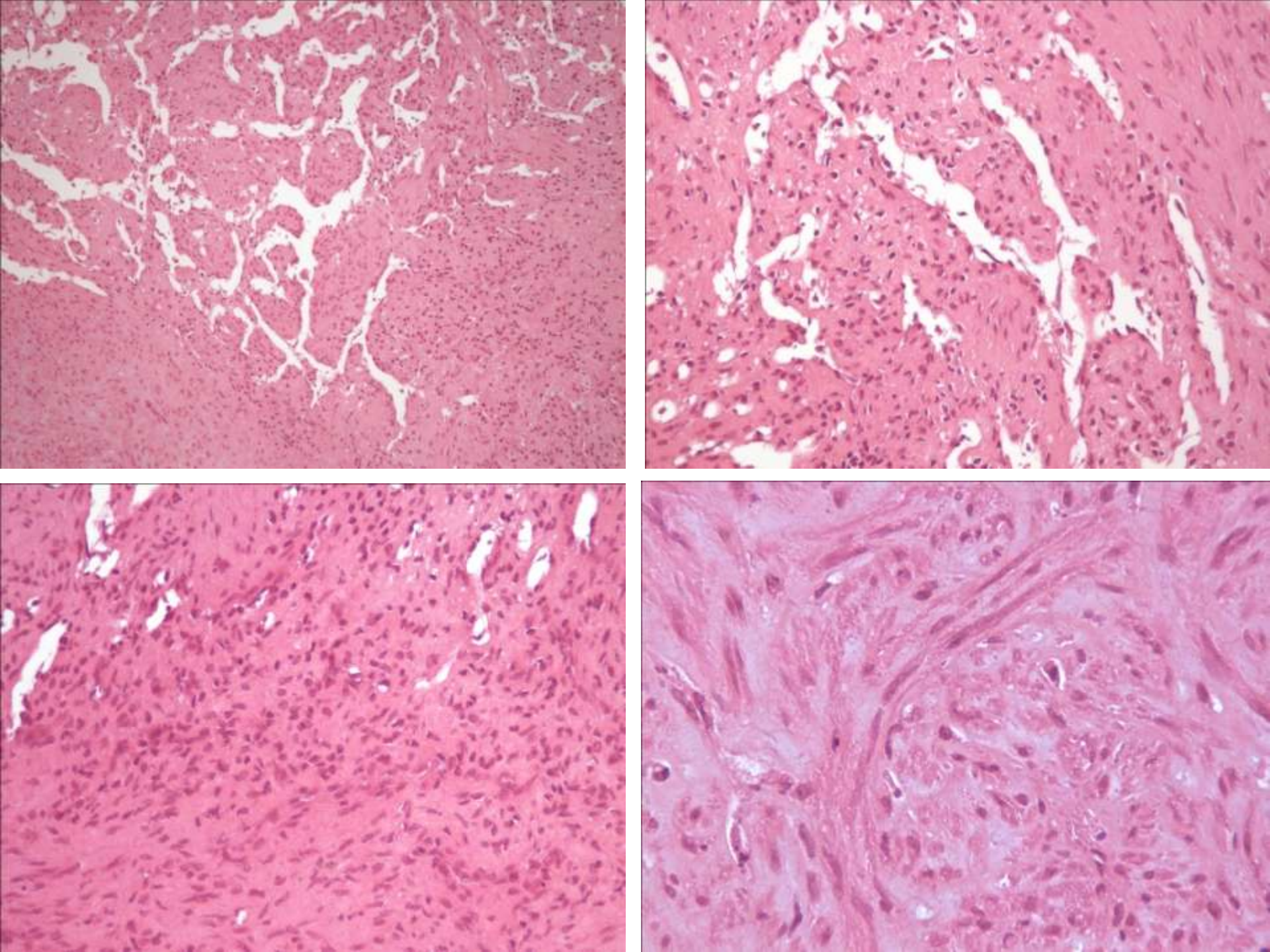


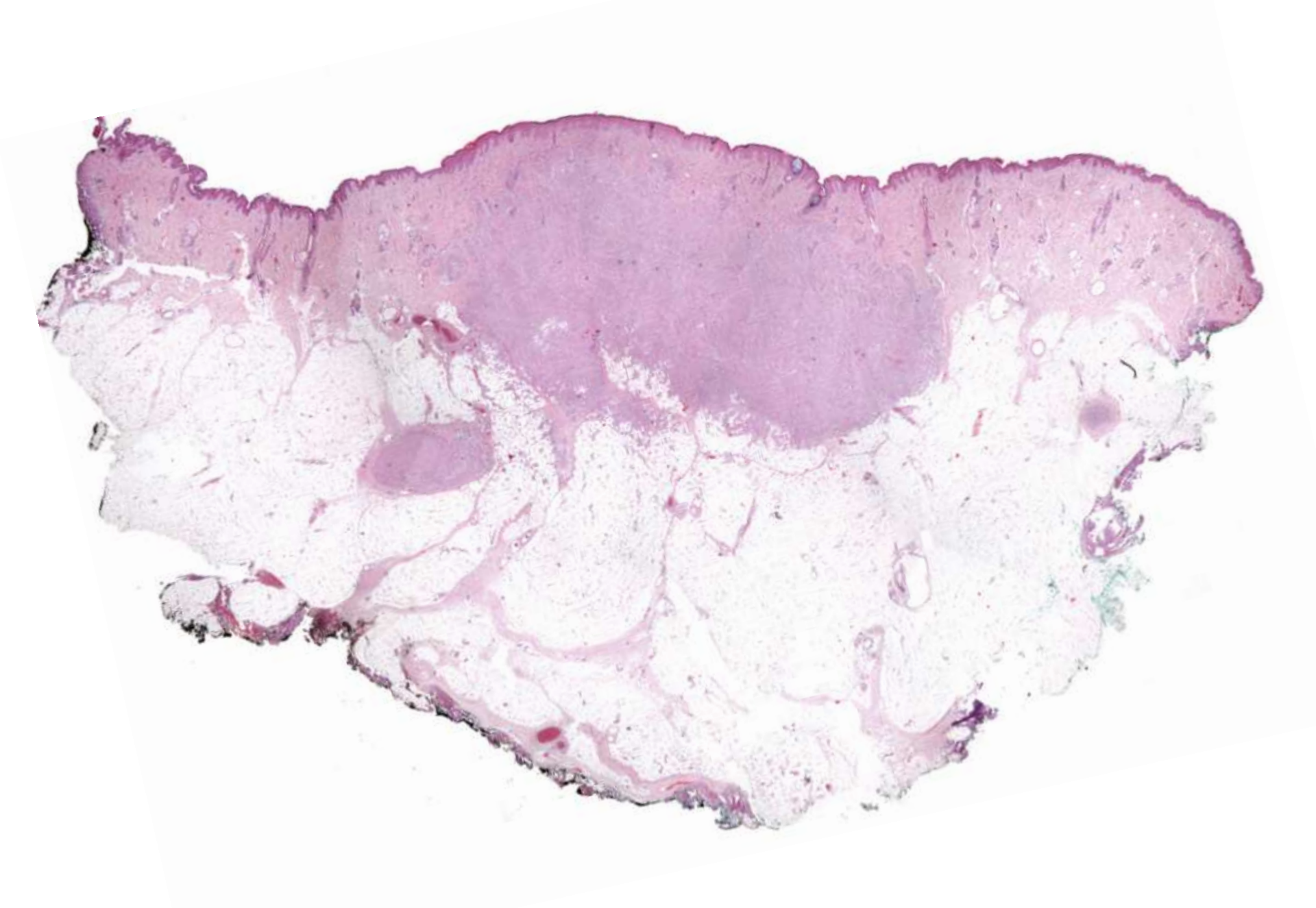


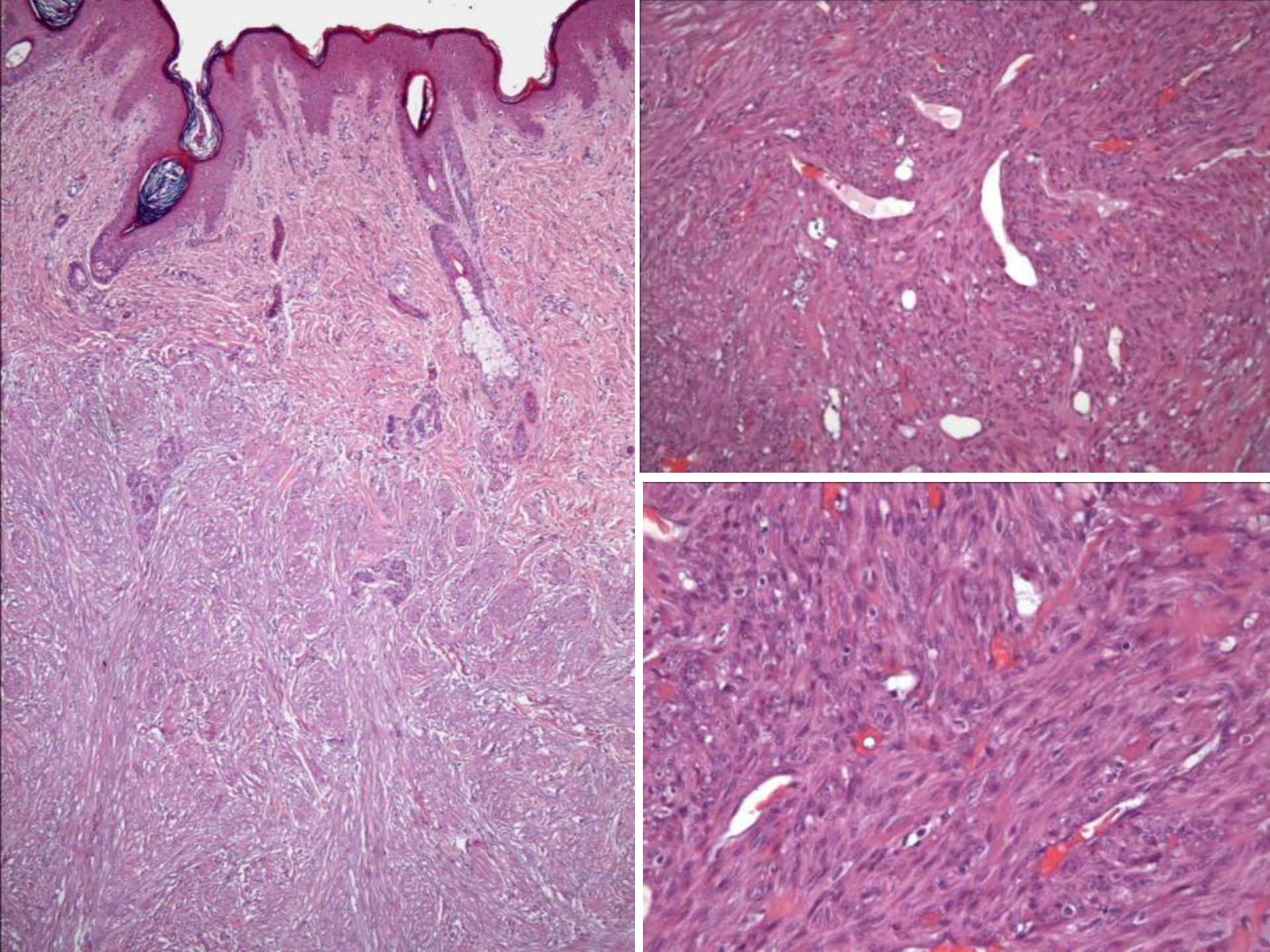
¡¡AML-α: <sup>3</sup>/<sub>4</sub> negativo o focal!!











### **Miofibromatosis infantil**

#### **Miofibromatosis infantil**

- El tumor fibroso más frecuente de la infancia
- Niños < 2 años. Congénitos 60%</li>
- Formas:
  - Solitaria
  - Múltiple
  - Generalizada: afectación visceral (pulmón) peor pronóstico
- Clínicamente: nódulo/s sugestivos de tumor vascular
- Nódulos de unos 2 cm, con frecuente necrosis central y/o áreas hemorrágicas
- Zonación:
  - Periferia: fusocelular-mioide +/- hialinización
  - Central: células redondas, poligonales o fusiformes, con núcleos hipercrómicos + vasos hemangiopericíticos +/- necrosis + crecimiento intravascular subendotelial (polipoide). Generalmente escasas mitosis (en algunos casos pueden ser numerosas)
- Las formas solitaria y múltiple regresan espontáneamente con frecuencia
- Positividad: actina muscular, desmina, S-100
- D. Diferencial: Fibrosarcoma infantil

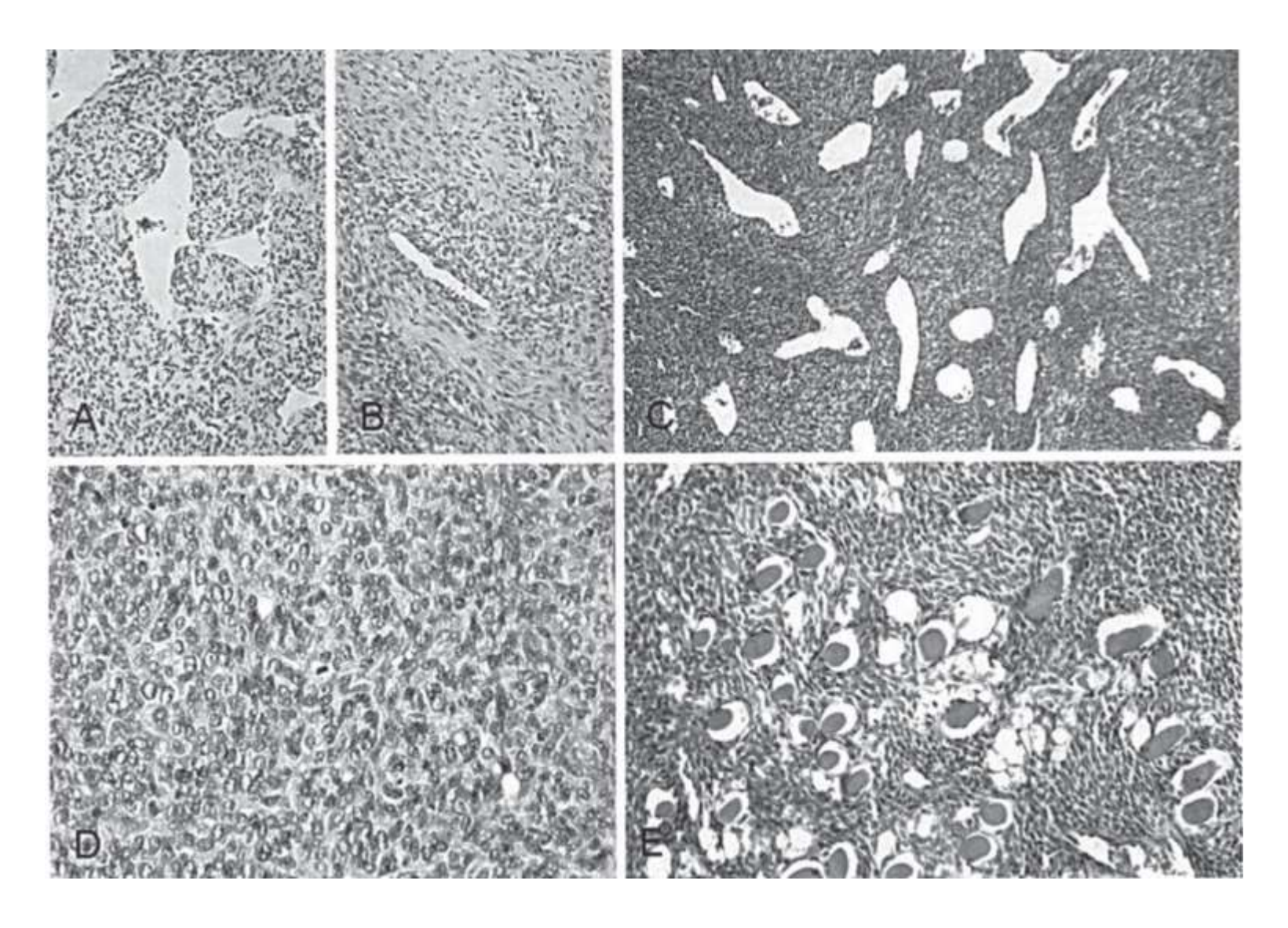
DOI: 10.2350/07-09-0355.1

© 2008 Society for Pediatric Pathology

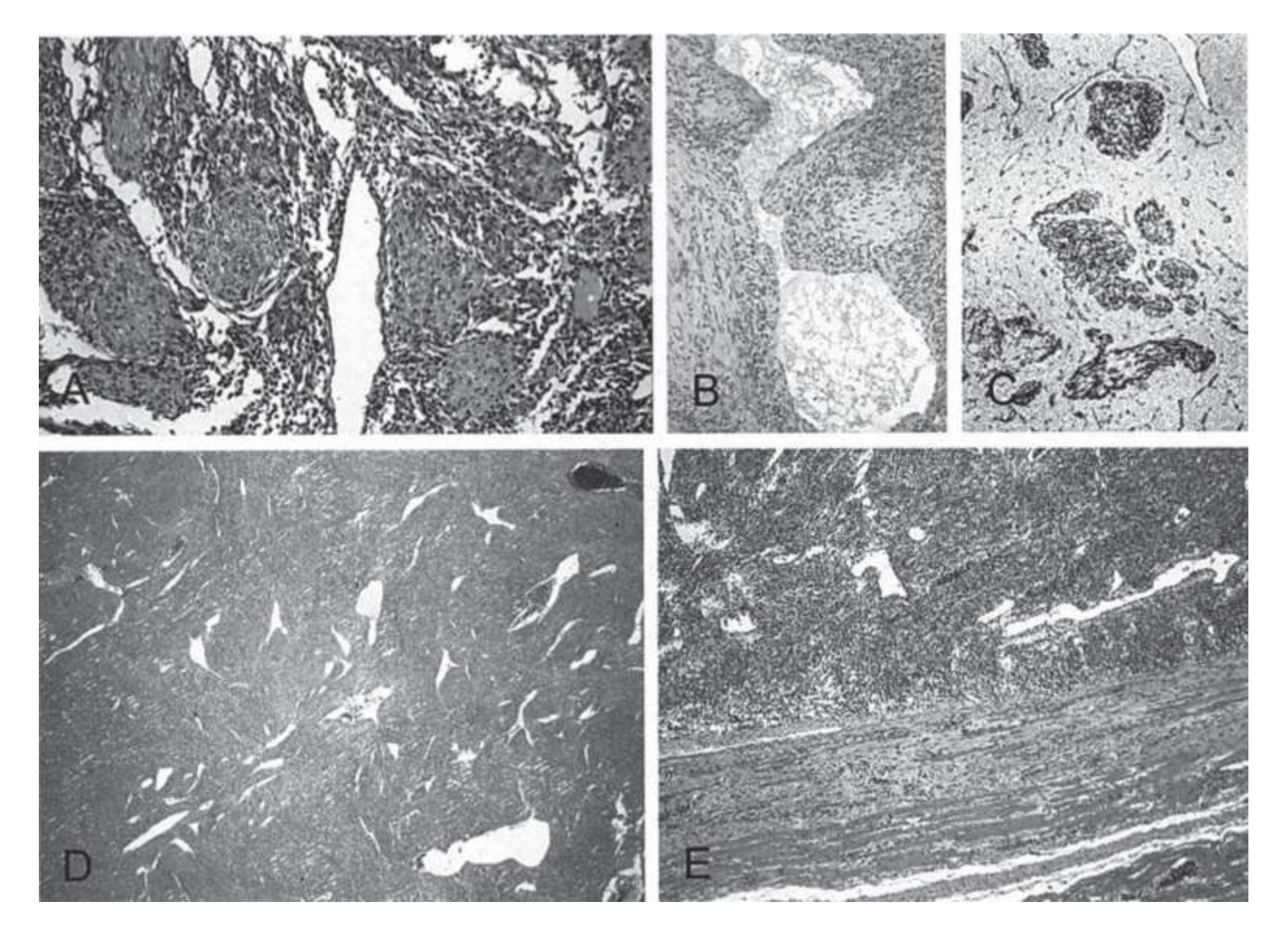
#### Morphologic Overlap between Infantile Myofibromatosis and Infantile Fibrosarcoma: A Pitfall in Diagnosis

RITA ALAGGIO, DONATELLA BARISANI, VITO NINFO, ANGELO ROSOLEN, AND CHERYL M. COFFIN4\*

Describen solapamiento de ambas entidades, con casos indeterminados morfológicamente ("compuestos"), y que requieren estudio de la fusión génica del fibrosarcoma infantil para ser tipificados



Miofibromatosis infantil "compuesta"



Fibrosarcoma infantil

#### Fibrosarcoma infantil

- Raro. Niños menores de 3 años
- Profundos o superficiales, en extremidades > troncocabeza-cuello
- Masas lobulares de límites imprecisos, con agresividad local y recidivas pero muy excepcionales metástasis
- Fascículos de células fusiformes y rara vez redondas, con núcleos grandes pero uniformes
- La fracción de proliferación puede ser alta
- Frecuentes áreas de necrosis y hemorragia, así como vasos hemangiopericíticos
- Variable positividad para actina muscular lisa y desmina
- Translocación t(12;15)(p13;q25) con fusión génica ETV6-NTRK3 (activación oncogénica de NTRK3)

### **SARCOMAS**

#### **FS-DFSP**

fibromixoide bajo grado mixofibrosarcoma

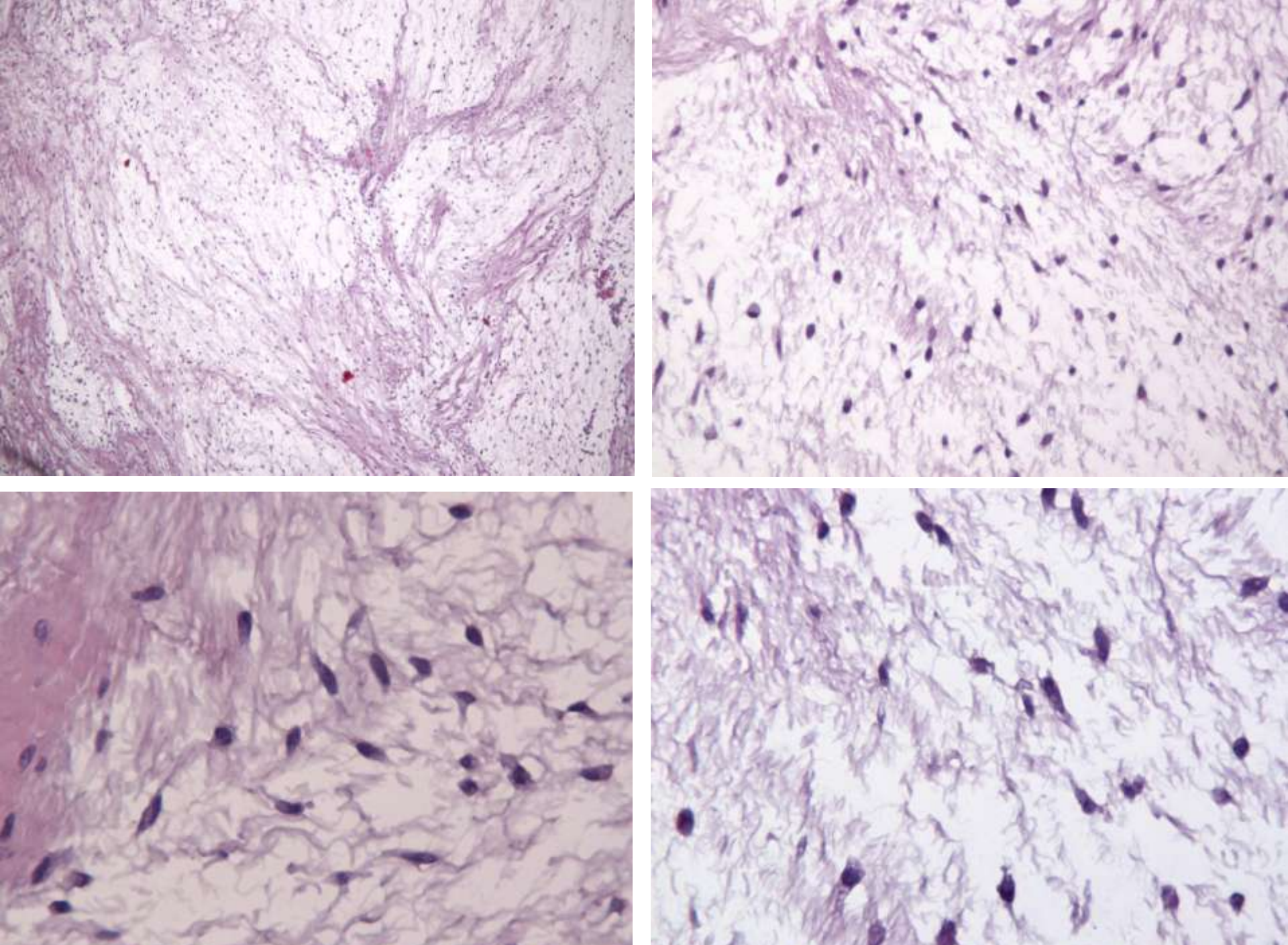
fibrosarcoma infantil

**Fibrosarcoma** 

miofibrosarcoma

sinovial

mixoinflamatorio acral

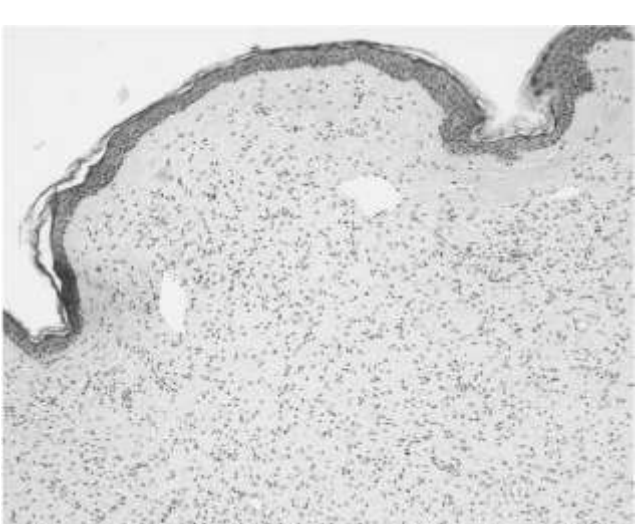


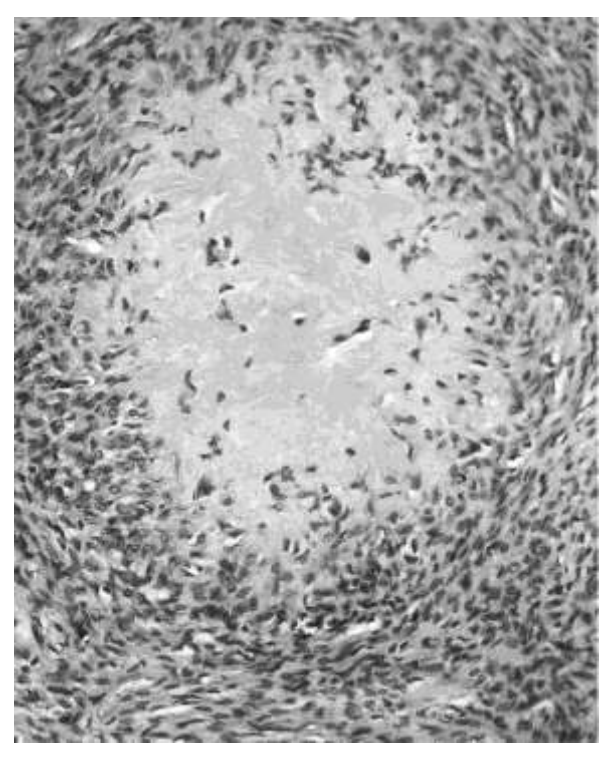
## Superficial Low-grade Fibromyxoid Sarcoma (Evans Tumor)

A Clinicopathologic Analysis of 19 Cases With a Unique Observation in the Pediatric Population

Steven D. Billings, MD,\* Georgeta Giblen, MD,† and Julie C. Fanburg-Smith, MD,‡



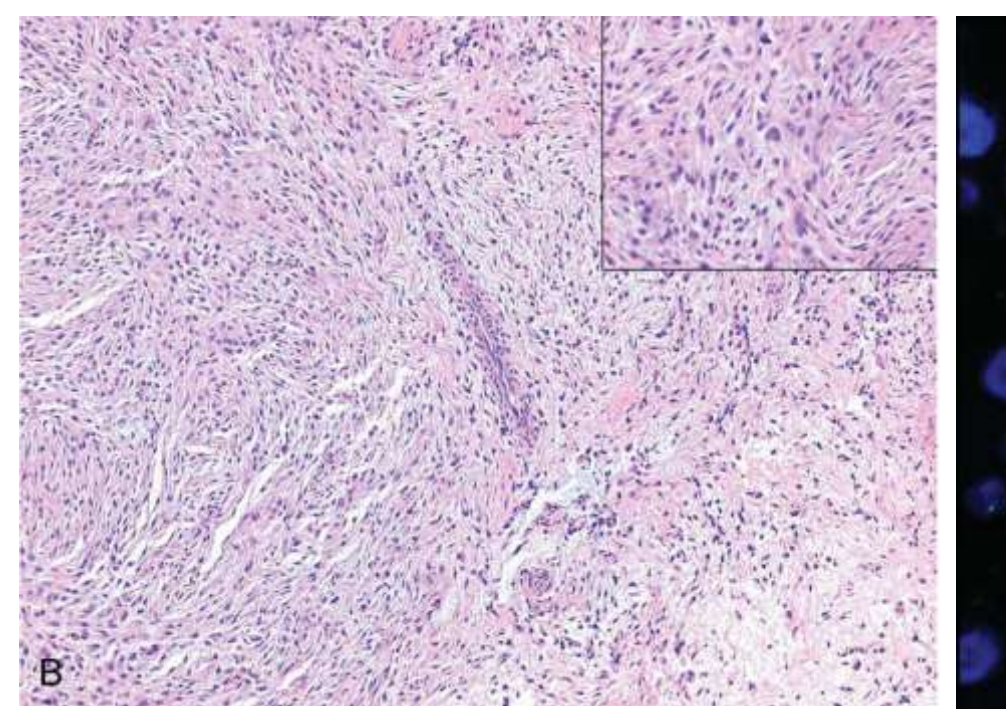


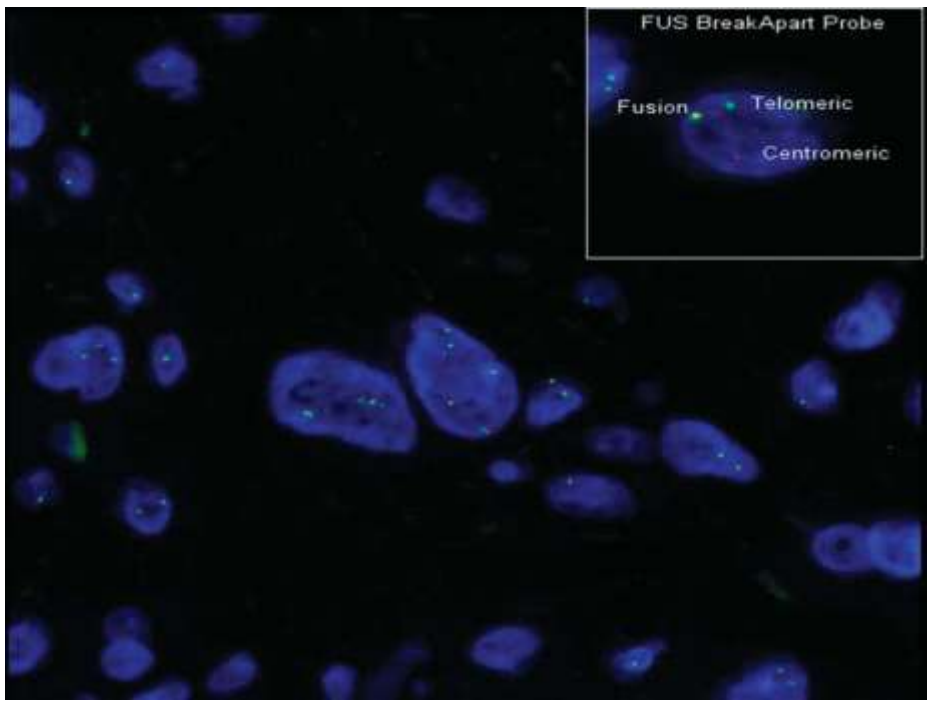


#### Sarcoma fibromixoide de bajo grado SUPERFICIAL

- Jóvenes y <u>niños (37%)</u>
- Extremidades inferiores > nalgas > tronco
- Subcutáneos (raros dérmicos). Clínicamente aspecto benigno
- Masas bien circunscritas
- Celularidad escasa a moderada
- Células fusiformes, ovales o estrelladas, poco atípicas
- Mitosis muy escasas (0-6 /50 campos). Necrosis isquémica (1/3)
- Patrones: arremolinado, estoriforme, fascicular
- Matriz mixoide y colágena (interfase abrupta o en transición)
- Rosetas colágenas en 1/3 casos. Menos frecuente la variante fusocelular hialinizante con rosetas gigantes
- Vasos curvilíneos o ramificados (más numerosos en áreas mixoides que en las más colágenas)
- Focal positividad: actina muscular lisa α, actina muscular específica, EMA y CD68. Negativas: desmina, S-100, y CD34
- Excepcional recidiva. Prácticamente NO metástasis
- Translocación t(7;16)(q34;p11) con <u>fusión génica FUS/CREB3L2</u> (67%)

Rajiv M. Patel, MD,\*† Erinn Downs-Kelly, DO,‡ Monisha N. Dandekar, MD,\*
Julie C. Fanburg-Smith, MD,§ Steven D. Billings, MD,‡ Raymond R. Tubbs, DO,¶
and John R. Goldblum, MD‡





Rajiv M. Patel, MD,\*† Erinn Downs-Kelly, DO,‡ Monisha N. Dandekar, MD,\*
Julie C. Fanburg-Smith, MD,§ Steven D. Billings, MD,‡ Raymond R. Tubbs, DO,¶
and John R. Goldblum, MD‡

TABLE 1	FISH	Results	for	<b>FUS</b>	Rearrangements	in	<b>LGFMS</b>
---------	------	---------	-----	------------	----------------	----	--------------

Case Number	Cells Positive for FUS (16p11) Rearrangement, (%)	Result	
1	72*	Positive	
2	6	Negative	
3	78*	Positive	
4	2	Negative	
5	80*	Positive	
6	78*	Positive	

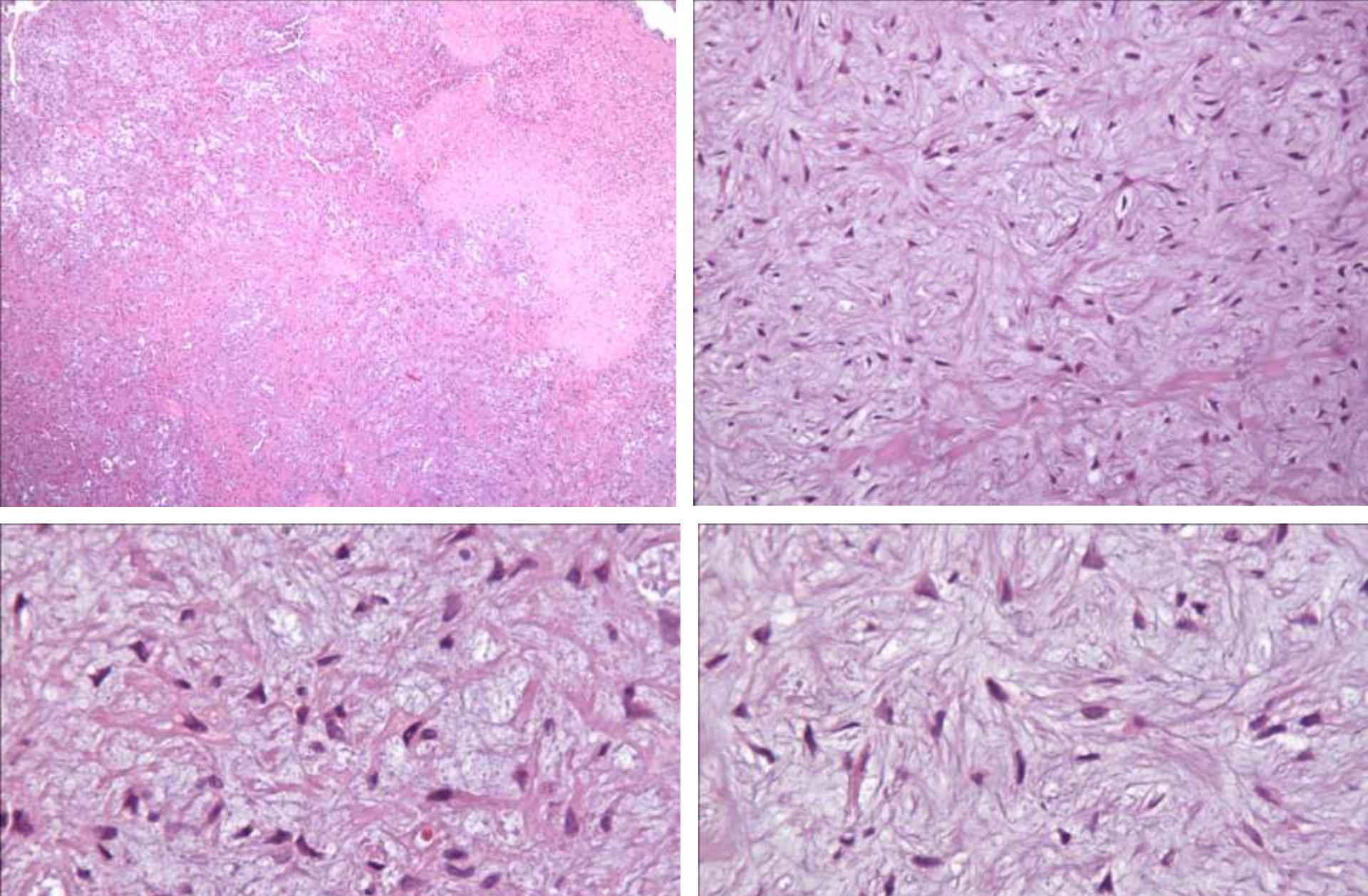
\*Mean: 77% positive cells/case, Range: 72-80% positive cells/case.

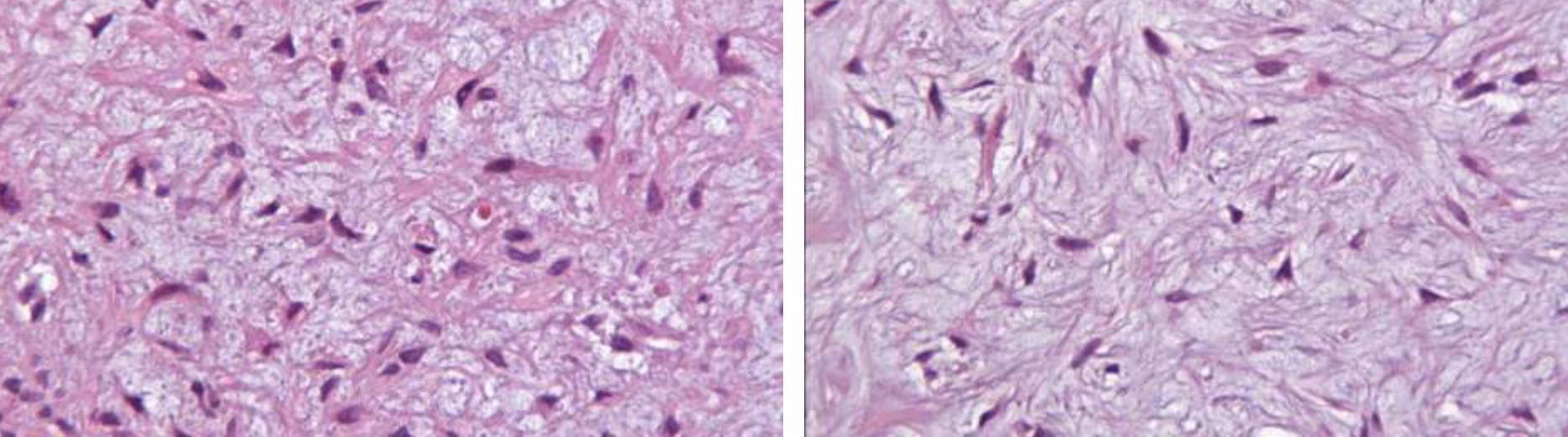
Rajiv M. Patel, MD,\*† Erinn Downs-Kelly, DO,‡ Monisha N. Dandekar, MD,\*
Julie C. Fanburg-Smith, MD,§ Steven D. Billings, MD,‡ Raymond R. Tubbs, DO,¶
and John R. Goldblum, MD‡

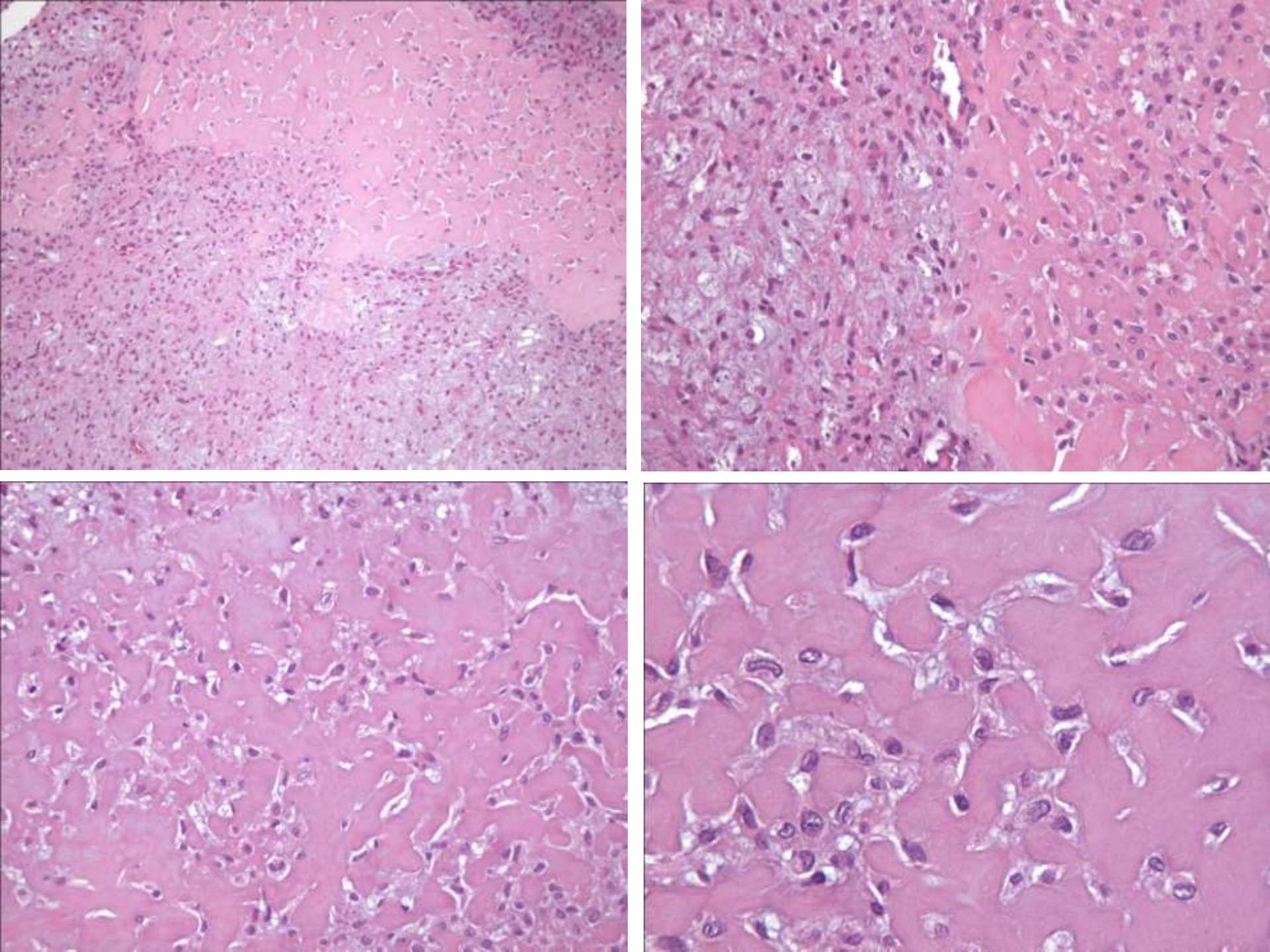
Persiste ambigüedad en la caracterización de esta entidad como lo demuestra la revisión significativa de diagnósticos tras re-evaluación histológica

Rajiv M. Patel, MD,\*† Erinn Downs-Kelly, DO,‡ Monisha N. Dandekar, MD,\*
Julie C. Fanburg-Smith, MD,§ Steven D. Billings, MD,‡ Raymond R. Tubbs, DO,¶
and John R. Goldblum, MD‡

La detección de la fusión génica por FISH, unida a una evaluación histológica precisa puede refinar los criterios diagnósticos de la forma superficial del sarcoma fibromixoide de bajo grado



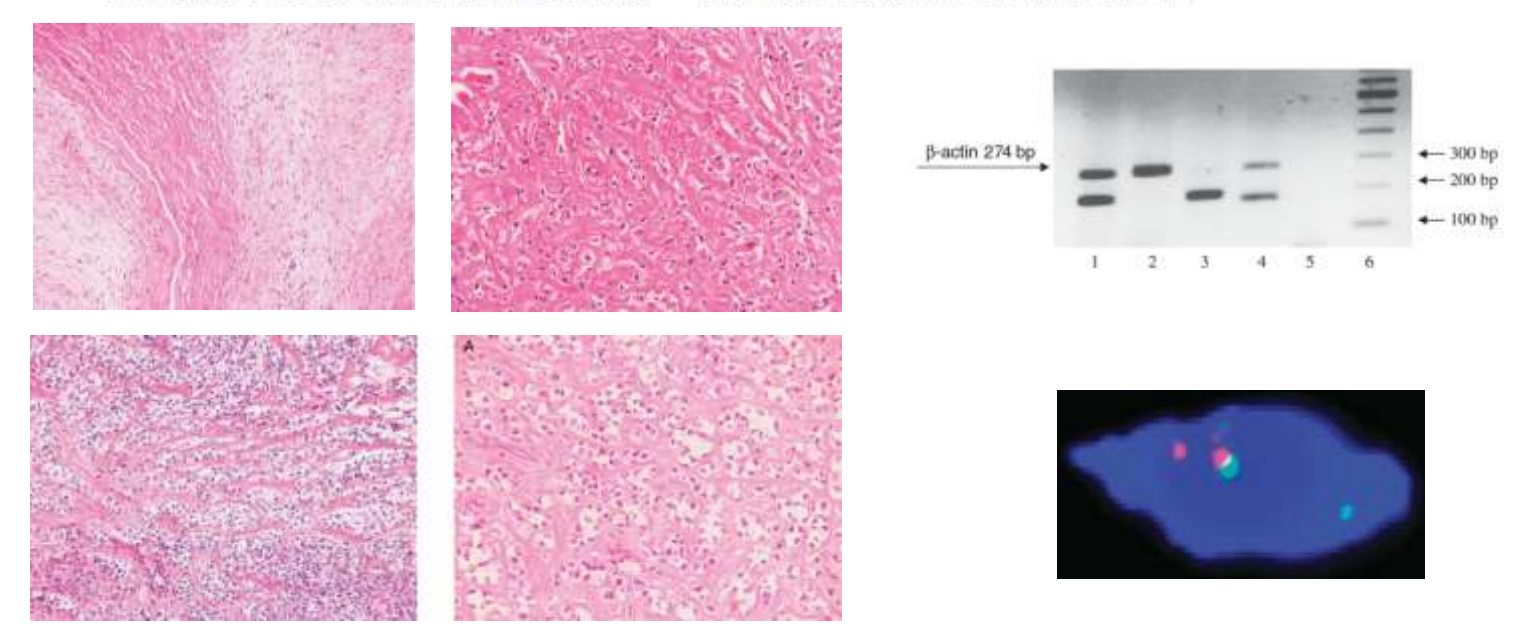




# Translocation-positive Low-grade Fibromyxoid Sarcoma: Clinicopathologic and Molecular Analysis of a Series Expanding the Morphologic Spectrum and Suggesting Potential Relationship to Sclerosing Epithelioid Fibrosarcoma

A Study From the French Sarcoma Group

Louis Guillou, MD,\* Jean Benhattar, PhD,\* Carole Gengler, MD,\* Gabrielle Gallagher, Tech,\*
Dominique Ranchère-Vince, MD,† Françoise Collin, MD,‡ Philippe Terrier, MD,§
Marie-José Terrier-Lacombe, MD,§ Agnès Leroux, MD, Bernard Marquès, MD,¶
Nicolas de Saint Aubain Somerhausen, MD,# Frédérique Keslair, BSc,\*\*
Florence Pedeutour, PharmD, PhD,\*\* and Jean-Michel Coindre, MD††



#### Sclerosing Epithelioid Fibrosarcoma

A Variant of Fibrosarcoma Simulating Carcinoma

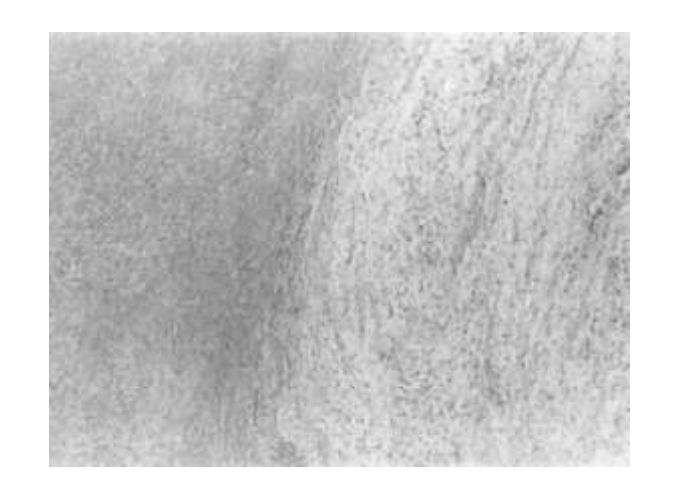
Jeanne M. Meis-Kindblom, м.D., Lars-Gunnar Kindblom, м.D., Ph.D., and Franz M. Enzinger, м.D.

myxoid zones bore a closer resemblance to myxofibrosarcoma (myxoid fibrosarcoma) (24), so-called low-grade fibromyxoid sarcoma (12), or low-grade myxoid MFH (35).

#### Sclerosing Epithelioid Fibrosarcoma

A Study of 16 Cases and Confirmation of a Clinicopathologically Distinct Tumor

Cristina R. Antonescu, M.D., Marc K. Rosenblum, M.D., Patricia Pereira, M.D., Antonio G. Nascimento, M.D., and James M. Woodruff, M.D.

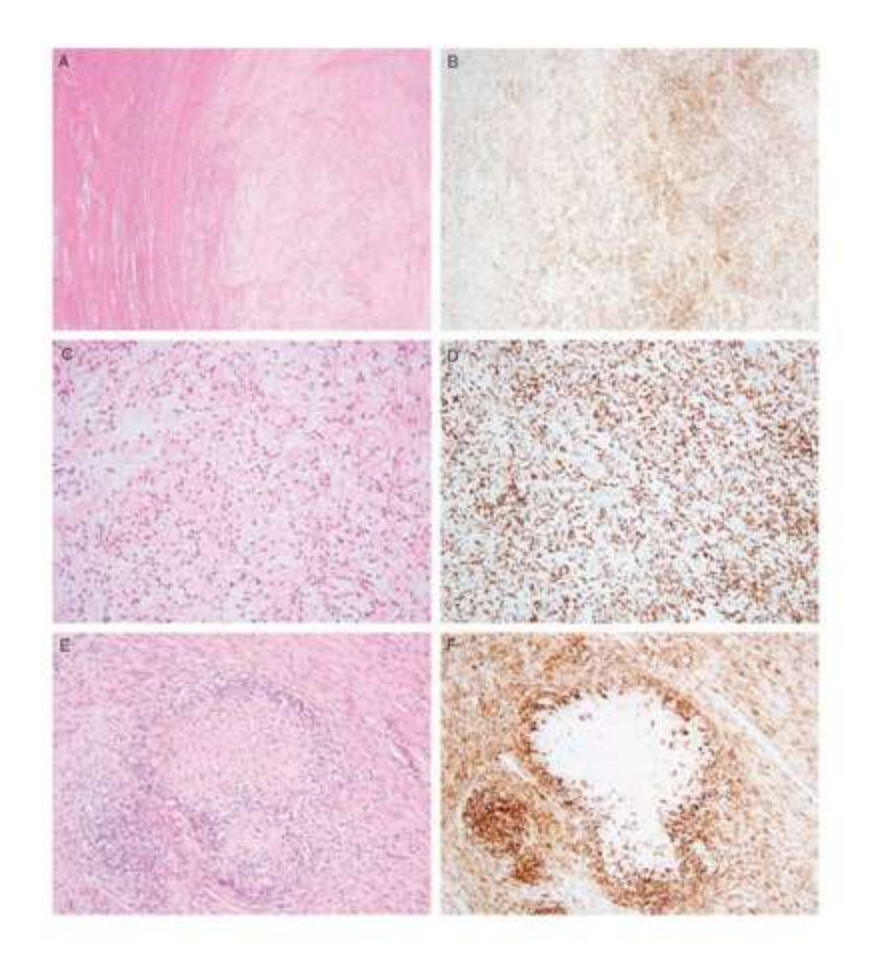


confusion arises from the presence of both large paucicellular fibrous zones and focal myxoid areas, features also seen in low-grade fibromyxoid sarcoma.

Well and poorly delineated myxoid areas were present in fibroma-like portions of four tumors. These fibroma-like and myxoid areas resembled low-grade fibromyxoid sarcoma (Fig. 12).

# MUC4 Is a Highly Sensitive and Specific Marker for Low-grade Fibromyxoid Sarcoma

Leona A. Doyle, MD,\* Emely Möller, PhD,† Paola Dal Cin, PhD,\*
Christopher D.M. Fletcher, MD, FRCPath,\* Fredrik Mertens, MD, PhD,†
and Jason L. Hornick, MD, PhD\*



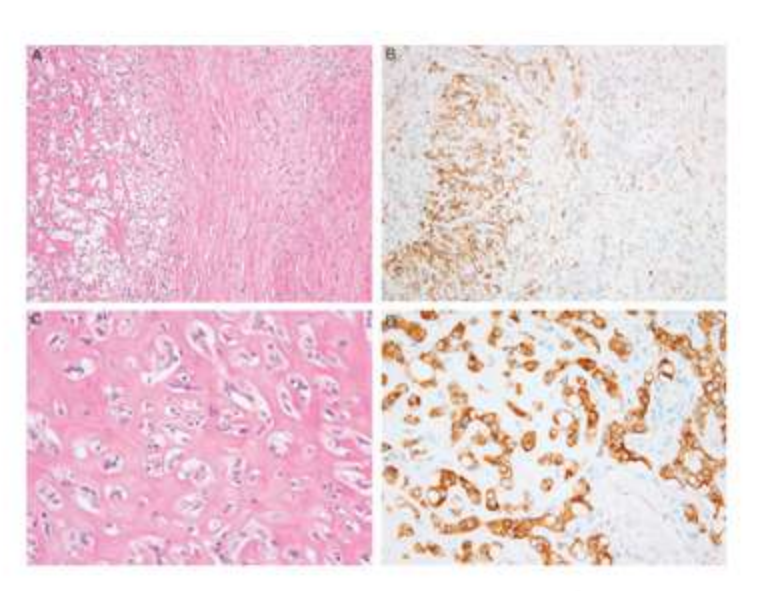


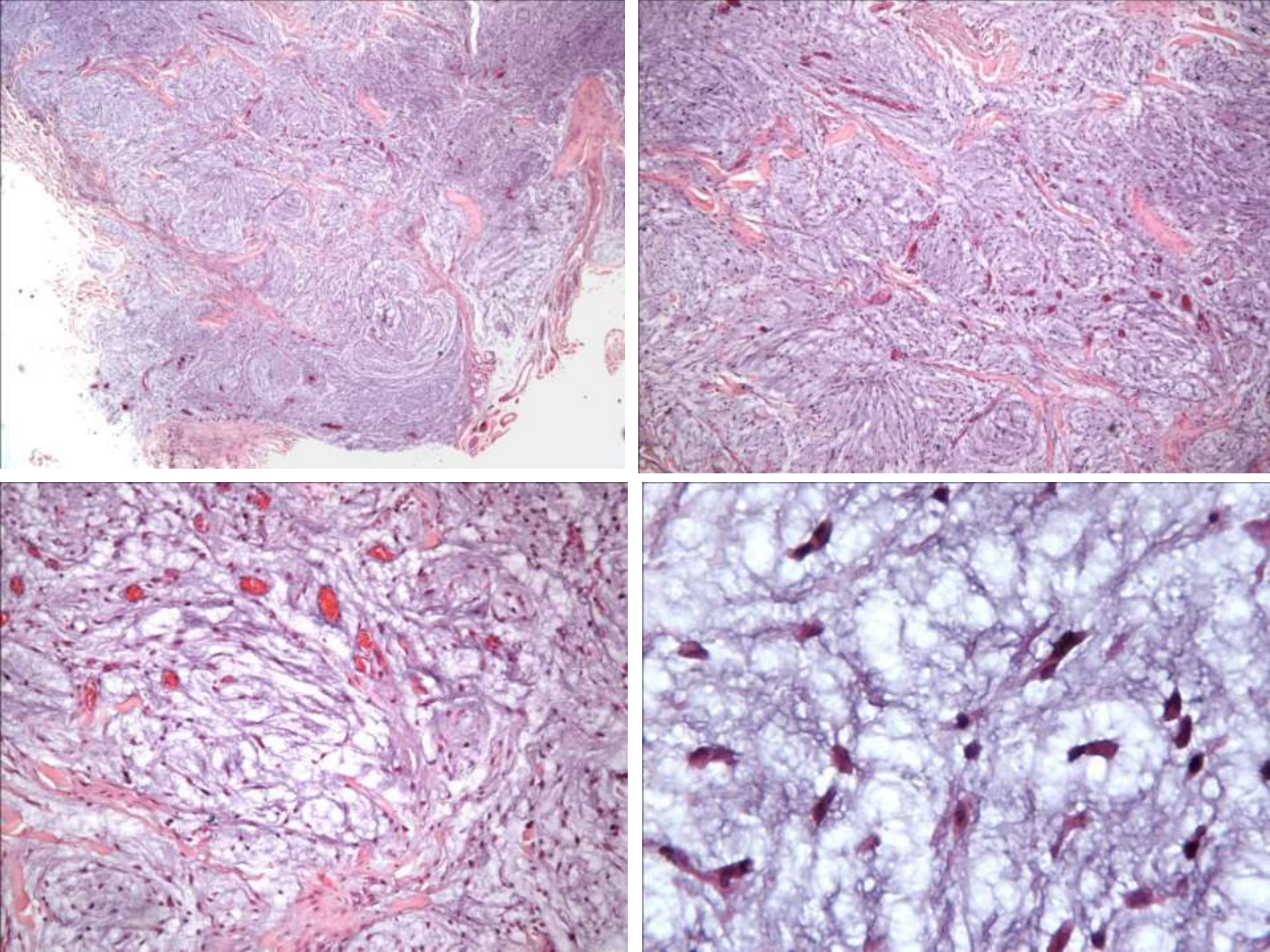
TABLE 1. Summary of Immunohistochemical Staining for MUC4

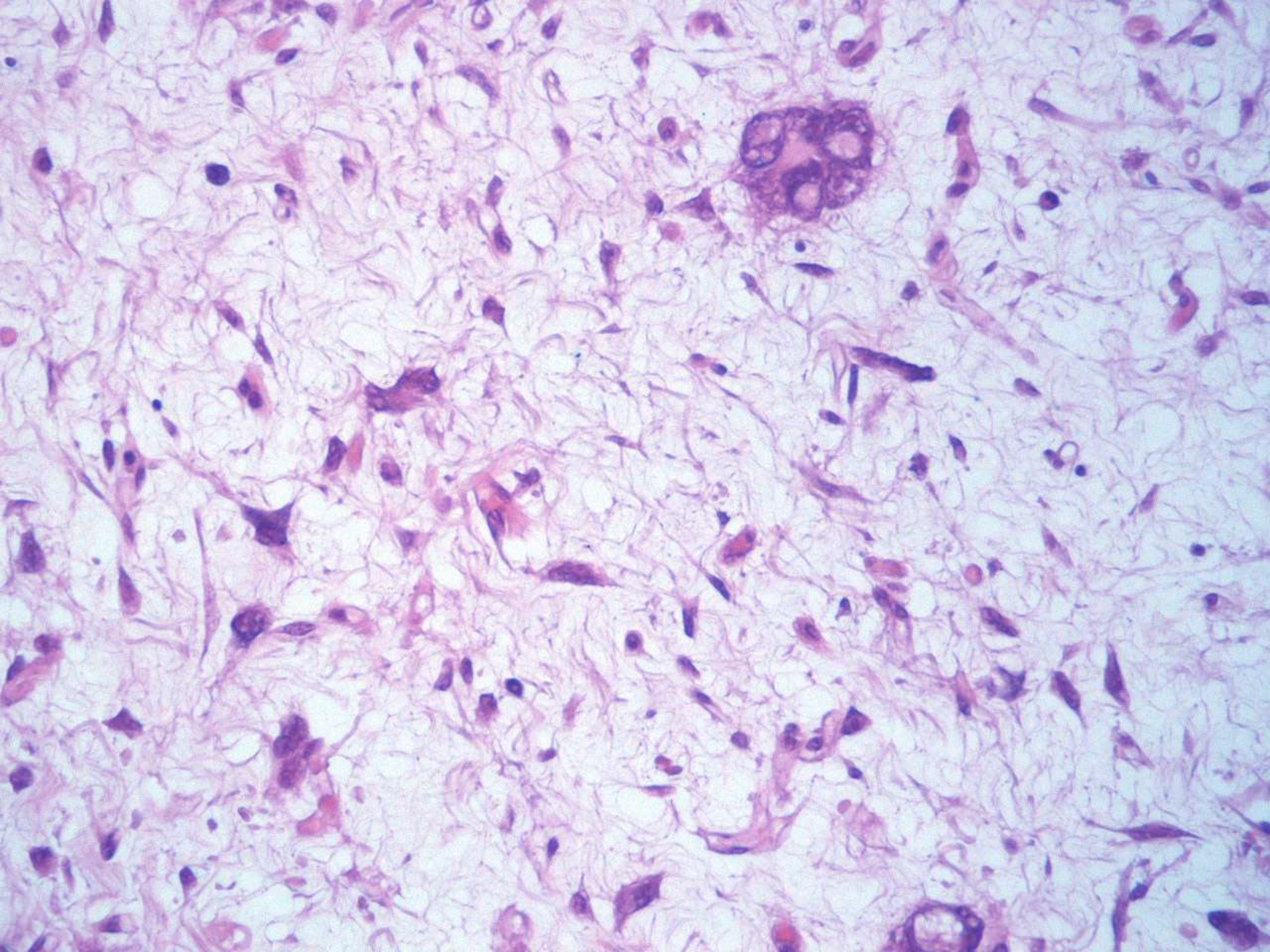
Tumor Type	Total Cases	MUC4 Positive (%)
Cellular myxoma	- 20	0 (0)
Desmoid fibromatesis	20	0.000
Dermatofibrosarcoma protuberans	- 20	0.009
Extraskeletal mysoid chondrosarcoma	10	0 (0)
Low-grade fibromysoid sarcoma	49	49 (100)
MPNST, low-grade	20	0 (0)
Myxolibrosaccoma	40	0.000
Mysoid liposarcoma	10	0.000
Monophasic synovial sarcoma	20	6 (30)
Neurotibroma	20	0.00
Schwannoma	20	0.000
Soft tissue perincurioma	40	0.000
Solitary fibrous tumor	20	0.00

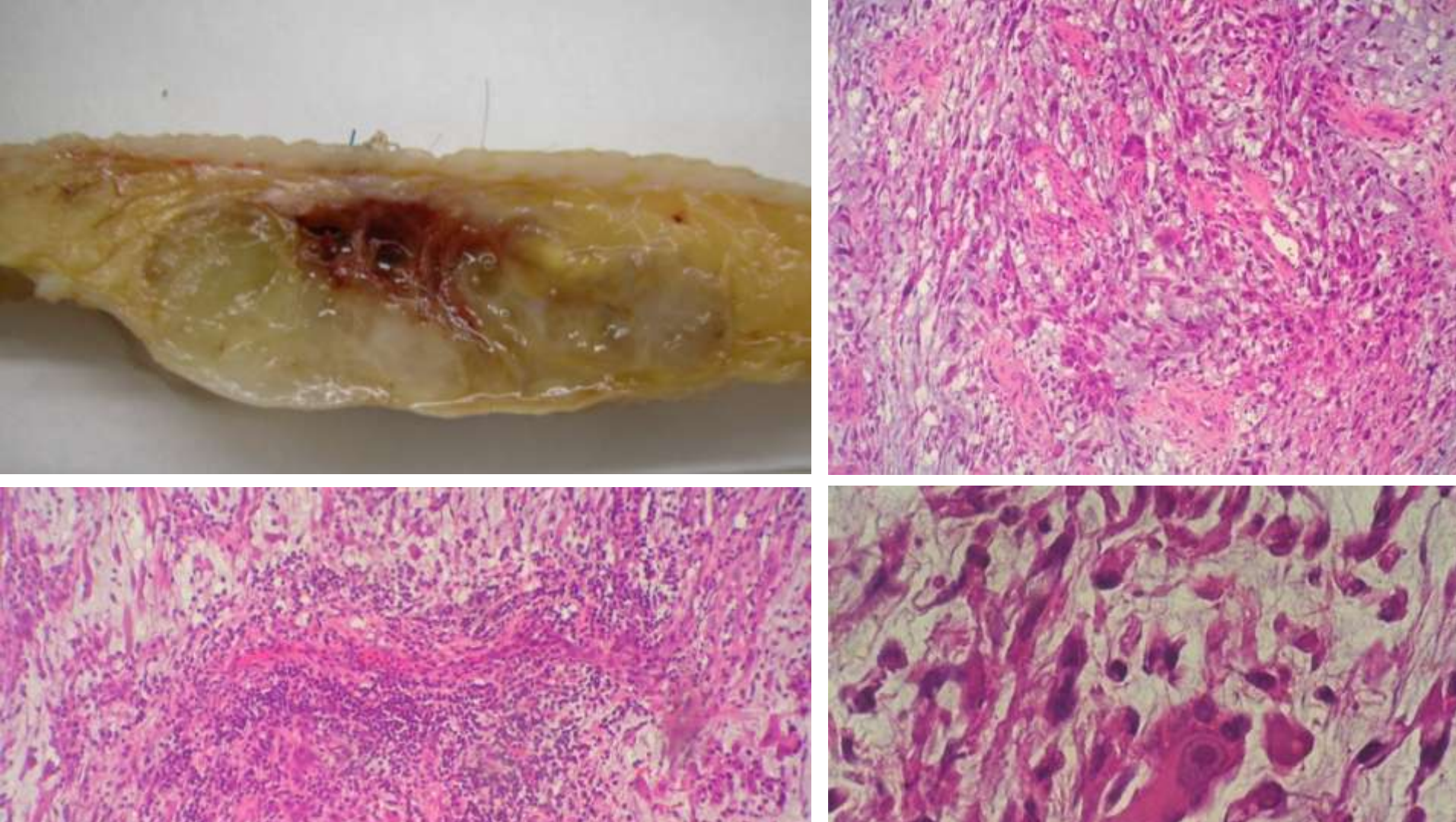
MPNST indicates malignant peripheral nerve shouth tumor

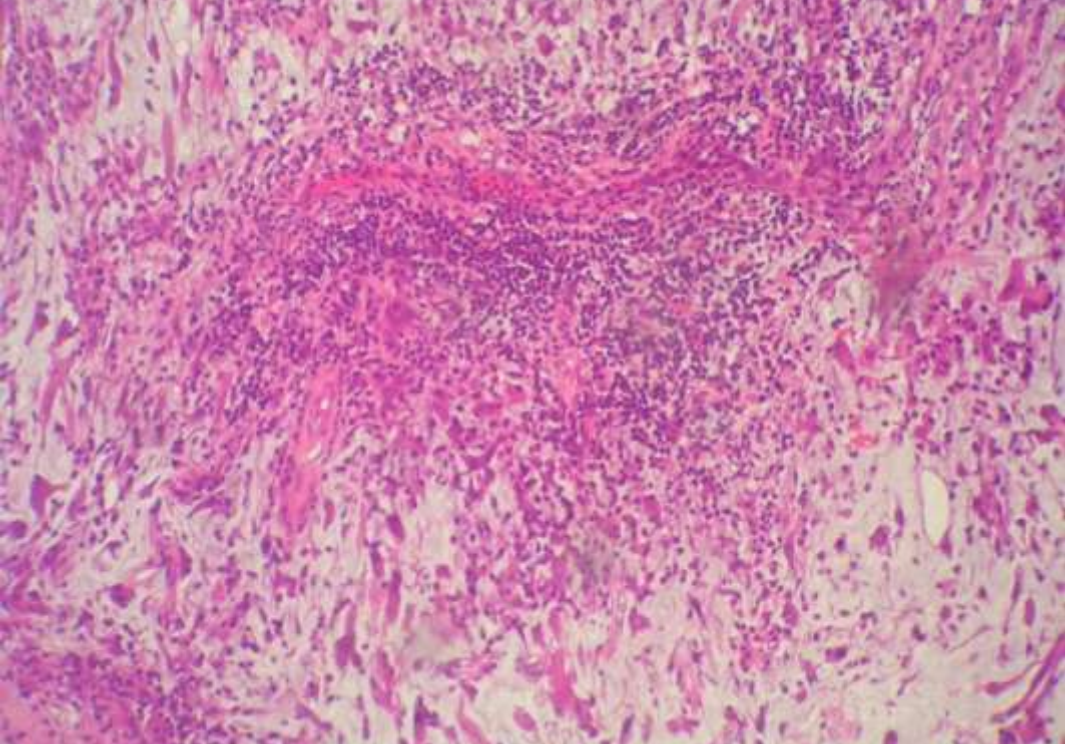
## Diagnóstico diferencial Mixofibrosarcoma (antiguo FHM mixoide)

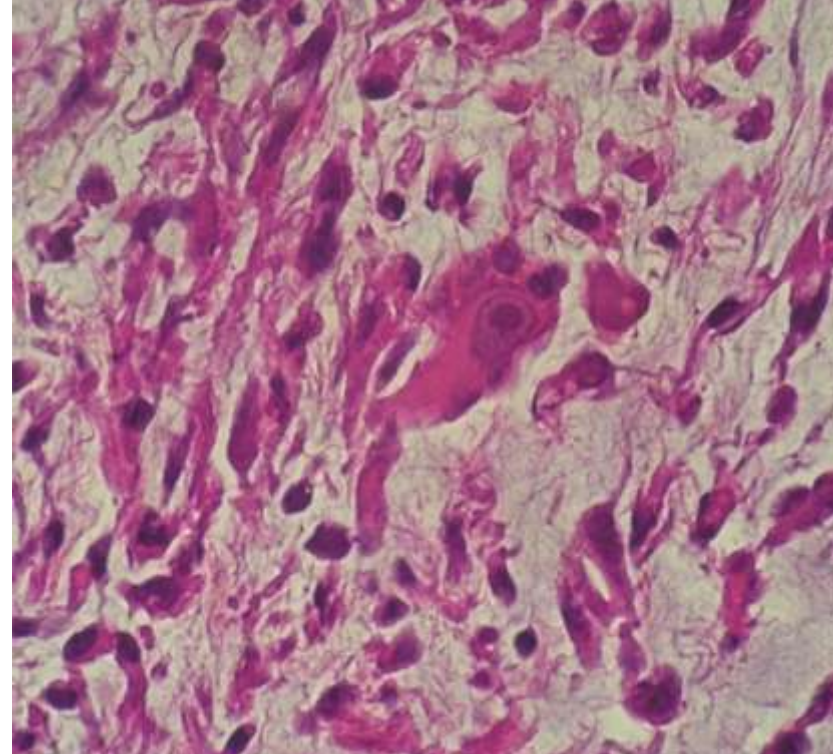
- Más edad
- Más atipia
- Más vasos (curvilíneos)
- Más frecuente superficial
- Más mixoide
- Menos formación de colágeno





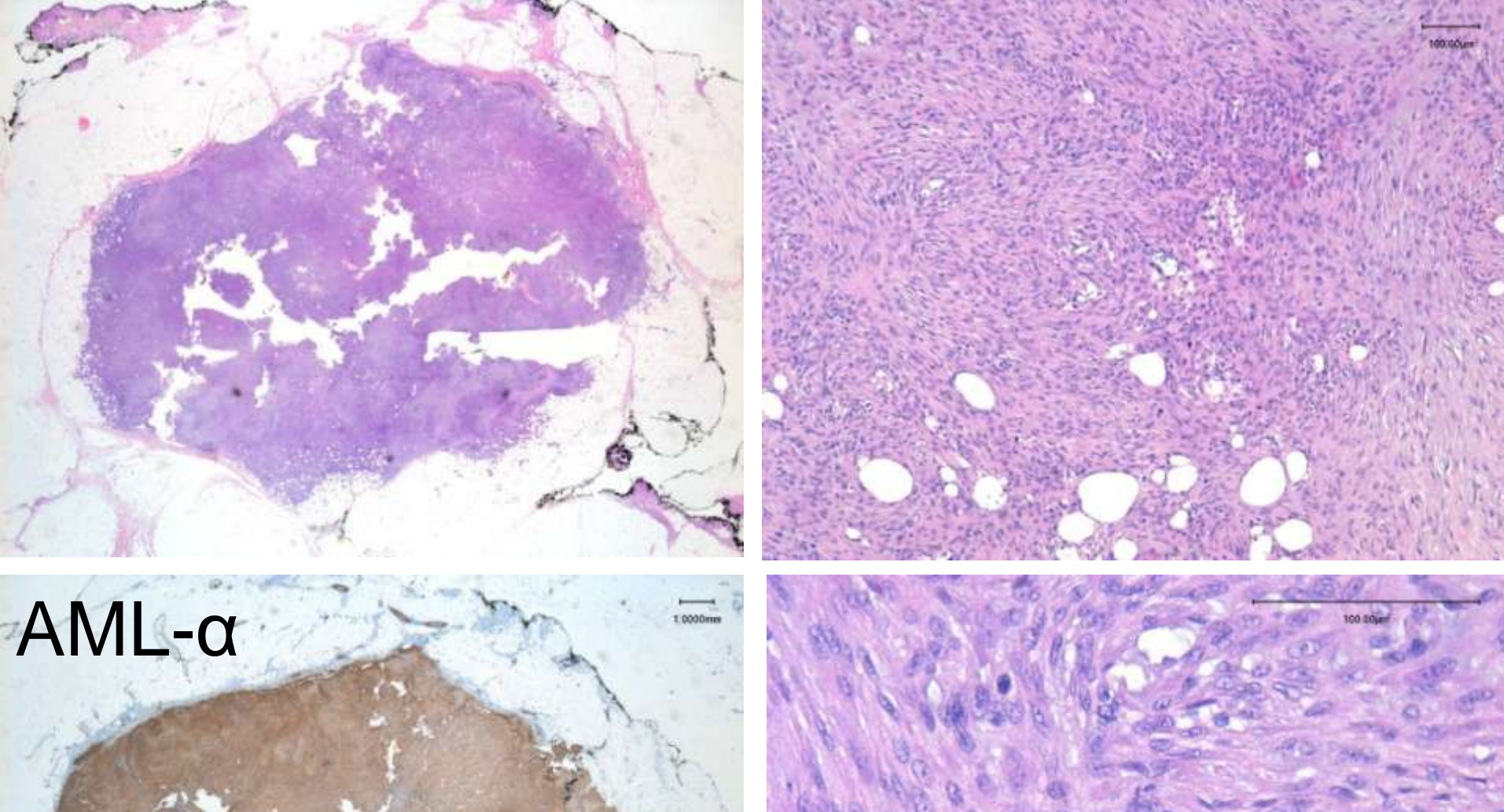


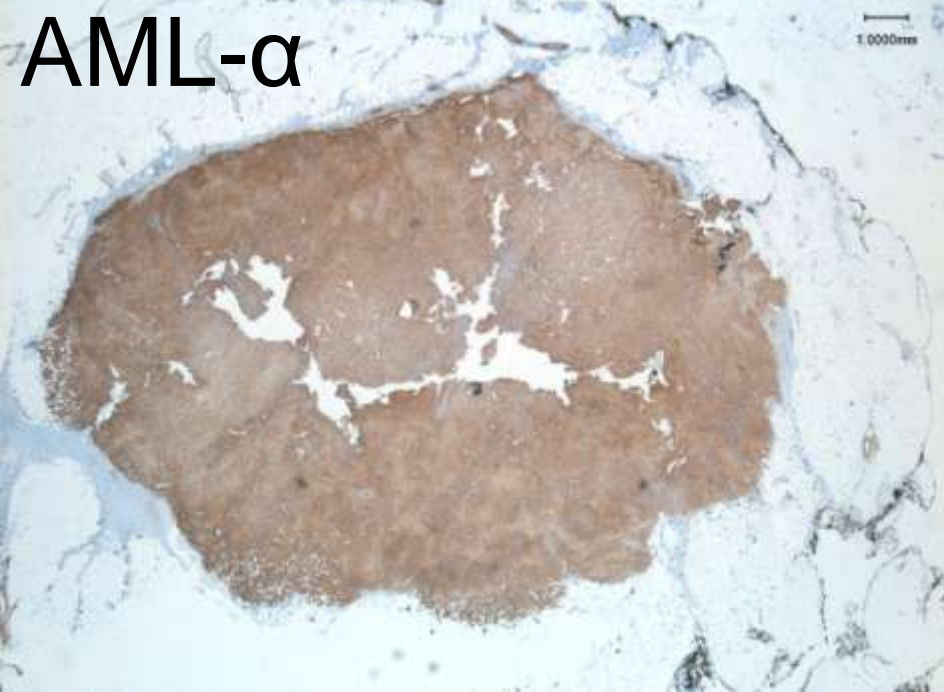


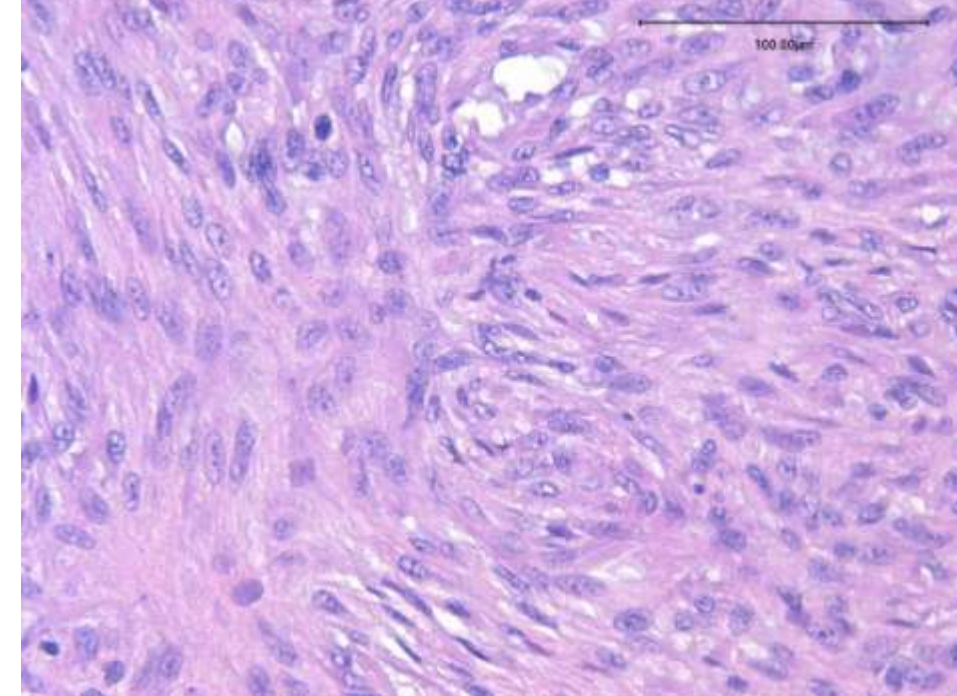


# Sarcoma mixoinflamatorio acral (Tumor mixohialino inflamatorio)

- Cualquier edad y sexo
- Dedos, mano, muñeca, brazo, pie, pierna (algunas no acrales)
- Lobulado o multinodular
- Areas fibroesceróticas y mixoides con celularidad fusiforme, pleomórfica, con células Reed-Sternberglike o virocíticas, y a veces lipoblásticas)
- Componente inflamatorio: eosinófilos, neutrófilos, linfocitos, macrófagos (espumosos y/o siderófagos)
- Puede haber mitosis típicas y atípicas. Variable necrosis
- Variable positividad para CD34, CD68, CD163, AML-α
- Frecuente recidiva. Raras metástasis









## **MIOFIBROSARCOMA**

#### Myofibrosarcoma

#### A Clinicopathologic Study

Elizabeth Montgomery, M.D., John R. Goldblum, M.D., and Cyril Fisher, M.D., F.R.C.Path.

TABLE 2. Clinicopathologic features of 15 patients with myofibrosarcomas

Case no.	Age (yrs)	Sex	Site	Size (cm)	Depth	Mitoses per 10 HPF	Focal necrosis	Grade	Vasc inv	SMA	MSA	DES	СК	EM	Therapy and follow up	Therapy and follow up after recurrence
1	64	M	Arm	1.5	sc	<1	No	1	No	4.		-		Yes	LEX, NED 48 mos	
2	41	M	Hard palate	3.5	Bone	<1	No	1	No	+	+	+focal	_	Yes	WEX, NED 18 mos	
3	73	М	Mesentery	12	Mesentery	0	No	1	No	+		+		Yes	LEX, RT, NED 11 mos	
4	57	M	Anterior thigh	4	IM	1	No	1	No	+	+	+focal	-	Yes	WLEX, RT, NED 144 mos	
5	35	M	Palate	1.6	Submucosal	<1	No	1	No	+			-		LEX, REC 12 mos	Maxillectomy
5 6 7	63	M	Neck	4	IM	4	No	1	No	940		+focal	000			St St.
7	48	M	Scrotum	$3 \times 2 \times 2$	Deep	<1	No	1	No	-		-	-	Yes	LEX, REC (unknown interval)	Unknown
8	44	F	Abdominal wall	2.5	SC	1.	No	1	No	+focal	-	-		Yes	LEX, positive margin	LEX, NED 24 mos
9	65	M	Tibia	11	Bone	6	No	1	No	+focal	+focal	-			EXC, REC 24 mos	AKA, NED 172 mos
10	54	F	Gingiva	1.5	Submucosal	6	No	1	No	+		-			LEX, REC 4 mos	REX; lost to F/U
11	72	F	Breast	3.4	Breast	2	Yes	2	Yes	+	+	+focal	-	Yes	LEX, REC 5 mos	Mastectomy, Metastases (lung), 12 mos
12	69	М	Leg	U	IM	1	Yes	2	Yes	+	+	+focal	· ·	Yes	WLEX, Chemo- therapy, REC 8 mos	RT, further REC at 70 mos, amputation
13	33	M	Arm	U	SC/IM	11	No	2	Subend	+	+	-	-			
14	42	M	Axilla	5	SC	4	Yes	2	No	+		0.00			LEX, NED 36 mos	
15	36	F	Base Skull	3	Bone	< 1	Yes	2 2 2	No	+	-	-	-	Yes	LEX, REC 18 mos	REX; NED 36 mos
										Total 13/15	Total 7/9	Total 6/14	Total 0/11			

Apo; aponeurosis; CK, cytokeratin (see *Methods* for subtypes); DES, desmin; DOD, dead of disease; EM, electron microscopy; IHC, immunohistochemistry; IM, intramuscular; INV, invasion; LEX, local excision; MSA, muscle-specific actin; NED, no evidence of disease; REC, re-excision; RT, radiation therapy; SC, subcutaneous; SMA, smooth muscle actin; Subend, subendothelial proliferation; TX, treatment; U, unknown; WLEX, wide local excision.

# Sarcoma miofibroblástico bajo grado Mentzel et al. 2006

- Adultos
- Extremidades, cabeza y cuello (lengua, oral), piel, digestivo, gl. salivares, nasal/paranasal
- Crecimiento infiltrativo difuso por fascículos fusocelulares, generalmente muy celulares, con moderada atipia (nucleos grandes e hipercromáticos) y mitosis frecuentes
- Una fracción de proliferación alta y necrosis tumoral se asocian con una mayor agresividad clínica
- Immunofenotipo:
  - actina +/desmina-
  - actina-/desmina+
  - actina+/desmina+
  - fibronectina +
  - CD34+
  - CD99+ (citoplásmico)
  - h-caldesmon, β-catenina, S-100 y CK : negativas

### Miofibrosarcoma

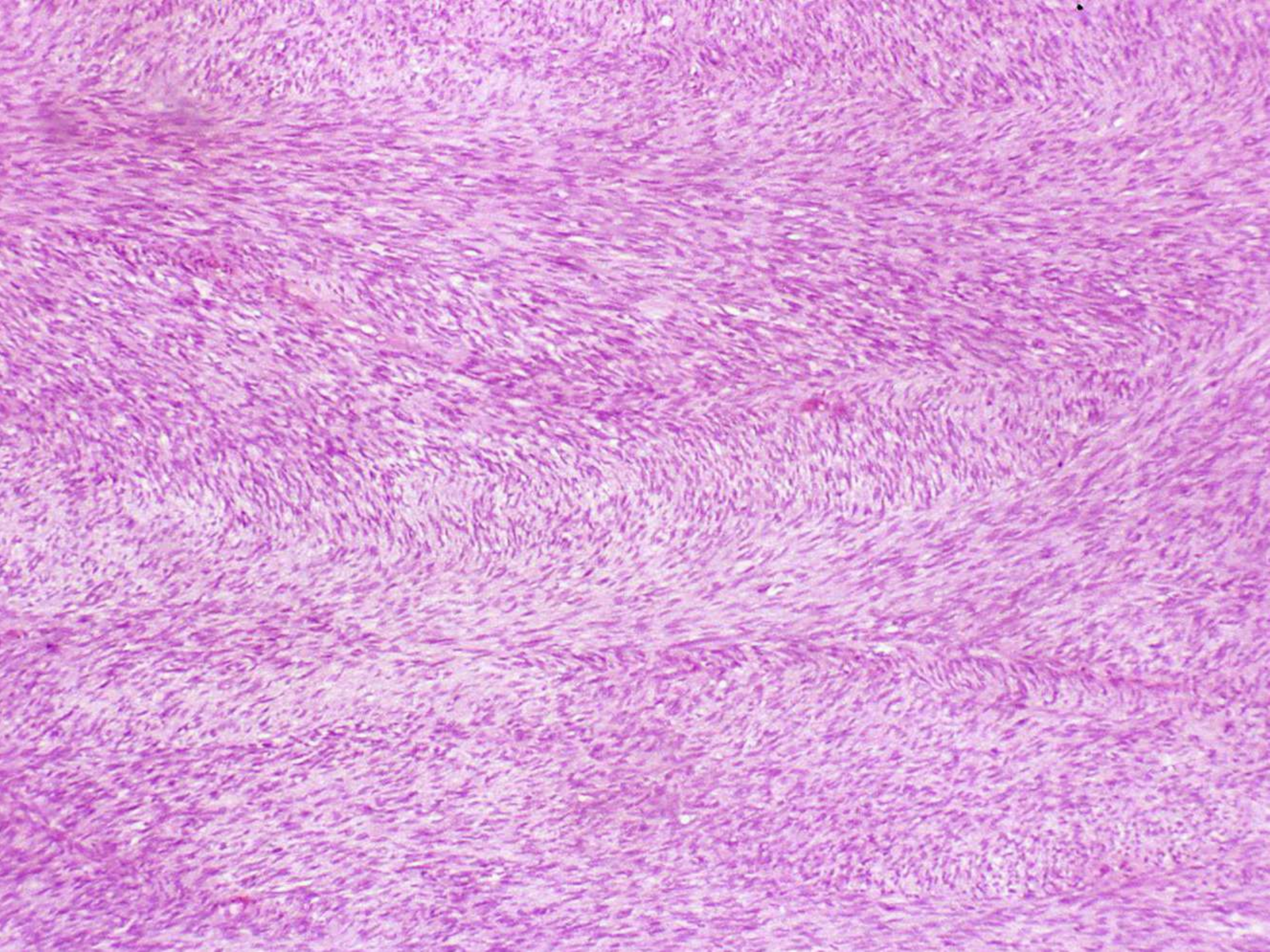
Fascículos de células fusiformes de extremos más afilados que redondeados, orientados perpendicularmente, filamentos citoplásmicos eosinófilos delicados y vacuolas paranucleares Positivas: actina, fibronectina, calponina y, a veces, desmina

Negativas: h-caldesmon y miosina de músculo liso

Rasgos ultraestructurales de miofibroblastos

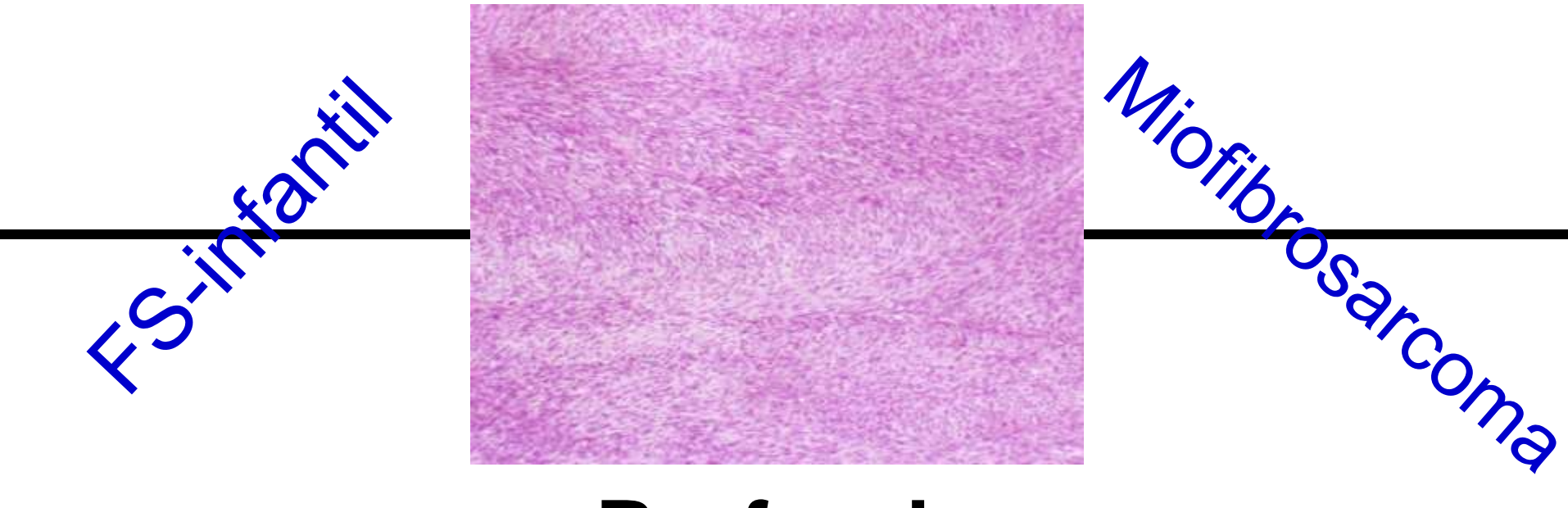
#### D. Diferencial: Fibrosarcomas\*

However, indistinguishable cases are inevitable as fibroblasts and myofibroblasts form a morphologic continuum.



### **DFSP-Fibrosarcoma**

## **Superficial**



**Profundo** 

S Sinovial

T M Vaina Nerviosa Perif

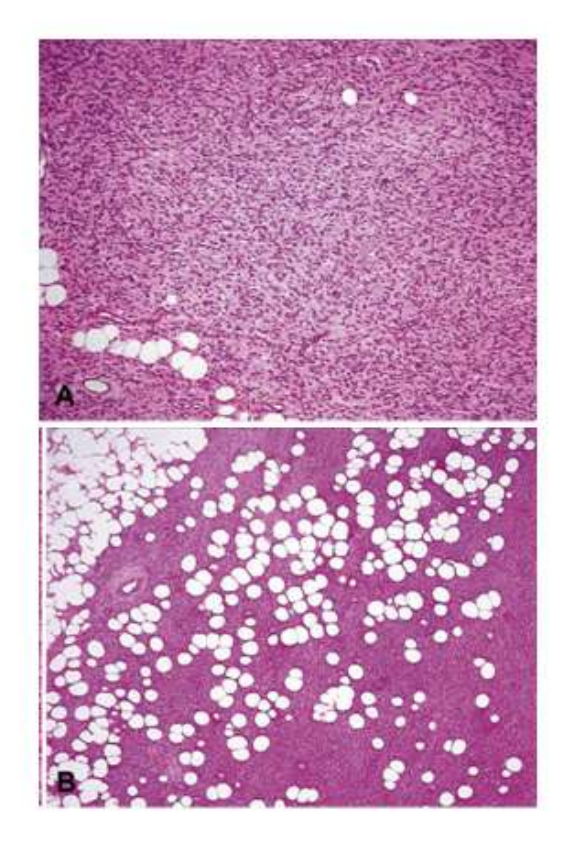
# Transformación fibrosarcomatosa del dermatofibrosarcoma protuberans

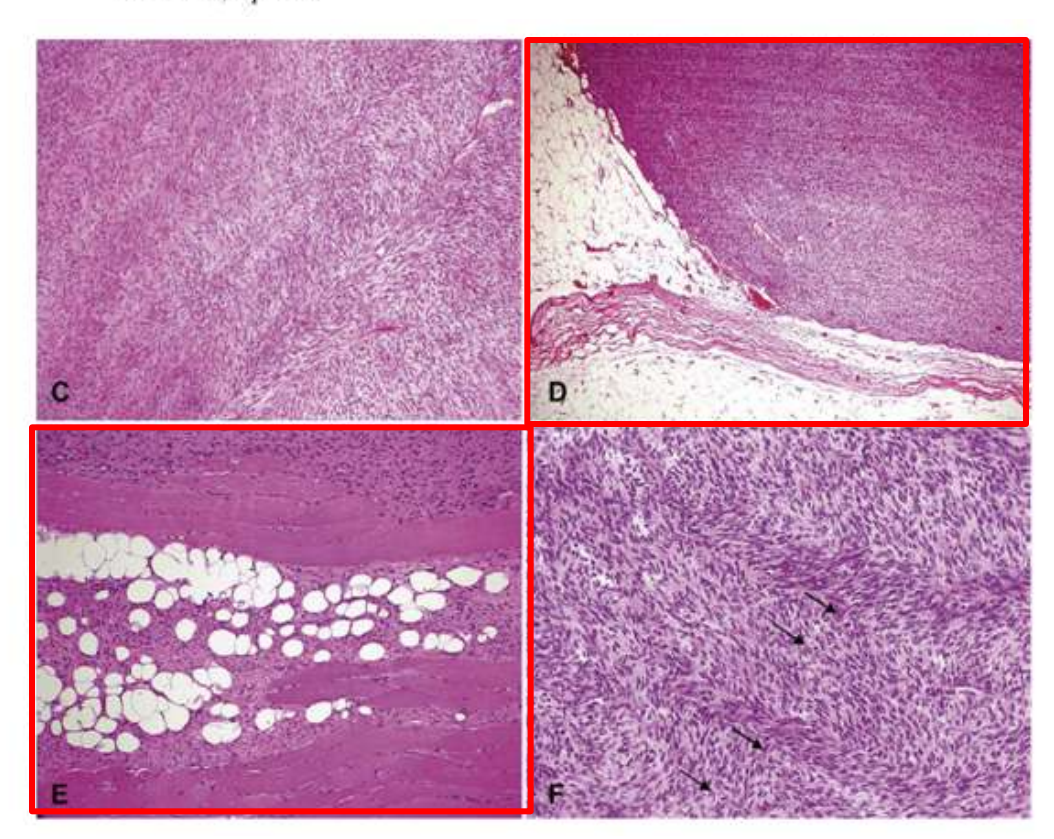
#### ORIGINAL ARTICLE

Published online May 11, 2011. doi:10.1016/j.jaad.2010.06.020

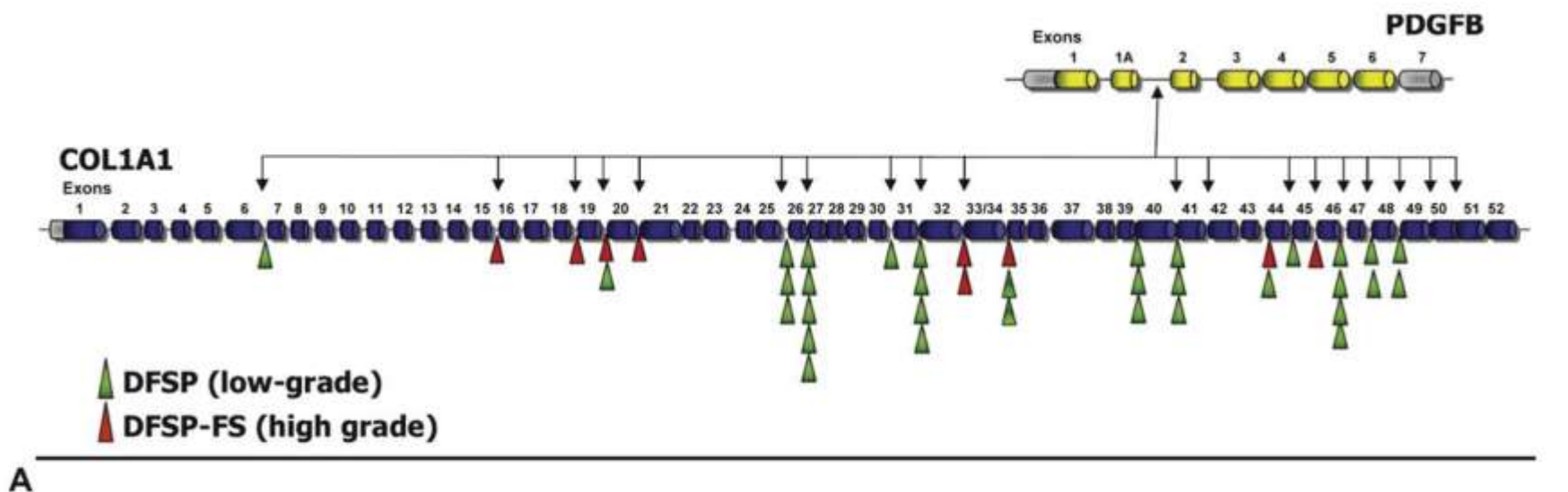
# Dermatofibrosarcoma protuberans: A clinicopathological, immunohistochemical, genetic (COL1A1-PDGFB), and therapeutic study of low-grade versus high-grade (fibrosarcomatous) tumors

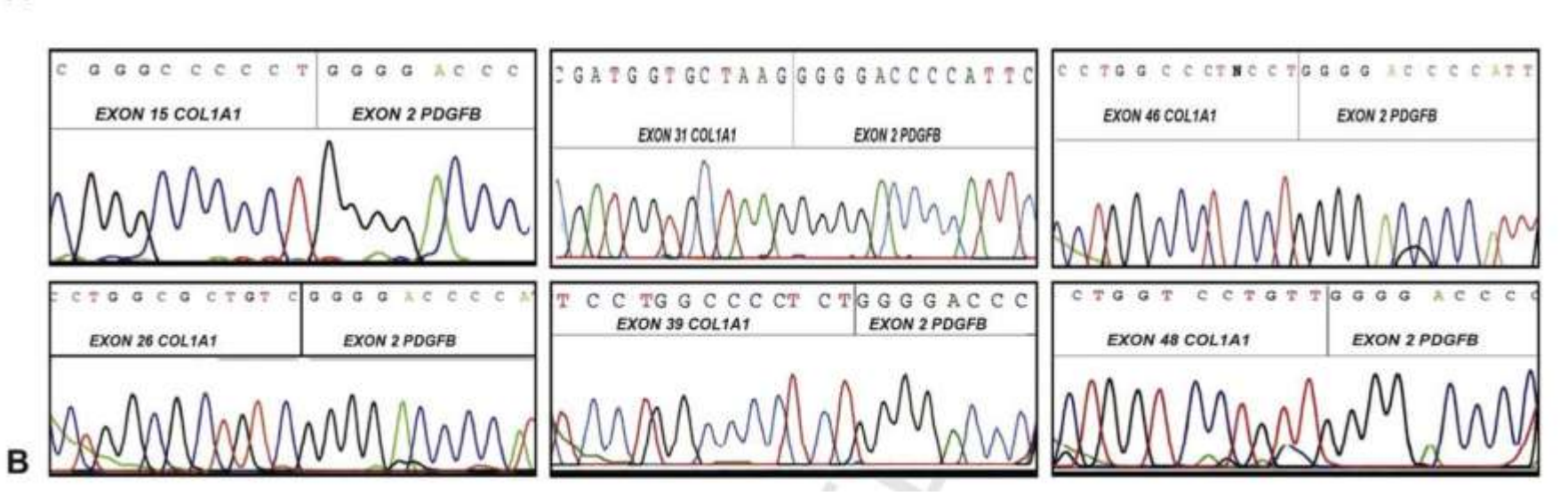
Beatriz Llombart, MD, <sup>a,d</sup> Carlos Monteagudo, MD, <sup>d</sup> Onofre Sanmartín, MD, <sup>a</sup> José Antonio López-Guerrero, <sup>b</sup> Carlos Serra-Guillén, MD, <sup>a</sup> Andrés Poveda, MD, <sup>c</sup> Esperanza Jorda, MD, <sup>e</sup> Antonio Fernandez-Serra, <sup>b</sup> Antonio Pellín, MD, <sup>d</sup> Carlos Guillén, MD, <sup>a</sup> and Antonio Llombart-Bosch, MD <sup>d</sup> Valencia, Spain



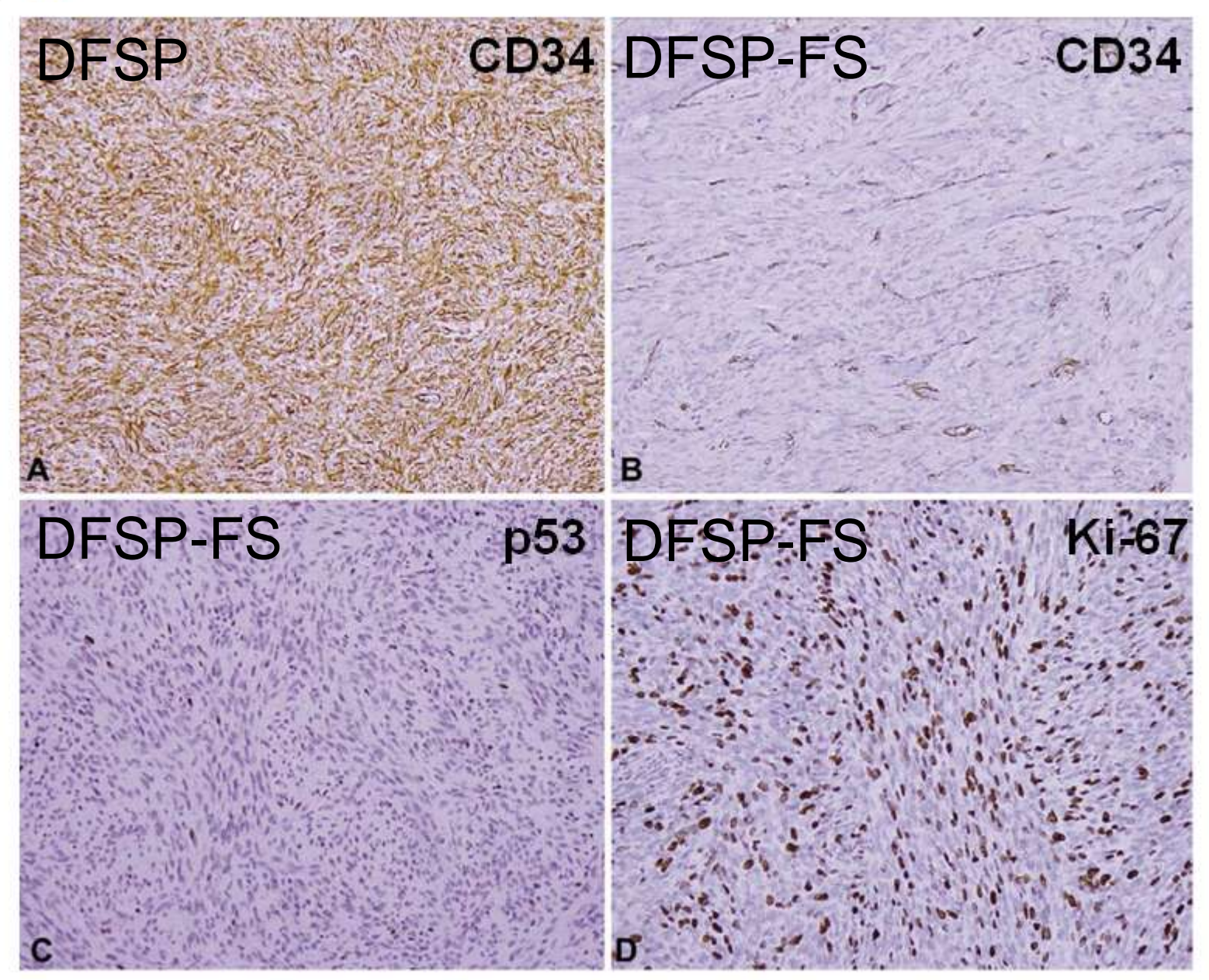


J Am Acad Dermatol May 11, 2011.

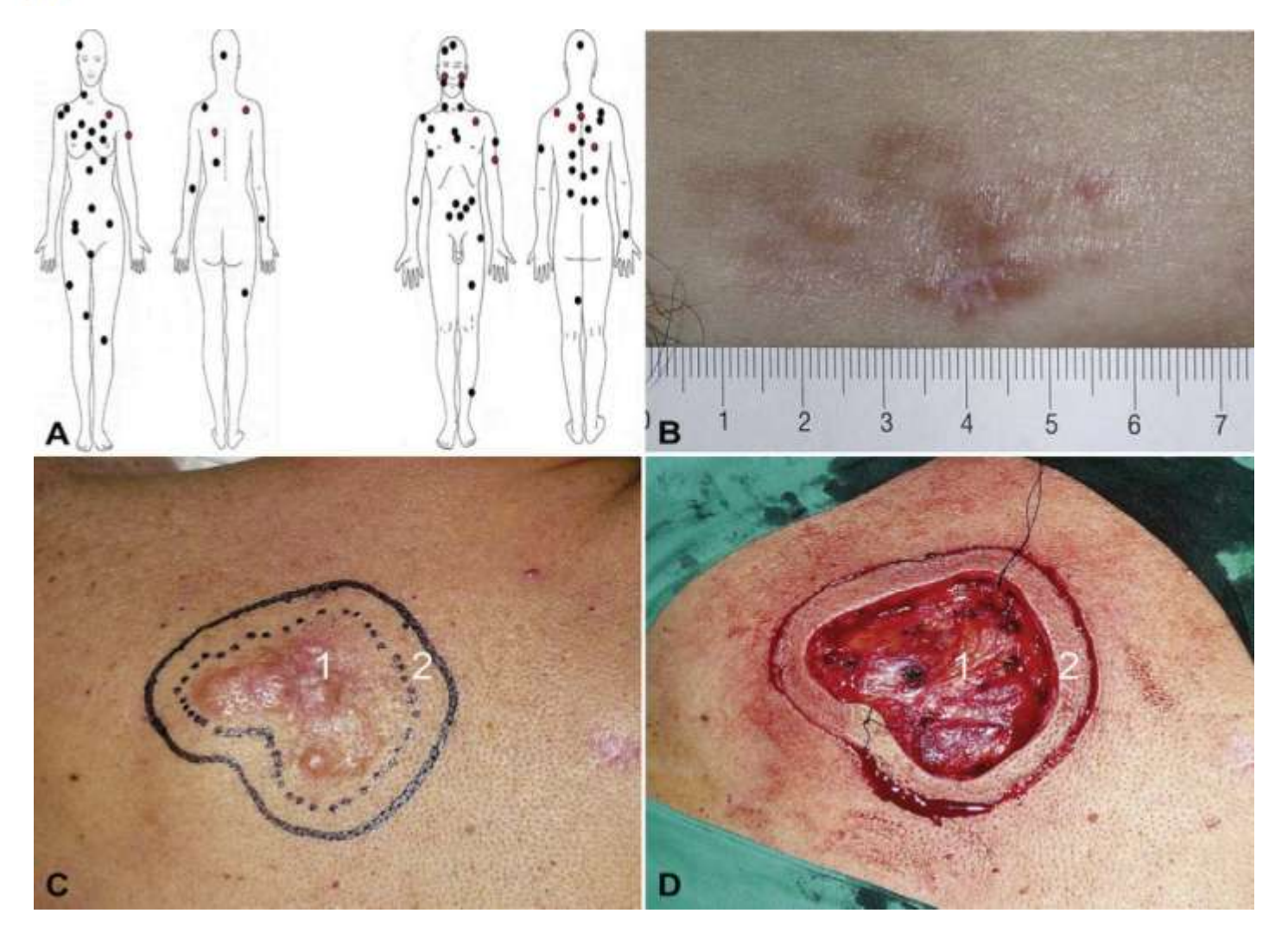




J AM ACAD DERMATOL May 11, 2011.

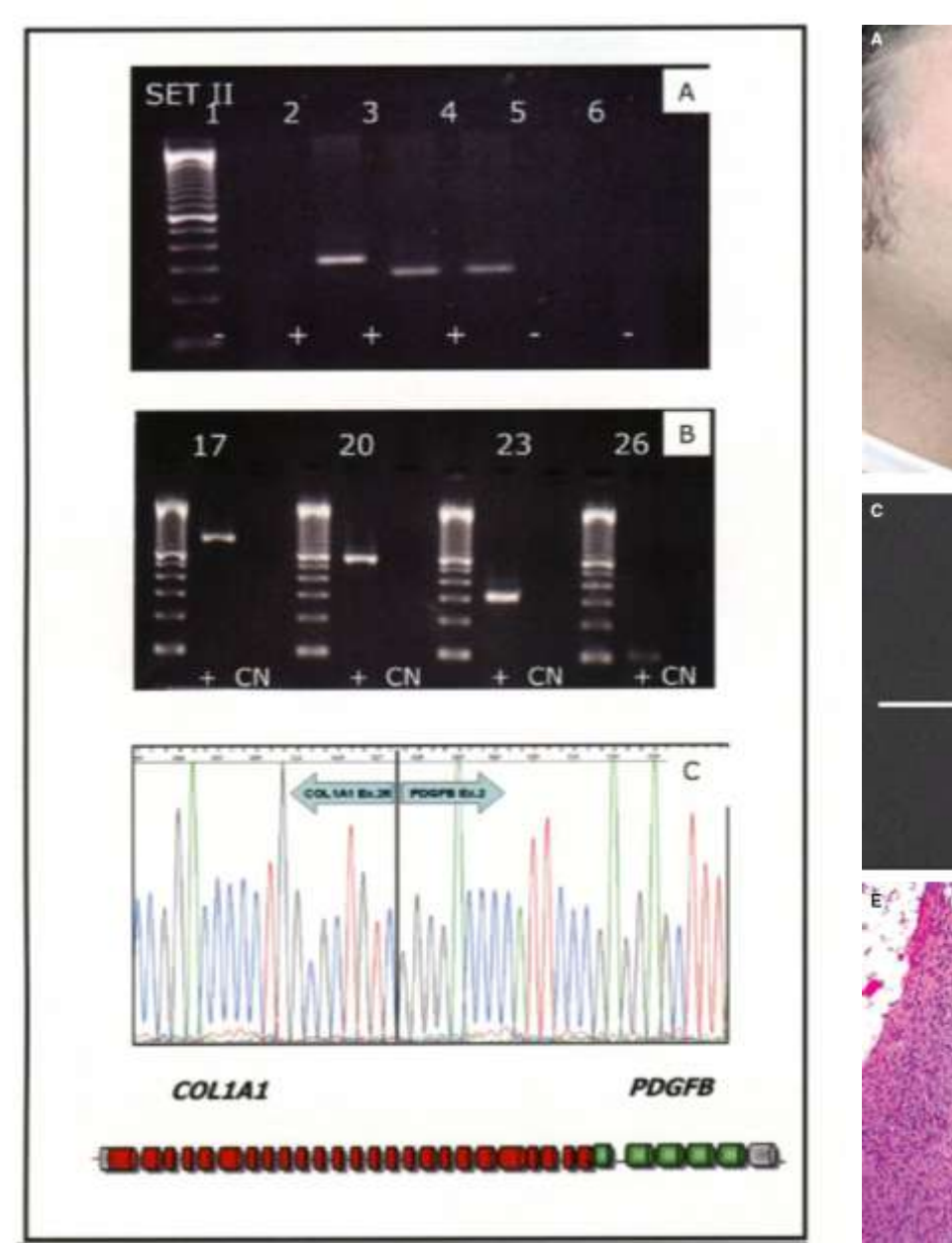


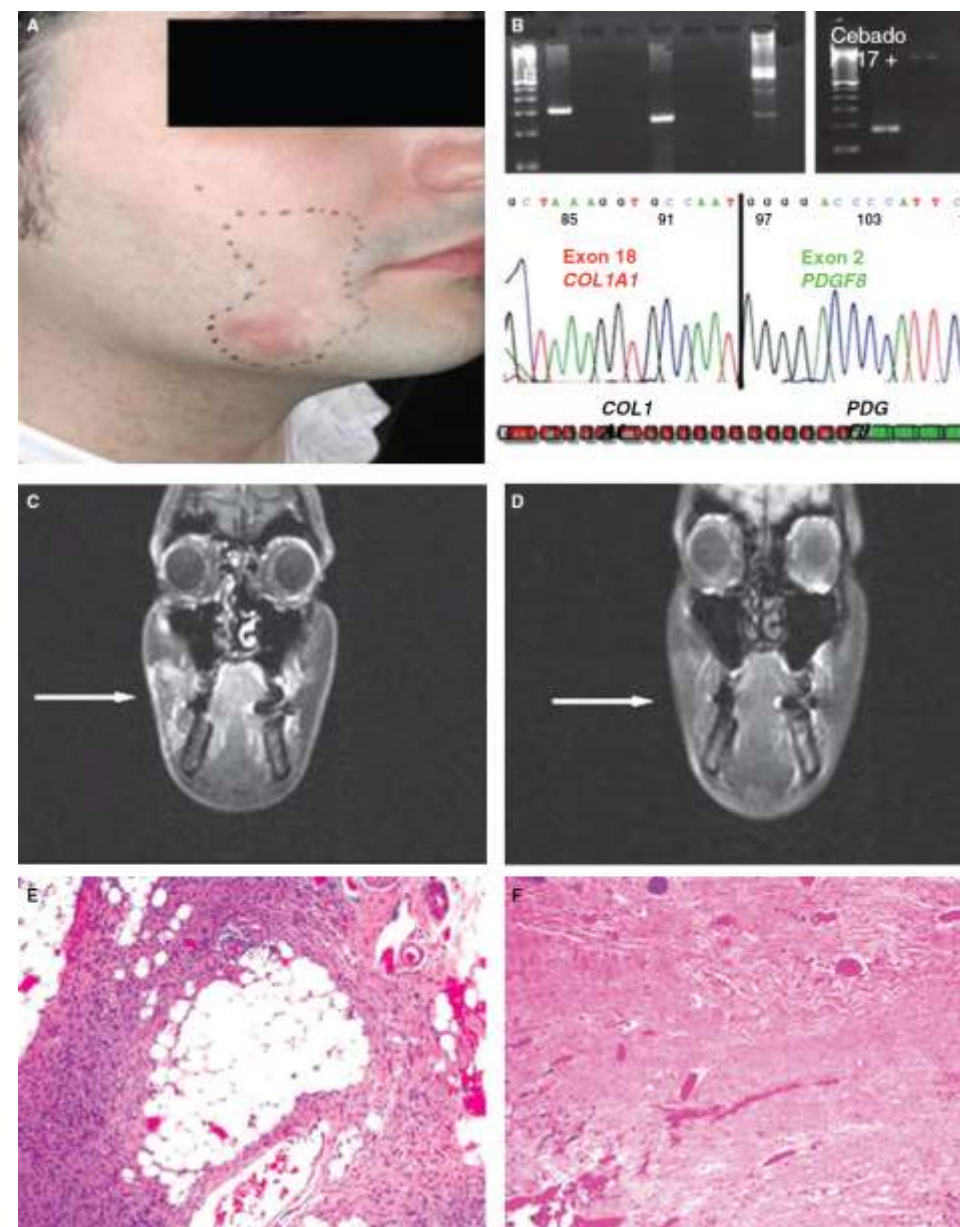
J Am Acad Dermatol May 11, 2011.



La cirugía de Mohs es el tratamiento de elección en todos los casos (no recidivan, salvo los excepcionales casos metastásicos)

## Tratamiento con Imatinib





#### Molecular Diagnosis of Dermatofibrosarcoma Protuberans: A Comparison Between Reverse Transcriptase-Polymerase Chain Reaction and Fluorescence In Situ Hybridization Methodologies

Rocío Salgado, <sup>1,2†</sup> Beatriz Llombart, <sup>3†</sup> Ramon M. Pujol, <sup>4</sup> Antonio Fernández-Serra, <sup>5</sup> Onofre Sanmartín, <sup>3</sup> Agustí Toll, <sup>4</sup> Luis Rubio, <sup>5</sup> Sonia Segura, <sup>4</sup> Carlos Barranco, <sup>1</sup> Carlos Serra-Guillén, <sup>3</sup> Mireia Yébenes, <sup>6</sup> Marta Salido, <sup>1</sup> Víctor Traves, <sup>7</sup> Carlos Monteagudo, <sup>8</sup> Empar Sáez, <sup>9</sup> Teresa Hernández, <sup>10</sup> Enrique de Álava, <sup>10</sup> Antonio Llombart-Bosch, <sup>8</sup> Francesc Solé, <sup>1</sup> Carlos Guillén, <sup>3</sup> Blanca Espinet, <sup>1‡\*</sup> and Jose A. López-Guerrero <sup>5‡</sup>

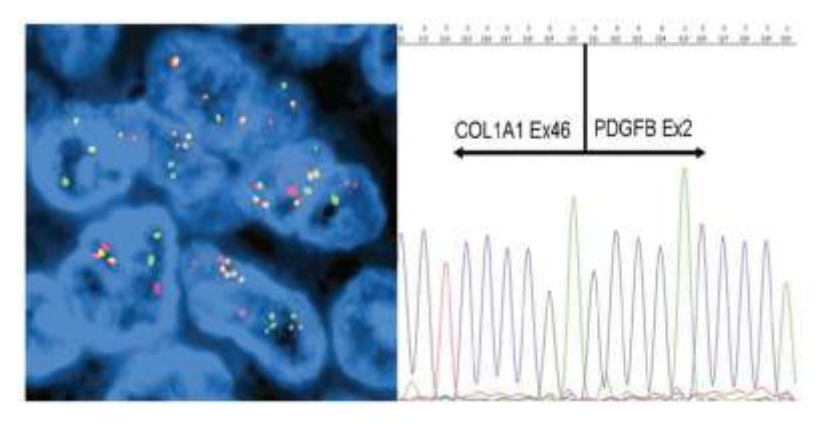


TABLE 3. Comparison of COLIAI/PDGFB Detection Between FISH and RT-PCR Techniques: Results of the Performance Test

	$FISH (n = 106)^a$ (%)	RT-PCR (n = 92) <sup>b</sup> (%)
Sensitivity	91	72
Specificity	100	100
PPV	100	100
NPV	53	30

PPV: positive predictive value; NPV: negative predictive value.

TABLE 2. Comparison of COLIAI/PDGFB Detection Between FISH and RT-PCR Techniques: Data for the Performance Test

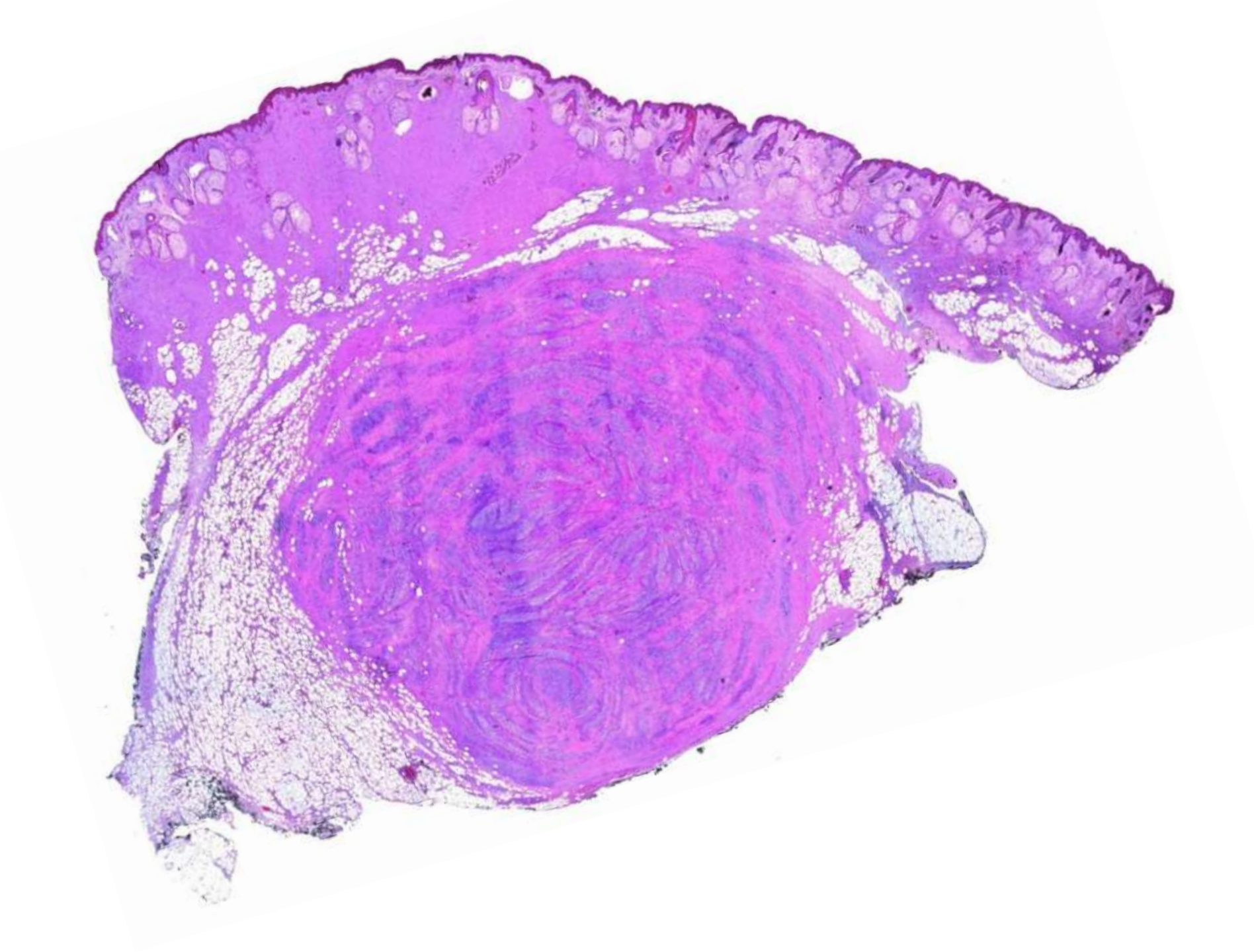
Molecular status FISH/RT-PCR	DFSP  (n = 99)b	No DFSP $(n = 10)$
FISH+/RT-PCR+ (positive concordance)	54	0
FISH+/RT-PCR nia	14	0
FISH ni/RT-PCR+	I	0
FISH-/RT-PCR- (negative concordance)	2	10
FISH-/RT-PCR ni	3	0
FISH ni/RT-PCR-	2	0
Discordant	23	0
FISH+/RT-PCR-	19	0
FISH-/RT-PCR+	4	0

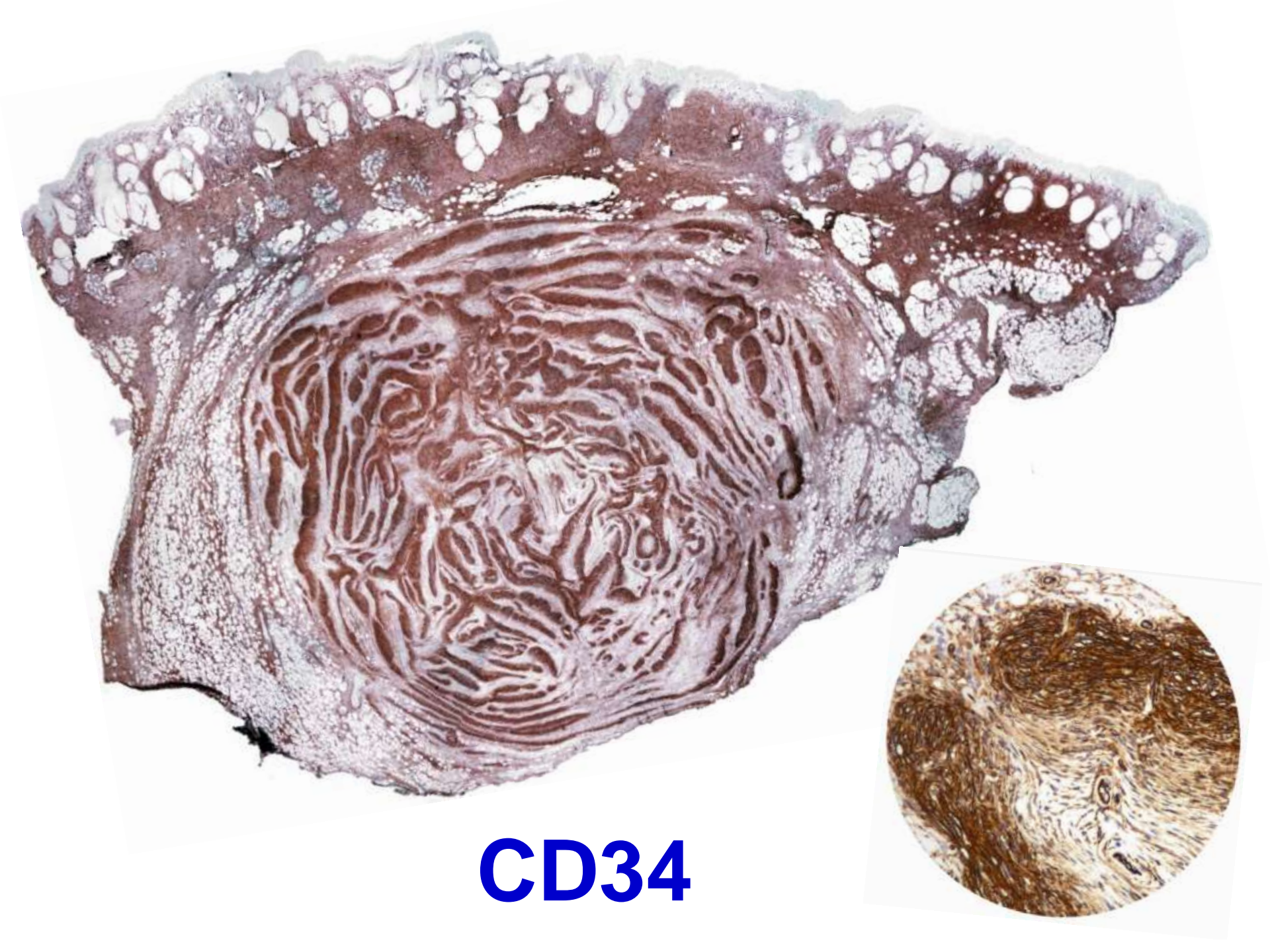
ani: noninformative.

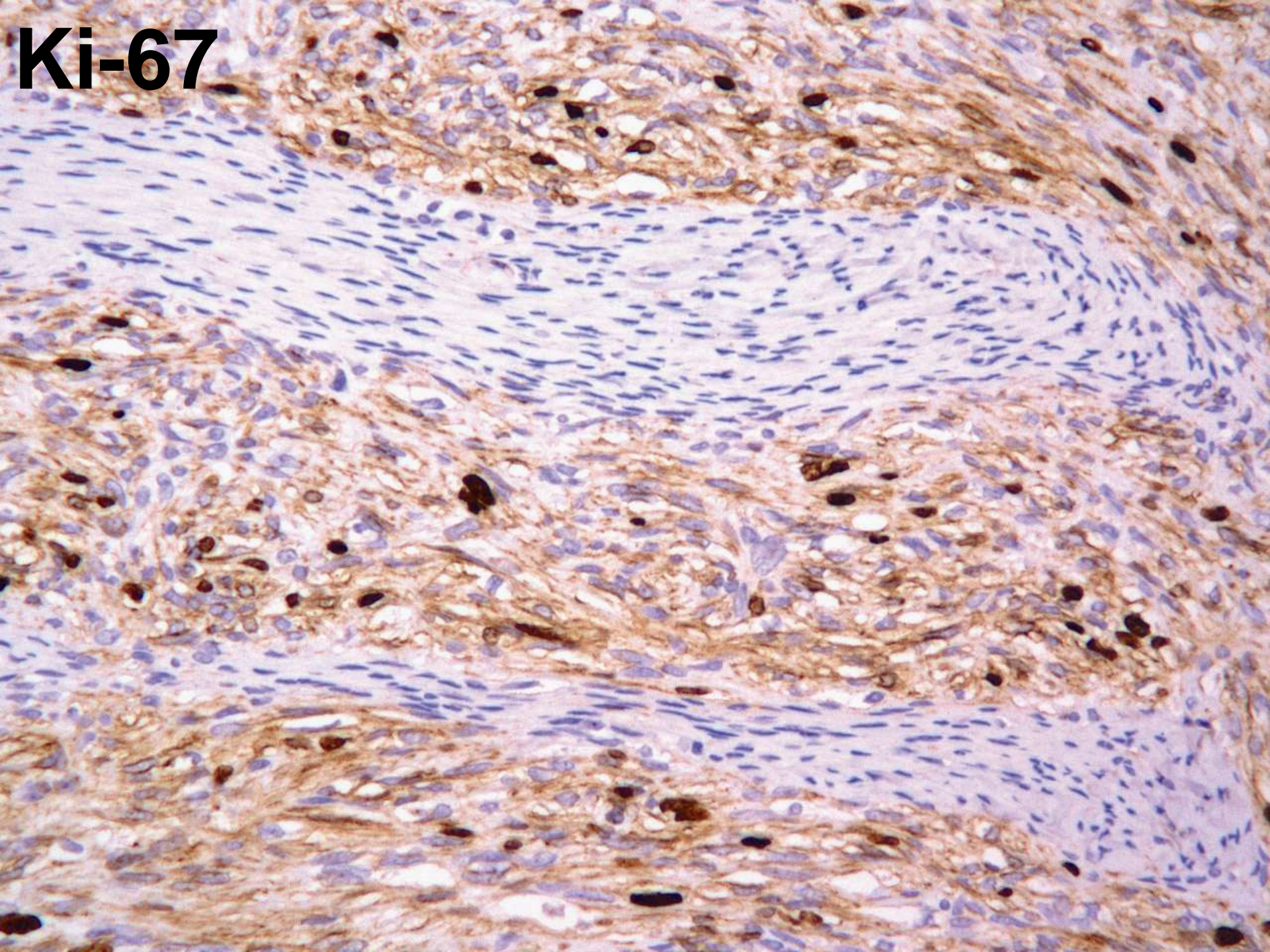
<sup>&</sup>lt;sup>b</sup>Noninformative cases for FISH and RT-PCR techniques (n=4) are not reported in this table.

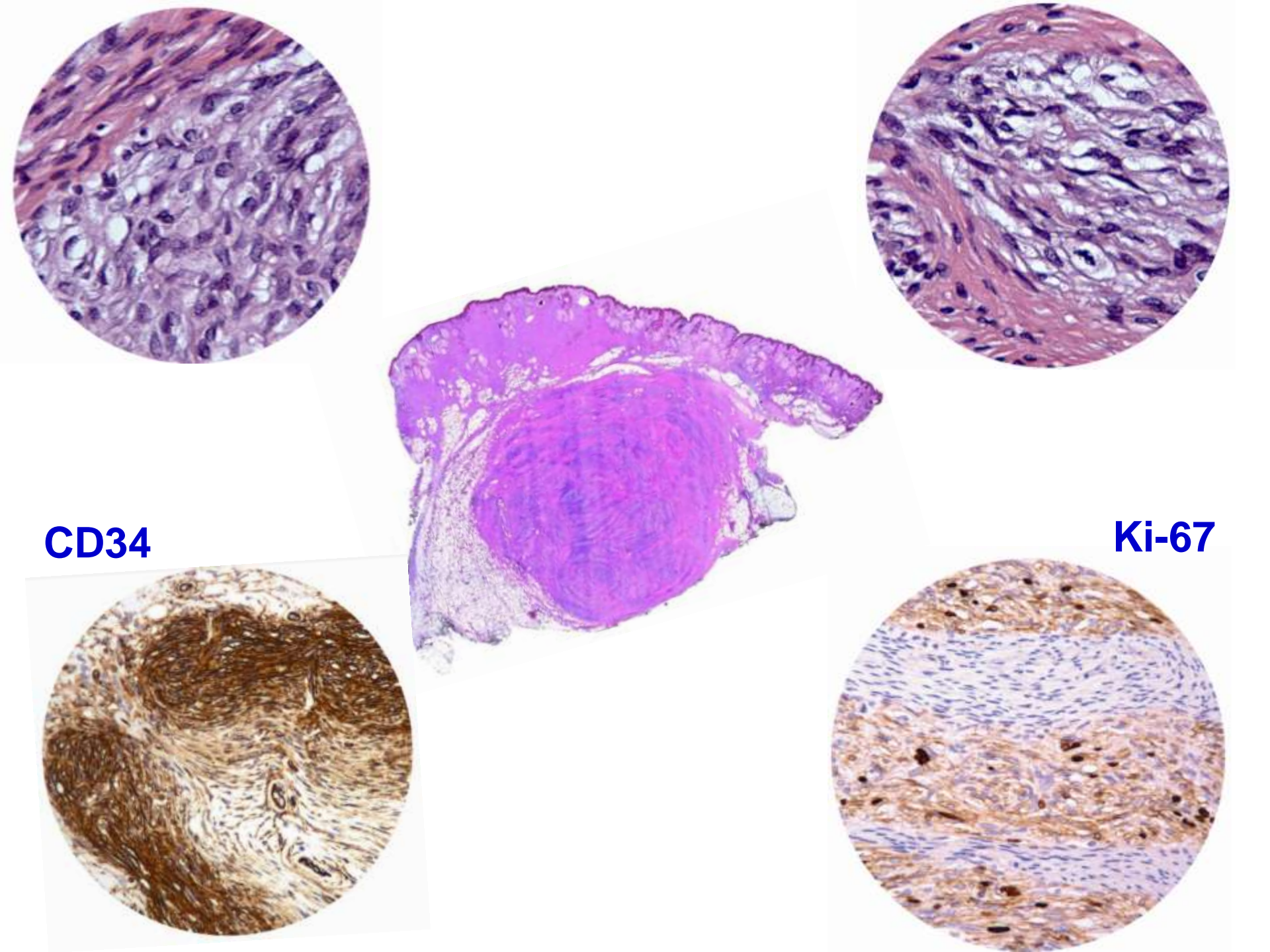
-En el DFSP-fibrosarcoma se detecta por FISH un mayor porcentaje de células con la fusión génica que en los restantes subtipos (p<0,001)

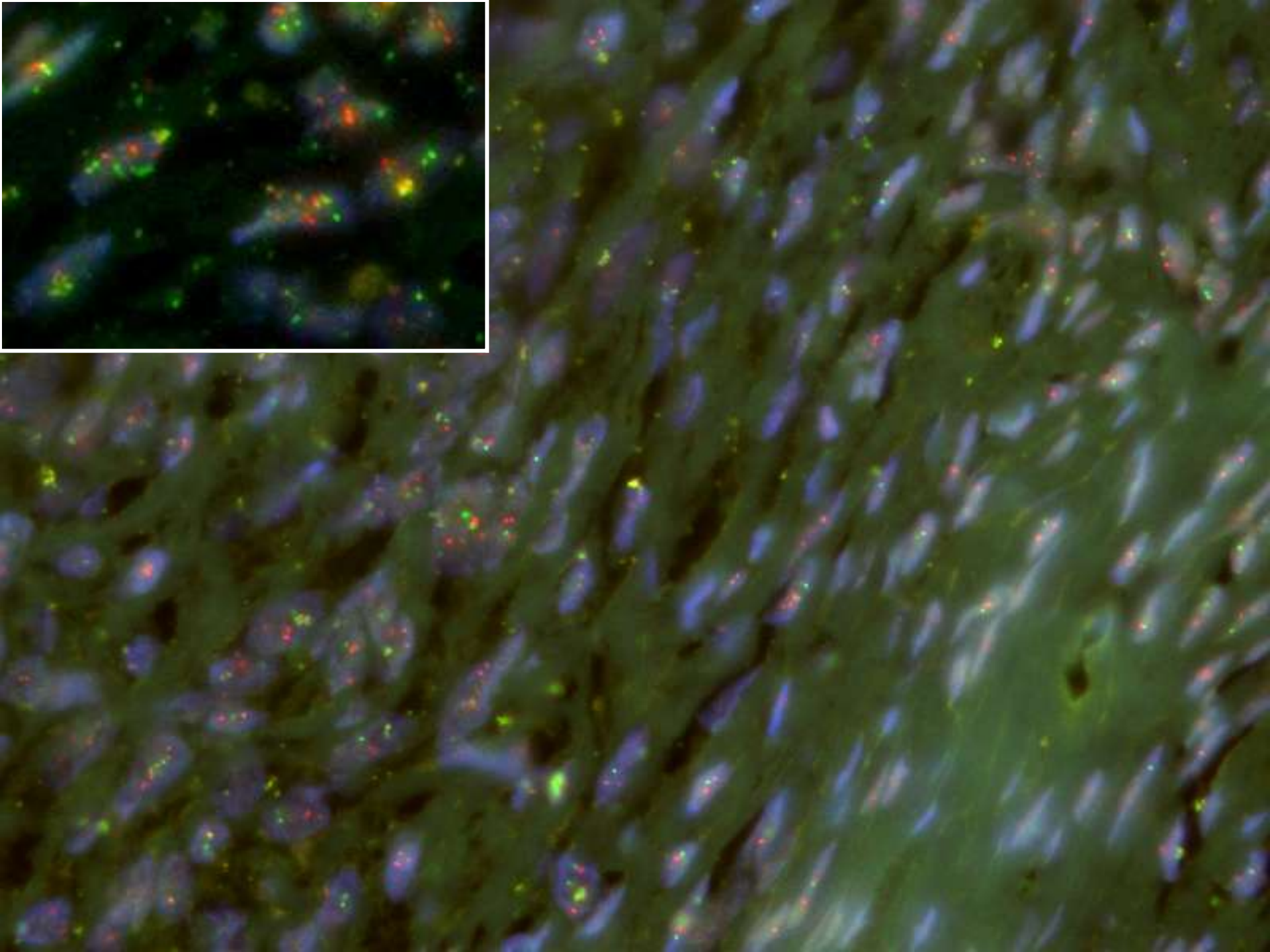
-Todos los casos de DFSP-fibrosarcoma y DFSP <u>negativos para CD34</u> presentaron la fusión COL1A1-PDGFB, tanto por PCR como por FISH











# Reflexión final... cuando tenemos delante un caso difícil, hay dos posibles actitudes...

